



ESTUDO DO RECURSO EÓLICO USANDO OPENFOAM COM CONDIÇÕES DE FRONTEIRA DE MODELOS DE MESOESCALA

HENRIQUE ALEXANDRE PINHEIRO OLIVEIRA MONTEIRO

outubro de 2023

Estudo do recurso eólico usando OpenFOAM com condições de fronteira de modelos de mesoescala

Henrique Alexandre Pinheiro Oliveira Monteiro

2023

Instituto Superior de Engenharia do Porto

Departamento de Engenharia Mecânica

isep

P.PORTO

Estudo do recurso eólico usando OpenFOAM com condições de fronteira de modelos de mesoescala

Henrique Alexandre Pinheiro Oliveira Monteiro

1170664

Dissertação apresentada ao Instituto Superior de Engenharia do Porto para cumprimento dos requisitos necessários à obtenção do grau de Mestre em Engenharia Mecânica, realizada sob a orientação do Prof. Doutor Carlos Silva Santos

2023

Instituto Superior de Engenharia do Porto

Departamento de Engenharia Mecânica

isen

P.PORTO

Agradecimentos

Aos meus pais, que tornaram este trabalho e o percurso até aqui possível, por todo o apoio que nunca deixaram faltar.

Ao Professor Doutor Carlos Silva Santos, pelo desafio que me propôs com o desenvolvimento deste trabalho, por ter partilhado comigo o seu vasto conhecimento e pelo seu contínuo apoio e disponibilidade.

Ao ISEP, por todo o conhecimento que me transmitiu e pelas pessoas que me apresentou.

A todos os que, direta ou indiretamente, contribuíram para o desenvolvimento deste trabalho, em especial ao Professor Doutor Fernando Aristides Castro, por uma valiosa sugestão que contribuiu para a progressão deste trabalho numa fase crucial do seu desenvolvimento.

Resumo

O principal objetivo desta dissertação é o desenvolvimento de um novo procedimento de acoplamento entre o modelo de mesoescala WRF (*Weather Research and Forecast*) e o *software* OpenFOAM (*Open Field Operation and Manipulation*), utilizado neste trabalho para efetuar simulações CFD (*Computational Fluid Dynamics*). O objetivo de acoplar modelos numéricos de mesoescala com modelos CFD de microescala surge da necessidade de obter condições de fronteira para o segundo que sejam o mais representativas da realidade possível.

Neste trabalho foram usadas duas abordagens, uma em que foram utilizadas condições de fronteira idealizadas e outra que faz uso de condições de fronteira provenientes de uma simulação precursora de mesoescala. As duas metodologias foram aplicadas num caso de estudo real onde foram efetuadas simulações de escoamentos atmosféricos neutramente estratificados sobre terreno complexo em regime estacionário, mantendo sempre a avaliação do recurso eólico no local como um dos principais objetivos.

Para o estudo do recurso eólico, foram desenvolvidos nesta tese novos procedimentos que permitem o estudo detalhado das características do vento em localizações arbitrárias, como por exemplo, onde se pretende a instalação de aerogeradores.

Os resultados de cada uma das duas metodologias são comparados entre si e com dados medidos no local por campanhas de medições em períodos de tempo passados.

O acoplamento trouxe uma redução no erro RMS das validações da velocidade na horizontal em 5.9% (de 8.1% para 2.2%) e em 0.8% na vertical (de 2.4% para 1.6%) quando o transporte da série medida é feito usando os anemômetros mais altos do mastro. Estes resultados, ainda que as conclusões estejam circunscritas a um único caso teste, sugerem que a estratégia de acoplamento implementada pode trazer uma melhoria significativa na qualidade dos resultados à altura de eixo das turbinas eólicas.

Palavras-Chave

Escoamentos Atmosféricos; Mecânica de Fluidos Computacional; OpenFOAM; Acoplamento Microescala-Mesoescala; Avaliação do Recurso Eólico.

Abstract

The main purpose of this thesis is to develop a new coupling procedure between the WRF (Weather Research and Forecast) mesoscale model and OpenFOAM (Open Field Operation and Manipulation), which is used in this work to perform CFD (Computational Fluid Dynamics) simulations. The aim of coupling mesoscale numerical models with microscale CFD models arises from the need to obtain boundary conditions for the latter that are as representative of reality as possible.

Two approaches were employed in this work, one using idealised boundary conditions and the other using boundary conditions from a precursor mesoscale simulation. The two methodologies were applied to a real case study in which steady state simulations of neutrally stratified atmospheric flows over complex terrain were performed, with a primary focus on wind resource assessment at the site.

In order to study the wind resource, new procedures have been developed in this thesis that allow the detailed study of wind characteristics in arbitrary locations, such as those where wind turbines are intended to be installed.

The results obtained from each of the two methodologies are compared with each other and with data collected on-site during previous measurement campaigns.

The coupling strategy led to a 5.9% reduction in horizontal velocity validation RMS errors (from 8.1% to 2.2%) and a 0.8% reduction in vertical RMS errors (from 2.4% to 1.6%) when transporting the measured data using higher mast-mounted anemometers. These results, although the conclusions are limited to a single test case, suggest that the implemented coupling strategy has the potential to significantly enhance the quality of results at the wind turbine's hub height.

Keywords

Atmospheric Flows; Computational Fluid Dynamics; OpenFOAM;
Microscale-Mesoscale Coupling, Wind Resource Assessment

Índice

1	Introdução	1
1.1	Contexto	1
1.2	Breve Descrição do Problema	2
1.3	Estrutura da Tese	2
2	Revisão Bibliográfica	3
2.1	Camada limite atmosférica	3
2.1.1	<i>Estrutura</i>	3
2.1.2	<i>Estabilidade atmosférica</i>	4
2.1.3	<i>Turbulência na camada limite atmosférica</i>	6
2.1.4	<i>Medições de vento</i>	7
2.2	Modelação numérica na energia eólica	8
2.2.1	<i>Modelos lineares</i>	8
2.2.2	<i>Modelos não-lineares de mecânica de fluidos computacional (CFD)</i>	9
2.2.3	<i>Modelação da turbulência</i>	11
2.2.3.1	<i>Modelo $k - \epsilon$</i>	13
2.2.3.2	<i>Outros modelos <i>RaNS</i></i>	14
2.3	Códigos CFD	14
2.3.1	<i>OpenFOAM</i>	14
2.3.2	<i>Outros modelos CFD usados na indústria eólica</i>	15
2.4	Modelação de mesoescala	15
2.4.1	<i>Modelo WRF</i>	15
2.5	Acoplamento microescala - mesoescala	17
3	Simulação de escoamentos atmosféricos com condições de fronteira idealizadas	19
3.1	Descrição do Caso de Estudo	19
3.1.1	<i>Considerações gerais e orografia</i>	19
3.1.2	<i>Condições de vento locais</i>	20
3.2	Pré-processamento	23
3.2.1	<i>Geração da malha de cálculo</i>	23
3.2.2	<i>Condições de fronteira</i>	25
3.2.3	<i>Modelação da rugosidade</i>	27
3.2.4	<i>Modelação da turbulência</i>	29
3.2.5	<i>Técnicas e recursos computacionais</i>	29
3.3	Resultados	30
3.3.1	<i>Configurações do conjunto final de simulações</i>	30
3.3.2	<i>Modelo numérico</i>	31
3.4	Pós-processamento	33
3.4.1	<i>Validação do modelo</i>	34
3.4.2	<i>Frequências e velocidades de vento obtidas por direção nas turbinas</i>	35

3.4.3	<i>Velocidade do vento numa grelha definida de pontos</i>	38
3.5	Discussão de resultados	39
4	Simulação de escoamentos atmosféricos com condições de fronteira de modelos de mesoescala	41
4.1	Metodologia de Acoplamento	41
4.1.1	<i>Simulação precursora WRF</i>	41
4.1.2	<i>Considerações Gerais</i>	42
4.1.3	<i>Abordagem Inicial</i>	42
4.1.4	<i>Problema da conservação da massa e regularização dos fluxos</i>	44
4.1.5	<i>Condições de fronteira</i>	46
4.2	Resultados	47
4.2.1	<i>Configurações do conjunto final de simulações</i>	47
4.2.2	<i>Modelo numérico</i>	48
4.3	Pós-processamento	50
4.3.1	<i>Validação do modelo</i>	50
4.3.2	<i>Frequências e velocidades de vento obtidas por direção nas turbinas</i>	52
4.3.3	<i>Velocidade do vento numa grelha definida de pontos</i>	54
4.4	Discussão de resultados	55
5	Conclusão	59
5.1	Conclusões finais	59
5.2	Trabalho futuro	60
A	Códigos <i>Python</i> para processamento dos dados medidos	67
A.1	WindData_Read.py	67
A.2	weibull.py	70
B	Códigos <i>Python</i> para estudo do recurso eólico	73
B.1	Parte 1: OFdata_read.py	74
B.2	Parte 2: CFDdata_compute.py	77
B.3	Parte 3: resource_assessment.py	86
C	Código <i>Python</i> de acoplamento	91
C.1	coupling_wrfmean.py	91
D	Mapas de topografia e rugosidade	109
D.1	Mapa de Topografia	109
D.2	Mapa de Rugosidade	110

Índice de Figuras

Figura 2.1	CBL e perfis típicos de escoamento (retirado de [10])	4
Figura 2.2	NBL e perfis típicos de escoamento (retirado de [10])	4
Figura 2.3	Variação do gradiente térmico adiabático (a) e da temperatura potencial virtual (b) em função da altura para diferentes regimes de estabilidade atmosférica (adaptado de [9])	5
Figura 2.4	Perfil típico de velocidade do vento	7
Figura 2.5	Sistema de coordenadas de níveis η usado no WRF (retirado de [36])	16
Figura 2.6	Técnica <i>staggering</i> usada no WRF (adaptado de [36])	16
Figura 2.7	Técnica <i>nesting</i> usada no WRF (retirado de [36])	17
Figura 2.8	Acoplamento microescala-mesoescala (adaptado de [3])	18
Figura 3.1	Altura (a) e declive (b) do terreno do caso de estudo	20
Figura 3.2	Rosa de frequências (a) e histograma de frequências (b) dos dados medidos pelo mastro 1 a 81 metros acima do nível do solo	21
Figura 3.3	Rosa de frequências (a) e histograma de frequências (b) da série LT-MESO	22
Figura 3.4	Desvio percentual entre a velocidade média anual e a velocidade média global do período de longo termo	22
Figura 3.5	Parâmetros do <code>gsrf3.f90</code>	24
Figura 3.6	Exemplo de malha de cálculo OpenFOAM	25
Figura 3.7	Perfis idealizados aplicados na fronteira de entrada	26
Figura 3.8	Magnitude de velocidade horizontal para as 12 direções de vento simuladas	32
Figura 3.9	Gráficos polares de frequência por direção obtidos nas localizações das turbinas	36
Figura 3.10	Gráficos polares de velocidade por direção obtidos nas localizações das turbinas	37
Figura 3.11	Mapa de velocidades numa grelha de pontos (resolução de 75 m)	38
Figura 3.12	Linhas de corrente na turbina VA5 (1)	39
Figura 3.13	Linhas de corrente na turbina VA5 (2)	39
Figura 3.14	Bolsas de recirculação a jusante das montanhas	40
Figura 3.15	Linhas de corrente nas turbinas	40
Figura 4.1	Magnitude de velocidade horizontal para as 12 direções de vento simuladas com acoplamento	49
Figura 4.2	Gráficos polares de frequência por direção obtidos nas localizações das turbinas	52
Figura 4.3	Gráficos polares de velocidade por direção obtidos nas localizações das turbinas	53
Figura 4.4	Mapa de velocidades numa grelha de pontos (resolução de 75 m)	54
Figura 4.5	Altura do terreno (a) e magnitude de velocidade numa superfície 102.5 m ANS (b)	56
Figura 4.6	Linhas de corrente na cumeada das turbinas	57
Figura 4.7	Linhas de corrente nas turbinas VA3, VA5 e VA8	57
Figura B.1	Esquema do algoritmo	73
Figura D.1	Mapa de topografia <code>topo.dat</code>	109
Figura D.2	Mapa de rugosidade <code>roug.dat</code>	110

Índice de Tabelas

Tabela 2.1	Valores típicos de rugosidade z_0 para diferentes tipos de superfície (Adaptado de [8] e [11])	7
Tabela 2.2	Constantes adimensionais empíricas do modelo $k - \varepsilon$ <i>standard</i> e atmosférico	14
Tabela 3.1	Desvio entre a velocidade média nos períodos de medição dos mastros e a velocidade média global da série de longo termo (LT-ERA5)	23
Tabela 3.2	Definição das fronteiras no ficheiro <code>blockMeshDict</code>	25
Tabela 3.3	Especificação das condições de fronteira no OpenFOAM para a velocidade, k e ε	27
Tabela 3.4	Especificação das condições de fronteira no OpenFOAM para a pressão	27
Tabela 3.5	Especificação das condições de fronteira no OpenFOAM para a viscosidade turbulenta (ν_t)	28
Tabela 3.6	Configurações do conjunto final de simulações com condições de fronteira idealizadas	30
Tabela 3.7	Validações na vertical usando o mastro 1 a 81 m ANS como referência	34
Tabela 3.8	Validações na vertical usando o mastro 1 a 76 m ANS como referência	34
Tabela 3.9	Validações na vertical usando o mastro 1 a 55 m ANS como referência	34
Tabela 3.10	Validações na vertical usando o mastro 1 a 35 m ANS como referência	35
Tabela 3.11	Validações na horizontal usando medições de anemómetros das duas estações a alturas ANS semelhantes	35
Tabela 3.12	Valores da velocidade média da série transportada para cada turbina	38
Tabela 4.1	Nomenclatura das fronteiras para os dois tipos de análise	42
Tabela 4.2	Configurações do conjunto final de simulações com acoplamento	47
Tabela 4.3	Validações na vertical usando o mastro 1 a 81 m ANS como referência	50
Tabela 4.4	Validações na vertical usando o mastro 1 a 76 m ANS como referência	50
Tabela 4.5	Validações na vertical usando o mastro 1 a 55 m ANS como referência	50
Tabela 4.6	Validações na vertical usando o mastro 1 a 35 m ANS como referência	50
Tabela 4.7	Validações na horizontal usando medições de anemómetros das duas estações a alturas ANS semelhantes	51
Tabela 4.8	Valores da velocidade média da série transportada para cada turbina	54
Tabela 4.9	Valor RMS dos desvios percentuais das validações verticais	55
Tabela 4.10	Valor RMS dos desvios percentuais das validações horizontais	55
Tabela 4.11	Valor RMS dos desvios percentuais dos dois tipos de validações	55
Tabela 4.12	Valores da velocidade média da série transportada para cada turbina e para os dois tipos de análise	56

Nomenclatura

Lista de siglas e abreviaturas

ABL	<i>Atmospheric Boundary Layer</i>
ANS	Acima do nível do solo
ASCII	<i>American Standard Code for Information Interchange</i>
CBL	<i>Convective Boundary Layer</i>
CFD	<i>Computational Fluid Dynamics</i>
DNS	<i>Direct Numerical Simulation</i>
LES	<i>Large Eddy Simulation</i>
LT-ERA5	Série temporal de longo termo provinda da base de dados ERA5
LT-MESO	Dados de longo termo provindos de uma simulação de meso-escala
MCP	<i>Measure-Correlate-Predict</i>
NBL	<i>Nocturnal Boundary Layer</i>
netCDF	<i>Network Common Data Form</i>
NWP	<i>Numerical Weather Prediction</i>
OpenFOAM	<i>Open Field Operation and Manipulation</i>
pbs	<i>Portable Batch Script</i>
RMS	<i>Root Mean Square</i>
RaNS	<i>Reynolds Averaged Navier-Stokes</i>
SC	Superfície de Controlo
SIST	Sistema
TTR	Teorema de Transporte de Reynolds
TUI	<i>Text User Interface</i>
UTM	<i>Universal Transverse Mercator</i>
VC	Volume de Controlo
VLES	<i>Very Large Eddy Simulation</i>
VTK	<i>Visualization Toolkit</i>
WAsP	<i>Wind Atlas and Application Program</i>
WRF	<i>Weather Research and Forecast</i>

Lista de símbolos

\mathcal{A}	Área
B	Quantidade extensiva
c	Fator de escala
c_p	Calor específico a pressão constante
$C_\mu, \sigma_k, \sigma_\varepsilon, C_1, C_2$	Constantes adimensionais empíricas do modelo
F	Fator de correção
f	Distribuição de Weibull
F_{ext}	Forças externas
g	Aceleração da gravidade
\vec{g}	Vetor da aceleração da gravidade
k	Fator de forma adimensional (em 2.1.4 e 3.1.2), energia cinética da turbulência (restante documento)
m	Massa
\vec{n}	Vetor unitário
p	Pressão
p_0	Pressão de referência
P_k	Produção mecânica de turbulência
p_s	Pressão na superfície do domínio
p_t	Pressão no topo do domínio
\dot{Q}_i	Fluxo na fronteira i
\dot{Q}_{\max}	Fluxo máximo
R	Constante específica do gás
Re	Número de Reynolds
t	Tempo
T	Temperatura
T	Período
u	Velocidade
u, v, w	Componentes x, y e z de velocidade
u', v', w'	Componentes x, y e z de velocidade instantânea
\bar{u}	Velocidade média
u_*	Velocidade de fricção
u_i, v_i, w_i	Componentes do vetor velocidade na fronteira i
$u_{i,corr}, v_{i,corr}, w_{i,corr}$	Componentes do vetor velocidade corrigidos na fronteira i
\mathcal{V}	Volume
\vec{V}	Vetor velocidade
v_m	Velocidade média
x, y, z	Coordenadas cartesianas
y^+	Distância adimensional à parede
z_0	Rugosidade superficial ou rugosidade aerodinâmica
z_p	Distância entre a parede e o centro geométrico do volume de controlo adjacente

Lista de símbolos (Continuação)

β	Quantidade intensiva
Γ	Função <i>gamma</i> (em 3.1.2), gradiente térmico adiabático (restante documento)
Γ_d	Gradiente térmico adiabático seco
$\Delta\phi$	Diferença entre a direção do vento na turbina e a direção de vento no mastro
δ	Altura da camada limite
δ_{ij}	Delta de Kronecker
ε	Taxa de dissipação da energia cinética da turbulência
η	Níveis de pressão constante
θ	Temperatura potencial
θ_v	Temperatura potencial virtual
κ	Constante de <i>von Kármán</i>
μ	Viscosidade dinâmica
μ_t	Viscosidade dinâmica turbulenta
ν_t	Viscosidade cinemática turbulenta
ν_{t_w}	Viscosidade cinemática turbulenta em região próxima à parede
ν_w	Viscosidade cinemática do fluido em região próxima à parede
ρ	Massa volúmica
σ	Desvio padrão
τ	Tensão de corte
$\vec{\tau}_{ij}$	Tensões viscosas
ω	Frequência de dissipação da energia cinética da turbulência
ω_v	Humidade específica

1 Introdução

1.1 Contexto

O crescimento do setor da energia eólica e o elevado investimento inerente à instalação de um parque eólico têm motivado o desenvolvimento de procedimentos que permitam a correta avaliação do recurso eólico, a médio e longo prazo, dos locais onde se pretende a instalação de aerogeradores, assim como selecionar a melhor localização para as turbinas eólicas no domínio em estudo. Para estes efeitos, existem modelos tradicionalmente implementados na indústria eólica, e amplamente usados, como por exemplo o modelo WAsP (*Wind Atlas and Application Program*) [1, 2].

Os modelos lineares, como é o caso do WAsP, são de fácil utilização mas têm limitações, nomeadamente para terreno complexo. Por outro lado, os modelos não lineares de CFD (*Computational Fluid Dynamics*) têm, nos últimos anos, vindo a complementar ou mesmo substituir os tradicionais modelos lineares, mesmo para orografias de complexidade moderada ou baixa [2].

O desenvolvimento de modelos CFD nesta área de estudo está relacionado com a necessidade de instalar parques eólicos em locais onde a topografia é complexa e o escoamento é significativamente afetado pelo terreno, o que resulta num aumento significativo de complexidade do escoamento, provocado por declives acentuados da orografia e cobertura florestal significativa. Nestas condições, os modelos lineares têm limitada aplicabilidade e produzem resultados menos precisos relativamente aos modelos CFD que, para além de melhores resultados, também indicam aspetos importantes sobre o escoamento nestas condições que os modelos lineares não conseguem prever, como zonas de recirculação e a componente vertical do vetor velocidade [3].

1.2 Breve Descrição do Problema

Uma das fases importantes na construção do modelo CFD é a adequada especificação das condições de fronteira nos limites do domínio computacional em estudo. Em simulações de escoamentos atmosféricos sobre topografia complexa, especificar condições de fronteira que representem a realidade pode ser complexo. Uma estratégia comum é a utilização de perfis idealizados de velocidade e quantidades de turbulência na fronteira de entrada e a configuração das simulações como se de um túnel de vento numérico se tratasse.

Outra estratégia consiste na utilização de dados de modelos de mesoescala, como é o caso do modelo WRF (*Weather Research and Forecast*) [4]. Incorporar esses resultados como condições de fronteira no modelo CFD de microescala é um processo ao qual se dá o nome de acoplamento. É esta estratégia que este trabalho se propõe implementar e testar, usando o modelo CFD OpenFOAM [5].

1.3 Estrutura da Tese

No capítulo 2 é efetuada uma revisão bibliográfica sobre os temas considerados relevantes como base teórica para o trabalho desenvolvido nesta dissertação.

No capítulo 3 foram desenvolvidas simulações CFD de escoamentos atmosféricos neutramente estratificados com condições de fronteira idealizadas, onde se adotaram as técnicas desenvolvidas em [6] para o pré-processamento e pós-processamento do modelo numérico. Para a realização das simulações, foi implementado *batch processing* e *cloud computing*. Para o estudo do recurso eólico e resultados do modelo numérico, foram desenvolvidas técnicas de assimilação de medições em pós-processamento.

No capítulo 4 foram desenvolvidas simulações CFD de escoamentos atmosféricos neutramente estratificados com acoplamento, onde se apresentam as técnicas desenvolvidas neste trabalho para implementar condições de fronteira provenientes de modelos de mesoescala. Neste capítulo serão também usadas as técnicas do capítulo 3 para computação de alta *performance* e estudo do recurso eólico.

No capítulo 5 são apresentadas as conclusões finais e o trabalho futuro que se propõe como continuidade ao trabalho desenvolvido nesta dissertação.

Na presente dissertação, optou-se por utilizar o ponto (.) como separador decimal, por questões de coerência com os gráficos produzidos com recurso a linguagens de programação ou imagens obtidas com *software* de visualização de resultados.

2 Revisão bibliográfica

2.1 Camada limite atmosférica

2.1.1 Estrutura

A camada limite atmosférica representa a parte da troposfera que é diretamente influenciada pela superfície terrestre e a sua altura está tipicamente definida num intervalo de 100 a 3000 metros acima do solo [7]. Os escoamentos de vento que nela existem têm origem em fenómenos atmosféricos resultantes de gradientes de pressão do ar em larga escala e na força aparente de Coriolis, associada à rotação da Terra. Ao balanço destes dois fenómenos é atribuído o termo de condições geostróficas e o vento nestas condições é definido como vento geostrófico, condição válida para alturas acima do solo elevadas [8].

Na camada limite atmosférica, o vento não pode ser classificado como geostrófico porque o escoamento é influenciado por fatores como a orografia do terreno, transferência de calor, evaporação e emissão de poluentes, o que também provoca uma variação espacial e temporal da altura da ABL (*Atmospheric Boundary Layer*). Durante o ciclo diurno, a ABL pode ser classificada como CBL (*Convective Boundary Layer*) e NBL (*Nocturnal Boundary Layer*) [7, 9].

Durante o dia, a radiação solar aquece o ar junto ao solo, o que leva à formação de correntes convectivas resultantes da diminuição da massa volúmica do ar perto do terreno e que provocam movimentos verticais do ar (figura 2.1). Por contraste, à noite, a massa volúmica do ar junto ao solo vai aumentando com a descida da temperatura do ar e desta forma já não se verifica a ocorrência significativa de correntes de convecção (figura 2.2) [10].

A velocidade do vento é tipicamente aproximada por um perfil logarítmico que decresce junto ao solo devido à tensão de corte induzida pela superfície terrestre. Na CBL, a velocidade do vento apresenta pouca variação quando em alturas acima da

camada superficial e toma sempre valores de velocidade abaixo do valor correspondente ao vento geostrófico (ver figura 2.1). Na NBL, o vento pode tomar valores acima do correspondente ao vento geostrófico, num fenómeno denominado de jato noturno e que potencialmente irá gerar turbulência (ver figura 2.2) [6, 11].

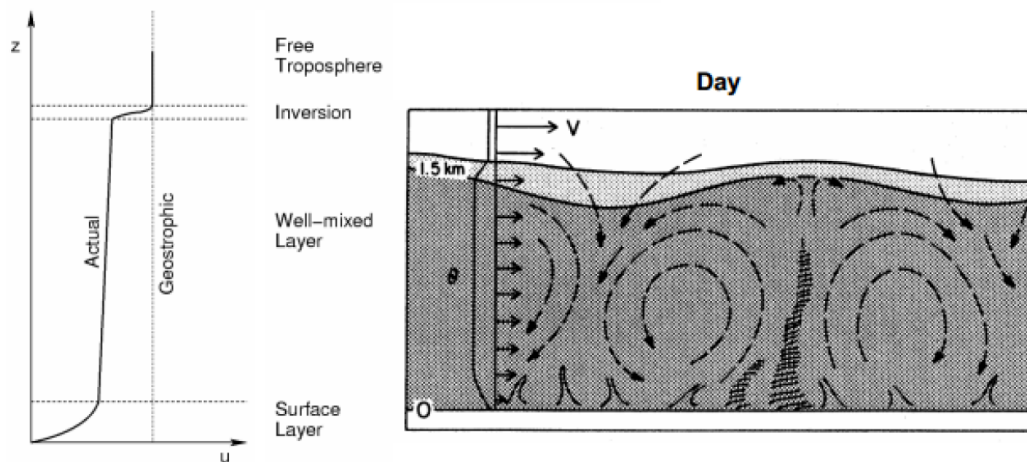


Figura 2.1 – CBL e perfis típicos de escoamento (retirado de [10])

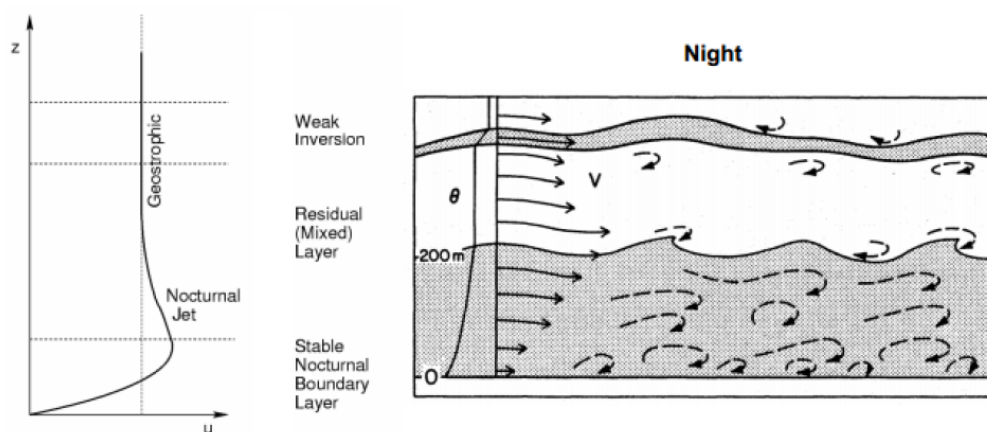


Figura 2.2 – NBL e perfis típicos de escoamento (retirado de [10])

2.1.2 Estabilidade atmosférica

O estabelecimento de gradientes de temperatura que provocam o desenvolvimento de correntes de convecção é uma das principais causas da turbulência na camada limite atmosférica.

Num regime atmosférico neutro, a temperatura T diminui gradualmente em altura a uma taxa vulgarmente designada por gradiente térmico adiabático Γ , o qual, considerando ar seco, pode ser definido por ([12]):

$$\Gamma_d = -\frac{\partial T}{\partial z} = \frac{g}{c_p} \approx 10 \text{ }^\circ\text{C/km} \quad (2.1)$$

A atmosfera deixa de ser neutra quando existe uma diferença entre a temperatura do solo e a temperatura do ar na envolvente, o que provoca um desvio do perfil de temperatura em relação ao seu gradiente térmico adiabático [3]. Na situação em que uma parcela de ar está mais quente que o ar da sua envolvente, esta sofre uma força de impulsão ascendente, como consequência da diminuição da sua massa volúmica [6]. Este processo gera as correntes de convecção representadas na figura 2.1.

Com o objetivo de comparar várias massas de ar a diferentes níveis de pressão, é comum a definição de um parâmetro θ , à qual se dá o nome de temperatura potencial [11, 9],

$$\theta = T \left(\frac{p_0}{p} \right)^{R/c_p}, \quad (2.2)$$

onde p representa a pressão, p_0 uma pressão de referência, R a constante específica do gás e c_p o calor específico a pressão constante.

Em alguns casos, também é comum introduzir o parâmetro θ_v , que representa a temperatura potencial virtual, onde também é considerada a quantidade de vapor de água presente no ar através da humidade específica ω_v . A temperatura potencial de uma parcela de ar representa a temperatura que ela teria se fosse transportada adiabaticamente para uma pressão de 100 kPa [11, 9].

$$\theta_v = T (1 + 0.608\omega_v) \left(\frac{p_0}{p} \right)^{R/c_p}. \quad (2.3)$$

A estabilidade atmosférica pode ser avaliada com base no seu gradiente térmico Γ (figura 2.3a) ou na variação da temperatura potencial virtual θ_v (figura 2.3b).

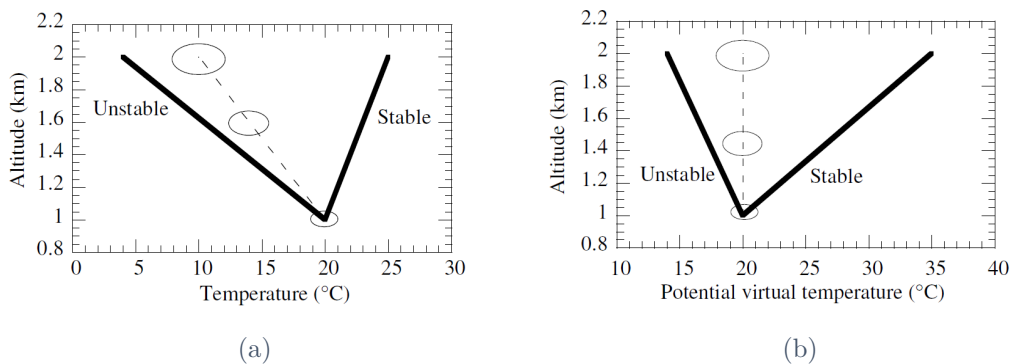


Figura 2.3 – Variação do gradiente térmico adiabático (a) e da temperatura potencial virtual (b) em função da altura para diferentes regimes de estabilidade atmosférica (adaptado de [9])

Com base no gradiente térmico de uma atmosfera Γ e na temperatura potencial virtual θ_v pode-se definir três regimes de estabilidade atmosférica [3, 11]:

- **Regime Neutro**, quando $\Gamma = \Gamma_d$ e $\partial\theta_v/\partial z = 0$, nestas condições não existem trocas de calor da superfície terrestre com o ar da envolvente, o que resulta

numa taxa de variação da temperatura em altura igual ao gradiente térmico adiabático. Esta situação ocorre quando o solo está à mesma temperatura que o ar da envolvente.

- **Regime Estável**, quando $\Gamma < \Gamma_d$ e $\partial\theta_v/\partial z > 0$, nesta situação existe uma taxa de variação de temperatura em altura inferior ao gradiente térmico adiabático, condição em que o solo está mais frio que o ar da envolvente e a tendência é haver correntes convectivas verticais que suprimem turbulência.
- **Regime Instável**, quando $\Gamma > \Gamma_d$ e $\partial\theta_v/\partial z < 0$, nesta situação existe uma taxa de variação de temperatura em altura superior ao gradiente térmico adiabático. Desta forma, a tendência é a massa de ar junto ao solo subir e afastar-se da posição inicial, resultando da temperatura do solo ser superior à temperatura do ar da envolvente e gerar correntes convectivas e turbulência de origem térmica.

2.1.3 Turbulência na camada limite atmosférica

Para além das correntes de convecção resultantes da impulsão provocada por gradientes térmicos, a outra grande causa da turbulência na camada limite atmosférica é a tensão de corte induzida pela superfície terrestre e presença de obstáculos, como por exemplo floresta.

Como já referido anteriormente na secção 2.1.1, na camada limite atmosférica, o perfil de velocidade do vento pode ser aproximado por uma função logarítmica empírica, a qual, para escoamentos neutralmente estratificados (onde não há presença significativa da estratificação térmica referida na secção 2.1.2), pode ser aproximada por ([13]);

$$u(z) = \frac{u_*}{\kappa} \ln \left(\frac{z}{z_0} \right) , \quad (2.4)$$

em que κ é a constante de *von Kármán* e u_* é a velocidade de fricção que relaciona a tensão de corte τ com a massa volúmica ρ através de $u_*^2 = \tau/\rho$.

O parâmetro z_0 , designado por rugosidade superficial ou rugosidade aerodinâmica, assume diferentes valores caracterizados pela forma e densidade dos elementos da superfície [11]. A rugosidade superficial representa a altura acima da superfície à qual a função logarítmica que caracteriza a velocidade do vento é zero (ver figura 2.4) [9].

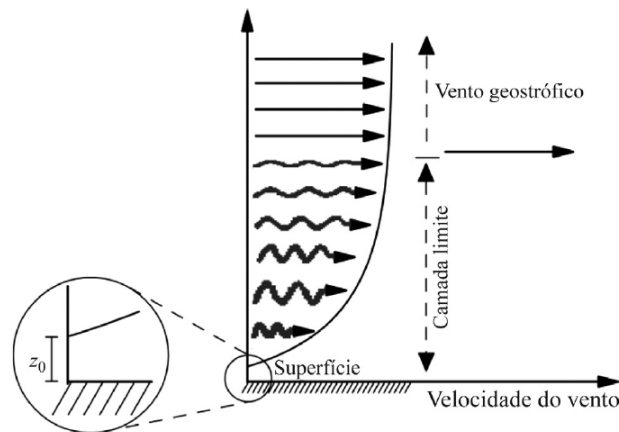


Figura 2.4 – Perfil típico de velocidade do vento considerando o parâmetro z_0 (retirado de [14])

A definição de valores *standard* de rugosidade superficial para diferentes situações é ainda um tema que pode ter diferentes interpretações, e por isso, os valores de z_0 podem variar com o autor em questão. Na tabela 2.1 estão indicados alguns valores típicos.

Tabela 2.1 – Valores típicos de rugosidade z_0 para diferentes tipos de superfície (Adaptado de [8] e [11])

Superfície	z_0 [m]
Água	$0.1 \text{ a } 10.0 \times 10^{-5}$
Gelo e neve	$0.1 \text{ a } 10.0 \times 10^{-4}$
Areia e deserto	0.0003
Relvados	0.003 a 0.1
Culturas agrícolas	0.04 a 0.2
Zonas Urbanas	0.5 a 1
Floresta	1 a 6

Usualmente, um mapa de rugosidade com valores de z_0 definidos em todos os pontos do domínio é um dos *inputs* em modelos lineares e não-lineares.

2.1.4 Medições de vento

As medições de vento locais consistem geralmente em séries temporais de velocidade e direção. Para descrever a variação de velocidade do vento é comum a utilização de uma função de densidade de probabilidade, a distribuição de Weibull, por ser das que melhor se adequa aos padrões da velocidade do vento. A distribuição de Weibull f , é dada por ([15, 3]):

$$f(u) = \left(\frac{k}{c}\right) \left(\frac{u}{c}\right)^{k-1} e^{-(u/c)^k}, \quad (2.5)$$

em que k é o fator de forma adimensional e c é o fator de escala. A velocidade média

\bar{u} , é calculada com:

$$\bar{u} = \int_0^{\infty} uf(u)du . \quad (2.6)$$

Existem vários métodos para calcular os parâmetros k e c e assim definir uma curva que se ajuste aos dados de vento locais. Alguns desses métodos são aqui listados [16]:

- **Método gráfico** - Neste método, os dados são representados graficamente e transformados de forma a obter uma distribuição linear ou aproximadamente linear, sendo o declive da reta formada o fator de forma k ;
- **Método de regressão dos mínimos quadrados** - Nesta abordagem os dados são ajustados a uma curva teórica com o objetivo da minimização da soma dos quadrados das diferenças entre os valores observados e os valores previstos por essa curva;
- **Método da máxima verosimilhança** - Consiste em determinar os valores dos parâmetros que maximizam a verosimilhança dos dados observados, *i.e.*, os valores que tornam mais provável a ocorrência dos dados observados de acordo com a distribuição de Weibull;
- **Método dos momentos** - O método dos momentos é uma técnica relativamente simples baseada no conceito da igualdade entre os momentos teóricos da distribuição e os momentos da amostra de dados, como a média e o desvio padrão.

2.2 Modelação numérica na energia eólica

2.2.1 Modelos lineares

Os modelos lineares usados na avaliação do recurso eólico foram desenvolvidos com base na teoria desenvolvida por Jackson e Hunt [17], onde foi apresentada uma solução analítica para um escoamento bidimensional turbulento e adiabático em torno de uma montanha com baixa altitude.

O modelo linear mais usado na indústria eólica é o WAsP [1], que calcula o atlas do vento local com base em *inputs* de medições locais do vento e mapas de orografia e rugosidade, fazendo uso da teoria de Jackson e Hunt para retirar os efeitos do terreno e rugosidade dos valores medidos no mastro. A teoria é depois aplicada de forma inversa para estimar as condições de vento em qualquer ponto.

O WAsP determina a distribuição de vento nos vários pontos de interesse usando métodos estatísticos, particularmente a distribuição de Weibull (ver capítulo 2.1.4).

É também possível modelar o efeito da perda de velocidade do vento provocada por aerogeradores a montante, vulgarmente designada por efeito de esteira, usando o modelo PARK [18].

Os métodos usados pelo WAsP e por outros modelos lineares têm sido largamente utilizados na indústria eólica e revelado bons resultados em várias situações. No entanto, a fiabilidade dos resultados produzidos por modelos lineares está limitada a situações de baixa complexidade orográfica, por não possibilitarem a simulação de zonas de recirculação e turbulência.

2.2.2 Modelos não-lineares de mecânica de fluidos computacional (CFD)

Os modelos não-lineares de CFD (*Computational Fluid Dynamics*) são essencialmente códigos e algoritmos implementados em computador que resolvem numericamente as equações fundamentais da mecânica de fluidos. Estas equações surgem da aplicação das leis da conservação, nomeadamente a lei da conservação da massa (equação 2.7) e a lei da conservação da quantidade de movimento ou segunda lei de Newton (equação 2.8) [19].

$$\frac{dm}{dt} = 0 \quad , \quad (2.7)$$

$$\frac{d(m\vec{V})}{dt} = \sum \vec{F}_{\text{ext}} \quad . \quad (2.8)$$

em que m representa a massa, \vec{V} o vetor velocidade, t o tempo e $\sum \vec{F}_{\text{ext}}$ o somatório das forças externas.

Teorema de transporte de Reynolds

Em mecânica de fluidos, é conveniente tratar os escoamentos definindo um espaço virtual, designado por volume de controlo (VC) delimitado por superfícies de controlo (SC), uma estratégia designada por descrição Euleriana. O teorema de transporte de Reynolds (TTR), é usado para converter a formulação Lagrangeana das leis fundamentais numa formulação Euleriana, *i.e.* diferencial em integral. No TTR, uma quantidade extensiva B é definida no interior do VC [20, 21, 19]:

$$B = \int_{\text{SIST}} \rho \beta d\mathcal{V} \quad , \quad (2.9)$$

em que SIST representa todo um sistema de massa em estudo e β é uma quantidade intensiva, $\beta = dB/dm$. Assim,

$$\frac{dB}{dt} = \frac{d}{dt} \left(\int_{\mathcal{V}} \rho \beta d\mathcal{V} \right) + \int_{SC} \rho \beta (\vec{V} \cdot \vec{n}) d\mathcal{A} . \quad (2.10)$$

onde \mathcal{A} representa a área, \mathcal{V} o volume e \vec{n} um vetor unitário normal à SC.

Conservação da massa

A partir do TTR (equação 2.10), pode ser formulada a equação da conservação da massa, com $B = m$ e $\beta = 1$ [19];

$$\frac{d}{dt} \left(\int_{\mathcal{V}} \rho d\mathcal{V} \right) + \int_{SC} \rho (\vec{V} \cdot \vec{n}) d\mathcal{A} = 0 . \quad (2.11)$$

Se o volume de controlo for infinitesimal, é obtido para a conservação da massa:

$$\frac{\partial \rho}{\partial t} + \nabla \cdot (\rho \vec{V}) = 0 . \quad (2.12)$$

Conservação da quantidade de movimento

A conservação da quantidade de movimento também pode ser definida a partir do TTR, definindo $\beta = \vec{V}$ [19];

$$\frac{d}{dt} \left(\int_{\mathcal{V}} \rho \vec{V} d\mathcal{V} \right) + \int_{SC} \rho (\vec{V} \vec{V} \vec{n}) d\mathcal{A} = \sum \vec{F}_{\text{ext}} , \quad (2.13)$$

em que $\sum \vec{F}_{\text{ext}}$ representa o somatório das forças externas que atuam no VC;

$$\sum \vec{F}_{\text{ext}} = \underbrace{-\vec{\nabla} p}_{\text{Gradiente de pressão}} + \underbrace{\nabla \vec{\tau}_{ij}}_{\text{Tensões viscosas}} + \rho \vec{g} , \quad (2.14)$$

em que \vec{g} é o vetor da aceleração da gravidade. Considerando volumes de controlo infinitesimais, a equação diferencial geral que representa a conservação da quantidade de movimento;

$$\frac{\partial}{\partial t} (\rho \vec{V}) + \nabla (\rho \vec{V} \vec{V}) = -\vec{\nabla} p + \nabla \vec{\tau}_{ij} - \rho \vec{g} . \quad (2.15)$$

Para fluidos newtonianos e para escoamentos incompressíveis e isotérmicos, as tensões viscosas $\vec{\tau}_{ij}$, utilizando agora a notação de Einstein, são dadas por [20];

$$\vec{\tau}_{ij} = \mu \left(\frac{\partial u_i}{\partial x_j} + \frac{\partial u_j}{\partial x_i} \right) , \quad (2.16)$$

em que μ é a viscosidade dinâmica do fluido.

Equações de Navier-Stokes

Ao conjunto das equações da conservação da massa e de quantidade de movimento dá-se o nome de equações de Navier-Stokes. Para escoamentos incompressíveis (ρ constante no espaço e no tempo), a conservação da massa, tomando como ponto de partida a equação 2.12, toma a seguinte forma;

$$\nabla \cdot \vec{V} = 0 \Leftrightarrow \frac{\partial u}{\partial x} + \frac{\partial v}{\partial y} + \frac{\partial w}{\partial z} = 0 \quad . \quad (2.17)$$

Para a conservação da quantidade de movimento, no seguimento das equações 2.15 e 2.16, obtém-se nas três componentes x , y e z , respetivamente;

$$\rho \frac{\partial u}{\partial t} + \rho u \frac{\partial u}{\partial x} + \rho v \frac{\partial u}{\partial y} + \rho w \frac{\partial u}{\partial z} = -\frac{\partial p}{\partial x} + \mu \left[\frac{\partial^2 u}{\partial x^2} + \frac{\partial^2 u}{\partial y^2} + \frac{\partial^2 u}{\partial z^2} \right] \quad , \quad (2.18)$$

$$\rho \frac{\partial v}{\partial t} + \rho u \frac{\partial v}{\partial x} + \rho v \frac{\partial v}{\partial y} + \rho w \frac{\partial v}{\partial z} = -\frac{\partial p}{\partial y} + \mu \left[\frac{\partial^2 v}{\partial x^2} + \frac{\partial^2 v}{\partial y^2} + \frac{\partial^2 v}{\partial z^2} \right] \quad , \quad (2.19)$$

$$\rho \frac{\partial w}{\partial t} + \rho u \frac{\partial w}{\partial x} + \rho v \frac{\partial w}{\partial y} + \rho w \frac{\partial w}{\partial z} = -\frac{\partial p}{\partial z} + \mu \left[\frac{\partial^2 w}{\partial x^2} + \frac{\partial^2 w}{\partial y^2} + \frac{\partial^2 w}{\partial z^2} \right] - \rho g \quad . \quad (2.20)$$

Para iniciar a resolução numérica destas equações, é necessária a especificação de condições de fronteira nos limites do domínio em estudo para todas as variáveis.

Embora os modelos CFD exijam recursos computacionais mais elevados comparativamente aos modelos lineares, algumas das vantagens da sua utilização na avaliação do recurso eólico são aqui listadas [3]:

- Produzem bons resultados para orografia complexa e zonas florestadas;
- Modelam zonas de recirculação e turbulência;
- Modelam o efeito da estratificação térmica (ver secção 2.1.2), através da resolução da equação da energia juntamente com as equações 2.17, 2.18, 2.19 e 2.20;
- Possibilitam estudos em regime transiente.

2.2.3 Modelação da turbulência

Todos os escoamentos atmosféricos, principalmente na camada limite atmosférica, são de natureza turbulenta. Por esse motivo, é importante o estudo de formas de modelar a turbulência de modo a equilibrar os custos computacionais envolvidos com a precisão dos resultados obtidos. As técnicas usadas para a simulação de escoamentos turbulentos podem ser divididas em três grandes grupos [22, 20]:

Direct Numerical Solution (DNS)

A técnica DNS consiste em determinar todas as variáveis diretamente da solução numérica das equações de Navier-Stokes, em quase todas as escalas espaciais e temporais. Isso implica um custo computacional muito elevado e que aumenta bastante com o aumento da turbulência do escoamento, porque os volumes de controlo devem ser muito pequenos para permitir a modelação de todos ou quase todos os vórtices turbulentos [23]. Em escoamentos atmosféricos esta técnica é ainda impraticável, uma vez que o estudo destes escoamentos está associado a largas escalas e números de Reynolds, Re , muito elevados.

Large Eddy Simulation (LES)

Na técnica LES, o objetivo é determinar diretamente os vórtices de maiores dimensões e usar um modelo de turbulência para os vórtices de pequenas dimensões. Um dos objetivos desta estratégia é diminuir os recursos computacionais em relação à DNS, possibilitando a utilização de malhas de cálculo menos refinadas. Esta técnica já foi usada em escoamentos atmosféricos, por exemplo [24] entre vários outros, onde foram efetuadas simulações LES de escoamentos atmosféricos neutralmente estratificados sobre terreno moderadamente complexo.

Reynolds Averaged Navier-Stokes (RaNS)

No caso da técnica RaNS, toda a turbulência do escoamento é descrita por um modelo de turbulência. Esta estratégia é baseada no estudo da evolução estatística como alternativa à solução numérica direta e continua a ser a técnica mais utilizada na modelação de escoamentos turbulentos, devido aos recursos computacionais serem significativamente inferiores comparativamente às outras técnicas.

Essencialmente, a análise RaNS combina uma média temporal das equações de Navier-Stokes com um modelo para as flutuações de uma qualquer variável do escoamento no tempo, a este processo de decomposição de variável é chamado decomposição de Reynolds. Tomando como exemplo a velocidade u ,

$$u(\vec{x}, t) = \bar{u}(\vec{x}) + u'(\vec{x}, t) \quad , \quad (2.21)$$

em que \vec{x} é o vetor posição, t é um instante de tempo e $\bar{u}(\vec{x})$ é dado, para o período T em análise por,

$$\bar{u}(\vec{x}) = \frac{1}{T} \int_0^T u(\vec{x}, t) dt \quad . \quad (2.22)$$

Da decomposição de Reynolds aplicada às variáveis do escoamento nas equações de Navier-Stokes, vão surgir termos adicionais de tensões, chamadas tensões de

Reynolds $\vec{\tau}_{ij} = -\overline{\rho u'_i u'_j}$, que resultam de flutuações turbulentas e são nos modelos RaNS aproximadas com recurso ao princípio de Boussinesq [25, 26], onde é definido o conceito de viscosidade turbulenta μ_t ,

$$\vec{\tau}_{ij} = -\overline{\rho u'_i u'_j} \equiv \mu_t \left(\frac{\partial \bar{u}_i}{\partial x_j} + \frac{\partial \bar{u}_j}{\partial x_i} \right) - \rho \frac{2}{3} k \delta_{ij} , \quad (2.23)$$

em que δ_{ij} é o delta de Kronecker e toma o valor 1 se $i = j$ ou 0 em caso contrário [19]. A energia cinética da turbulência, k , é definida por,

$$k \equiv \frac{1}{2} \left(\overline{u'^2} + \overline{v'^2} + \overline{w'^2} \right) . \quad (2.24)$$

As tensões de Reynolds são determinadas usando um modelo de turbulência e usando o conceito da viscosidade turbulenta μ_t .

2.2.3.1 Modelo $k - \varepsilon$

O modelo $k - \varepsilon$ resolve as equações de transporte para duas quantidades de turbulência, k e ε [22]. A versão *standard* foi desenvolvida por Launder e Spalding [27] e define a viscosidade turbulenta μ_t como,

$$\mu_t = \rho C_\mu \frac{k^2}{\varepsilon} , \quad (2.25)$$

onde C_μ é uma constante adimensional e ε é a taxa de dissipação da energia cinética da turbulência. O modelo requer duas equações de transporte adicionais para k e ε [20],

$$\rho \frac{\partial (\bar{u}_j k)}{\partial x_j} = \frac{\partial}{\partial x_j} \left[\left(\mu + \frac{\mu_t}{\sigma_k} \right) \frac{\partial k}{\partial x_j} \right] + P_k - \rho \varepsilon , \quad (2.26)$$

$$\rho \frac{\partial (\bar{u}_j \varepsilon)}{\partial x_j} = \frac{\partial}{\partial x_j} \left[\left(\mu + \frac{\mu_t}{\sigma_\varepsilon} \right) \frac{\partial \varepsilon}{\partial x_j} \right] + \frac{C_1 \varepsilon}{k} P_k - \frac{C_2 \rho \varepsilon^2}{k} , \quad (2.27)$$

sendo P_k a produção mecânica de turbulência, definida por,

$$P_k = \vec{\tau}_{ij} \frac{\partial \bar{u}_i}{\partial x_j} , \quad (2.28)$$

em que $\vec{\tau}_{ij}$ representa as tensões de Reynolds, dadas pelo princípio de Boussinesq (equação 2.23). As constantes C_μ , σ_k , σ_ε , C_1 e C_2 são adimensionais e empíricas, obtidas com a finalidade de ajustar o modelo. Na tabela 2.2 estão indicados os valores para as constantes do modelo *standard*, obtidas por Launder e Sharma [28], e valores que melhor se adequam a escoamentos atmosféricos, propostas por Beljaars *et al.* [29];

Tabela 2.2 – Constantes adimensionais empíricas do modelo $k - \varepsilon$ *standard* e atmosférico

	<i>Standard</i>	Atmosférico
C_μ	0.090	0.033
σ_k	1.000	1.000
σ_ε	1.300	1.850
C_1	1.440	1.440
C_2	1.920	1.920

2.2.3.2 Outros modelos RaNS

Embora o modelo $k - \varepsilon$ seja dos modelos RaNS mais usados na modelação da turbulência em simulações CFD, outros modelos revelaram produzir melhores resultados em algumas situações, dependendo das características do escoamento. O modelo *Realizable $k - \varepsilon$* [30] revelou melhores resultados para situações em que existem gradientes de pressão elevados, já o modelo *RNG $k - \varepsilon$* [31] foi desenvolvido com objetivo de descrever melhor o escoamento a pequenas escalas.

Também é comum a utilização de modelos RaNS que descrevem a turbulência a partir de uma quantidade designada por frequência de dissipação da energia cinética da turbulência ω em vez da sua taxa de dissipação ε , como é o caso dos modelos $k - \omega$ [32] e *SST $k - \omega$* [33], que revelam bons resultados em escoamentos com elevada vorticidade.

2.3 Códigos CFD

2.3.1 OpenFOAM

O OpenFOAM (*Open Field Operation and Manipulation*) [5] é um *software open source* desenvolvido no *Imperial College London* e disponibilizado pela primeira vez em 2004. Atualmente é distribuído sob a *GNU General Public License* pela *OpenFOAM Foundation*, o que significa que o utilizador pode modificar e manipular o *software*.

Desenvolvido com base em código C++, o OpenFOAM é, na sua essência, uma biblioteca de operadores de campos escalares e vetoriais que inclui vários *solvers* para a solução de problemas de CFD como, por exemplo, escoamentos incompressíveis ou compressíveis, sujeitos a processos de transferência de calor, mudança de fase, combustão e outros. Para além disso, inclui várias utilidades para o pré-processamento, como geração ou manipulação da malha de cálculo, e pós-processamento, como extração de dados.

O OpenFOAM tem sido cada vez mais usado no estudo de escoamentos atmosféricos, o que tem motivado o desenvolvimento de ferramentas com o objetivo de melhorar a sua aplicabilidade a esta área (ver [6, 10]).

2.3.2 Outros modelos CFD usados na indústria eólica

Para além do OpenFOAM, existem outros modelos CFD que são usados na indústria eólica, dos quais se destacam:

- **WINDIE™** - O WINDIE é um modelo CFD desenvolvido por um grupo de investigadores do Instituto Superior de Engenharia do Porto (ISEP) especificamente para a modelação de escoamentos atmosféricos e avaliação do recurso eólico que nasceu do trabalho desenvolvido em [13]. Este modelo já contribuiu para a avaliação de mais de 8 GW de potência em recurso eólico, em mais de 25 países [3]. O WINDIE possibilita a modelação avançada de floresta, acoplamento com modelos de mesoescala e modelação de efeitos térmicos e da força aparente Coriolis.
- **Metodyn** - O *Metodyn* é um modelo CFD comercial usado internacionalmente em estudos de consultoria para a indústria eólica que possibilita a previsão do recurso eólico através da análise das características do vento e simulação de escoamentos atmosféricos sobre terreno real. Neste modelo também é possível a modelação de floresta e efeitos térmicos, aplicáveis ao estudo de escoamentos atmosféricos e a análise de microclimas urbanos e estudos da influência do vento em edifícios, pontes e transportes [34].

2.4 Modelação de mesoescala

Modelos de mesoescala são modelos numéricos de CFD que pela sua corrente utilização em previsão meteorológica, são vulgarmente designados por *Numerical Weather Prediction Models* (NWP). A modelação de mesoescala consiste em descrever escoamentos atmosféricos a escalas de centenas a milhares de quilómetros com malhas de cálculo de resolução máxima de 1 km.

Estes modelos tipicamente partem de um estado inicial e avançam no tempo fazendo uso de condições de fronteira provenientes de modelos globais, permitindo descrever certas características regionais do estado meteorológico, como por exemplo formação de nuvens, distribuição de precipitação e padrões de vento, sendo esta última de particular interesse para este trabalho.

2.4.1 Modelo WRF

O modelo WRF (*Weather Research and Forecast*) [4] é um modelo de mesoescala *open source* que integra um *solver* euleriano capaz de modelar a compressibilidade e os efeitos da instabilidade atmosférica. No WRF, a pressão hidrostática é considerada como uma variável independente, de acordo com a teoria proposta por Laprise [35], utilizando um sistema de coordenadas que segue o terreno através de níveis η de pressão constante (ver figura 2.5) [36].

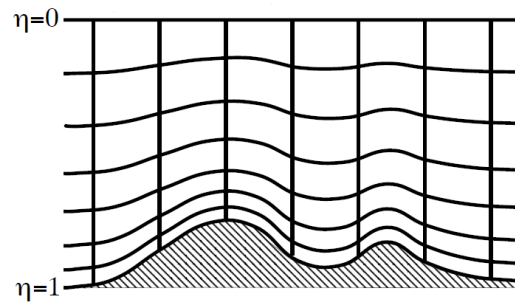


Figura 2.5 – Sistema de coordenadas de níveis η usado no WRF (retirado de [36])

em que;

$$\eta = \frac{p - p_t}{p_s - p_t} , \quad (2.29)$$

onde p_s e p_t representam a pressão à superfície e no topo do domínio, respetivamente. Na malha de cálculo do WRF, as componentes da velocidade estão desfasadas relativamente às quantidades termodinâmicas, a esta técnica dá-se o nome de *staggering* (ver figura 2.6) [36].

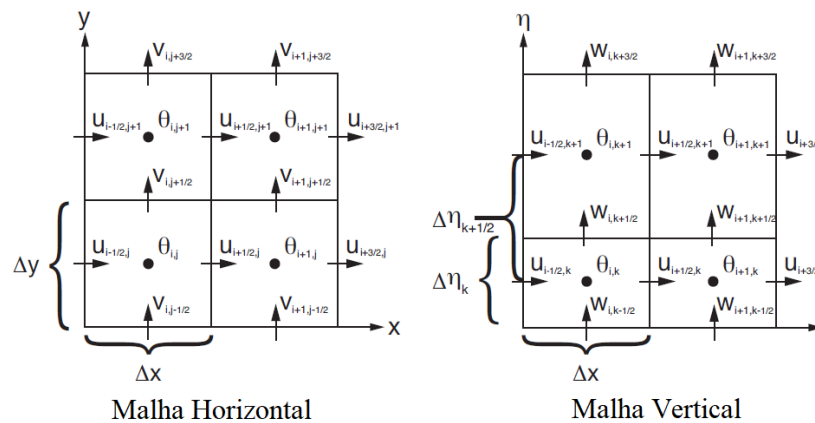


Figura 2.6 – Técnica *staggering* usada no WRF (adaptado de [36])

O WRF tem também capacidade de definir múltiplas resoluções na malha de cálculo horizontal, uma estratégia designada por *nesting* (ver figura 2.7).

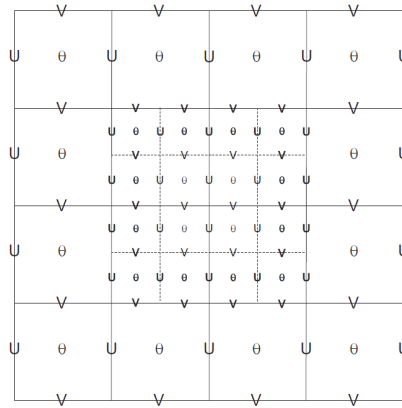


Figura 2.7 – Técnica *nesting* usada no WRF (retirado de [36])

No WRF, a modelação da turbulência segue a técnica VLES (*Very Large Eddy Simulations*), complementada com modelos paramétricos da camada limite planetária.

No pré-processamento, o WRF requer como *inputs*:

- **Dados geográficos:** Informações sobre o terreno.
- **Dados meteorológicos:** Resultados de modelos atmosféricos globais que são usados como condições de fronteira e interpolados no domínio de mesoescala definido no WRF, podendo assimilar ainda medições para correção de simulações no passado (*hindcasts*).

2.5 Acoplamento microescala - mesoescala

Os modelos de mesoescala têm uma resolução significativamente baixa, que não permite aferir com precisão os fenómenos que ocorrem no escoamento a pequenas escalas, mas têm a vantagem de os resultados considerarem fenómenos como a compressibilidade, instabilidade atmosférica e sobretudo de incorporarem os padrões de vento meteorológicos regionais.

Uma possível estratégia é tirar partido dos resultados de modelos de mesoescala em modelos de microescala, como condições de fronteira, permitindo assim uma melhor representação das mesmas.

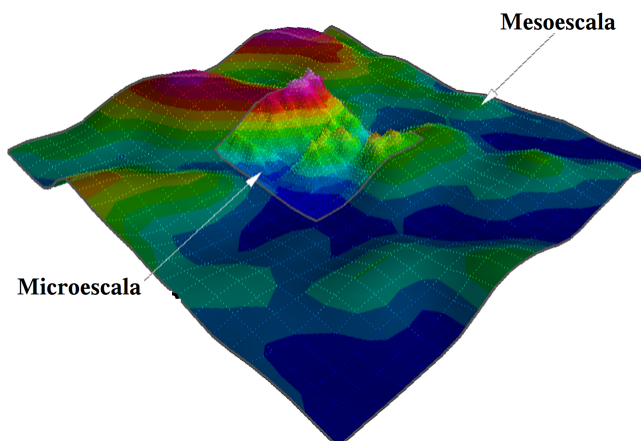


Figura 2.8 – Acoplamento microescala-mesoescala (adaptado de [3])

Uma das técnicas de acoplamento microescala - mesoescala foi apresentada em [2], num trabalho em que é efetuado o acoplamento entre o modelo de microescala WINDIE e o modelo de mesoescala WRF. A estratégia de acoplamento usada consiste na inclusão de resultados do WRF na malha de cálculo de microescala, por recurso a interpolação trilinear e linear no espaço e tempo, respetivamente.

Outros estudos apresentados em [37] e [10], consistem no acoplamento de resultados de domínios mesoescala do WRF em simulações microescala CFD no OpenFOAM.

3 Simulação de escoamentos atmosféricos com condições de fronteira idealizadas

No presente capítulo será apresentado o caso de estudo e serão descritos os procedimentos adotados para a realização de simulações CFD de escoamentos atmosféricos neutralmente estratificados com condições de fronteira idealizadas, aplicando esses procedimentos especificamente ao caso em estudo. Será apresentada a metodologia adotada para o pré-processamento, pós-processamento e validação dos resultados obtidos.

3.1 Descrição do Caso de Estudo

3.1.1 Considerações gerais e orografia

O local em estudo situa-se na Bósnia-Herzegovina, onde o terreno é considerado de complexidade orográfica elevada. Para este caso de estudo, é pretendida a instalação de cinco turbinas eólicas e o local é dotado de dois mastros de medição (ver figura 3.1).

A altura do terreno varia entre 0 a pouco mais de 2000 m, e existem zonas com montanhas de declive acentuado, que pode atingir os 40°. Estas características orográficas levaram ao aparecimento de problemas numéricos em simulações para algumas direções do vento, associadas a grandes bolsas de recirculação e turbulência elevada.

As turbinas eólicas têm 5 MW de potência e o seu eixo dista 102.5 m do solo. O mastro 1 efetuou medições a 35, 55, 76 e 81 metros acima do nível do solo e o mastro 2 efetuou medições a 20, 40 e 60 metros acima do nível do solo.

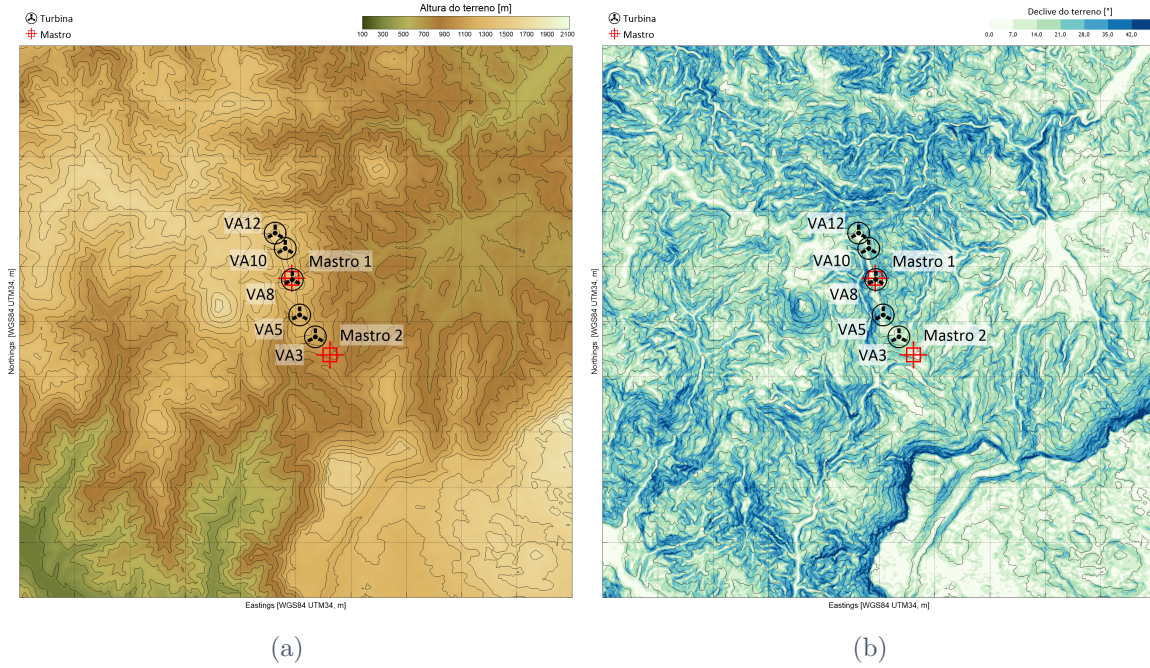


Figura 3.1 – Altura (a) e declive (b) do terreno do caso de estudo

3.1.2 Condições de vento locais

Os dados obtidos pelo mastro 1 foram registados entre 09/12/2018 e 07/07/2021, com taxas de amostragem de 1 Hz transformadas em médias de 10 minutos como é prática corrente na indústria eólica. Para avaliar as características do vento no local, as medições foram filtradas em intervalos de 30° (figura 3.2a) e em intervalos de 1 m/s (figura 3.2b). Para esse efeito foram desenvolvidos *scripts* em *Python* que efetuam a leitura dos ficheiros que contêm os dados das medições e filtram esses dados, fazendo ainda a estimativa dos parâmetros k e c associados à distribuição de Weibull (ver capítulo 2.1.4), pelo método dos momentos. Este método calcula o fator de forma adimensional k e o fator de escala c de acordo com as seguintes equações ([16]),

$$k = \left(\frac{0.9874}{\sigma/v_m} \right)^{1.0983} \quad \text{ou} \quad k = \left(\frac{\sigma}{v_m} \right)^{-1.086}, \quad (3.1)$$

$$c = \frac{v_m}{\Gamma\left(1 + \frac{1}{k}\right)}, \quad (3.2)$$

onde σ representa o desvio padrão, v_m a velocidade média e Γ é uma função matemática, designada por função *gamma*.

Os resultados das medições do mastro 1, efetuadas a 81 metros acima do nível do solo, estão sumariados na figura 3.2. O código para processamento das medições e cálculo da distribuição de Weibull pode ser consultado no Apêndice A.

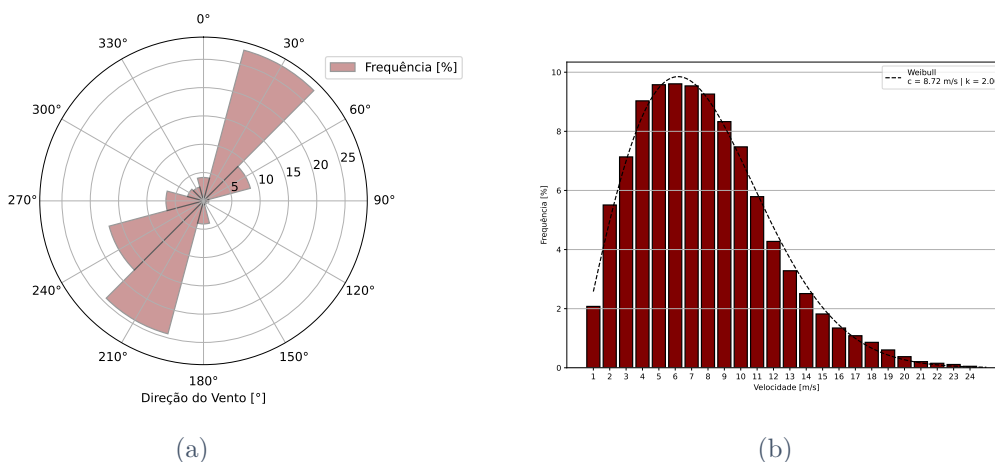


Figura 3.2 – Rosa de frequências (a) e histograma de frequências (b) dos dados medidos pelo mastro 1 a 81 metros acima do nível do solo

No local em estudo, de acordo com os dados registados pelo mastro 1 a 81 metros acima do nível do solo, o vento é predominante de 30° e 210° , verificando-se também alguma frequência de 240° .

Séries de longo termo

Com o objetivo de se obter uma melhor caracterização do padrão de vento local, foram utilizadas séries temporais de longo termo para comparação com os dados obtidos pelos mastros, que medem durante períodos mais curtos. Neste trabalho foram utilizadas duas abordagens: dados de longo-termo provindos de uma simulação de mesoescala (LT-MESO); e uma série temporal de longo termo obtida com recurso à base de dados ERA5 (LT-ERA5) [38].

Os dados de longo-termo de mesoescala provieram de uma simulação de longo-termo de mesoescala que, neste caso, abarcou um período de 11 anos (2010 a 2021). Os dados de longo-termo são depois obtidos por correlação entre os resultados do modelo de mesoescala e as medições, mas tal processo, denominado de *Measure-Correlate-Predict* (MCP) foi, neste caso, feito no domínio da frequência e não diretamente com a série temporal de mesoescala. Como tal, os dados LT-MESO que foram disponibilizados encontram-se em formato TAB, uma tabela de frequências por velocidade e direção. Para simplificar o processo de tratamento destes dados, este ficheiro TAB foi convertido numa série temporal artificial, com registos de velocidade e direção com as mesmas frequências do ficheiro TAB fornecido. Com recurso à mesma metodologia descrita anteriormente para tratamento dos dados, apresentam-se os resultados na figura 3.3.

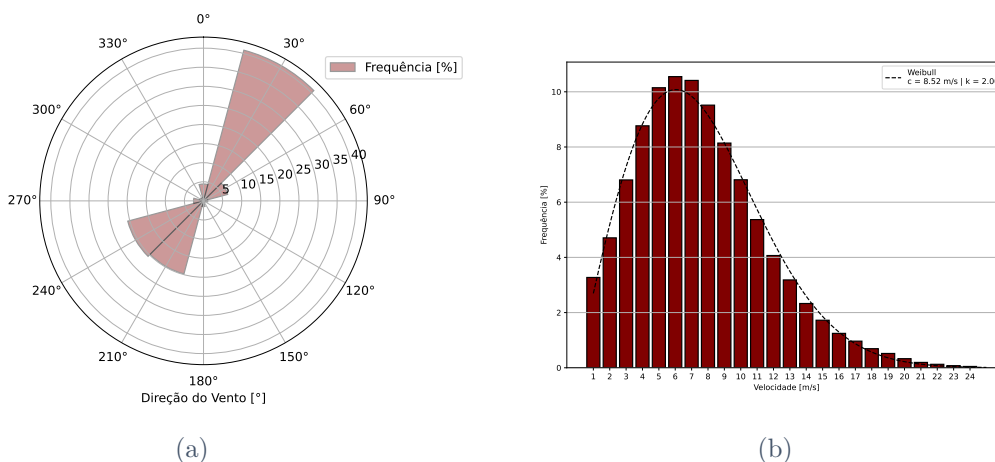


Figura 3.3 – Rosa de frequências (a) e histograma de frequências (b) da série LT-MESO

De acordo com os dados LT-MESO, mantém-se a conclusão de que o vento é predominante nas três direções referidas anteriormente, mas destacando-se a direção de 30° que, com base nestes dados, aparenta ser consideravelmente mais frequente do que as restantes.

Os dados LT-MESO têm a vantagem de incluir resultados de um modelo de mesoescala a uma resolução de cerca de 3 km e de já incorporarem correlação com as medições. Por outro lado, não contêm variação temporal já que a informação foi fornecida no domínio da frequência. Para obviar a isto, fez-se uso dos dados LT-ERA5 (de 2008 a 2022). Através desta série foi estimada a variação da velocidade média anual em relação à velocidade média global correspondente ao período de longo termo em análise, que neste caso foi de 2008 a 2022.

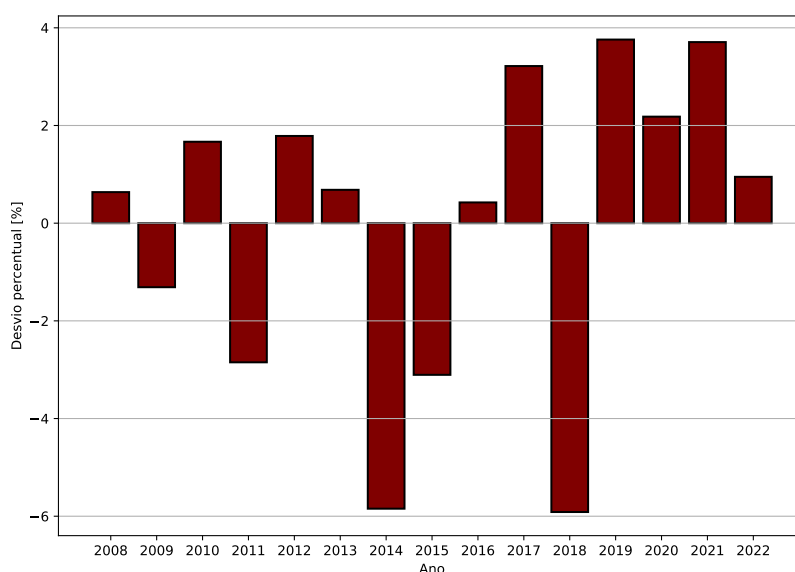


Figura 3.4 – Desvio percentual entre a velocidade média anual e a velocidade média global do período de longo termo

Esta série de longo termo foi também utilizada para determinar o desvio percentual entre a velocidade média do período de medição correspondente a cada um dos mastros e a velocidade média global correspondente a todo o período de longo termo em análise.

Tabela 3.1 – Desvio entre a velocidade média nos períodos de medição dos mastros e a velocidade média global da série de longo termo (LT-ERA5)

	Período	Desvio Percentual
Período global de longo termo	01/01/2008 - 31/12/2022	-
Período de medição do mastro 1	09/12/2018 - 07/07/2021	+4.0115 %
Período de medição do mastro 2	01/05/2009 - 30/09/2010	-3.8967 %

Esta análise às condições de vento locais revela que a produção do parque eólico seria provavelmente sobrestimada usando o mastro 1 (e inversamente com o mastro 2), mostrando a necessidade de correlacionar com as séries de longo de termo.

3.2 Pré-processamento

3.2.1 Geração da malha de cálculo

A malha de cálculo foi gerada com recurso ao código `write_blockMeshDict.f90`, desenvolvido em [6], que recebe ficheiros em formato VTK (*Visualization Toolkit*) gerados por um outro código FORTRAN que faz parte do WINDIE, o `gsrf3.f90`, cuja função é definir os pontos para a malha horizontal tendo como *input* dados reais de topografia (ficheiro `topo.dat`). O código `write_blockMeshDict.f90` define os pontos na vertical tomando como base a superfície gerada pelo `gsrf3.f90` e escreve os blocos que definem toda a malha de cálculo no ficheiro `blockMeshDict`, que é o *input* necessário à execução do `blockMesh`, um dos geradores de malha do OpenFOAM.

Os códigos `gsrf3.f90` e `write_blockMeshDict.f90` geram uma malha de cálculo na qual, dentro de uma área central definida, é aplicada uma melhor resolução, uma vez que se pretende que seja dentro desta área que estejam as turbinas eólicas e onde já existem mastros de medição. Fora dessa área, o tamanho dos volumes de controlo vai aumentando gradualmente em progressão geométrica até atingir as extremidades do domínio computacional. A malha terá também maior resolução junto ao solo e a dimensão vertical dos volumes de controlo irá aumentar em altura de acordo com um fator de expansão definido.

A malha de cálculo é gerada de acordo com os seguintes parâmetros:

- `nig`, `njg` - Número de volumes de controlo em x e em y , respetivamente. Estes parâmetros seguem a estratégia usada no WINDIE, em que é considerado o

número de volumes de controlo acrescido dos dois nós nas arestas dos limites do domínio. Assim, no OpenFOAM o número de volumes de controlo em x e em y será $(nig - 2)$ e $(njg - 2)$, respetivamente.

- nz - Número de volumes de controlo em z ;
- $cofx$, $cofy$ - Dimensões x e y , respetivamente, dos volumes de controlo mais pequenos, localizados na área central de maior resolução;
- R - Fator de expansão vertical;
- dxn , dyn - Dimensão x e y , respetivamente, da área de maior resolução;
- $xmax$, $xmin$, $ymax$, $ymin$, sky - Limites do domínio computacional;
- $npassfilter$ - Fator de suavização do terreno nas extremidades;
- $alphalayer$ - Espessura nas extremidades onde é aplicada a suavização descrita no ponto anterior.
- rot - Direção do vento a simular.

Na figura 3.5 estão ilustrados alguns destes parâmetros.

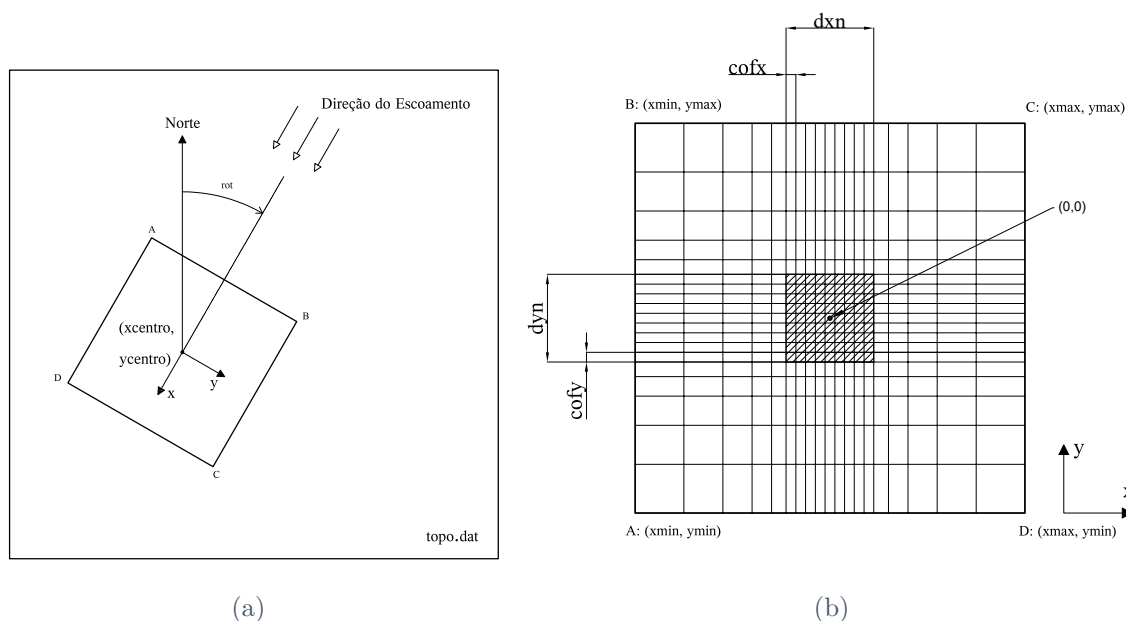


Figura 3.5 – Parâmetros do `gsrf3.f90`

Estes *inputs* são especificados pelo utilizador em ficheiros de configuração que são lidos pelos códigos `gsrf3.f90` e `write_blockMeshDict.f90`, ambos escritos em linguagem FORTRAN. Um exemplo de uma malha gerada para este caso de estudo é apresentada na figuras 3.6.

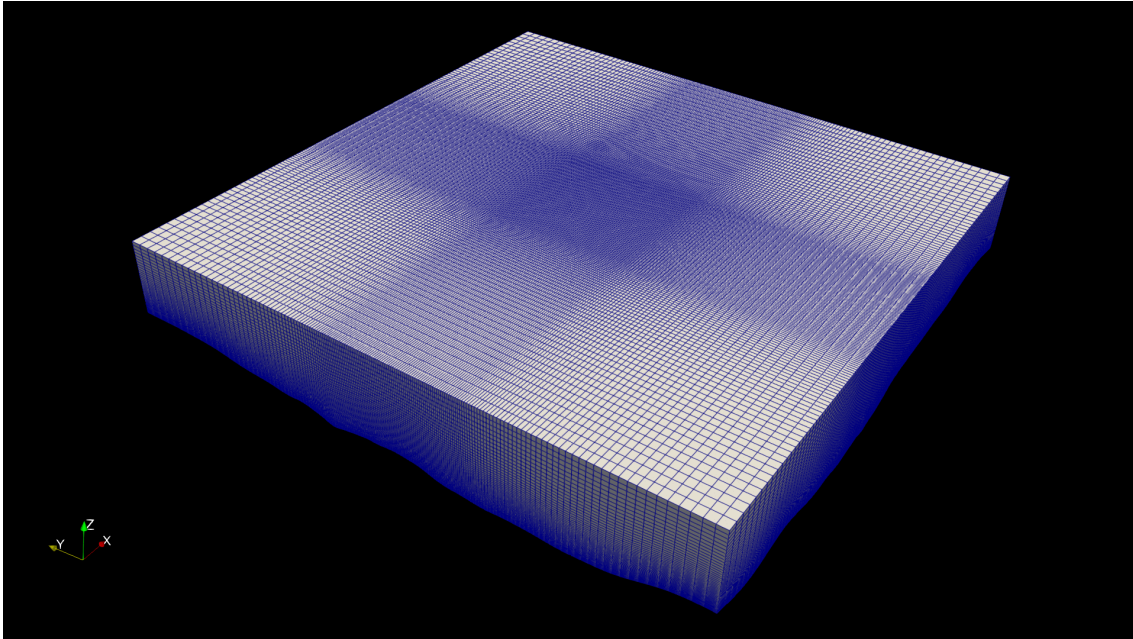


Figura 3.6 – Exemplo de malha de cálculo gerada pelo `gsrf3.f90` e `write_blockMeshDict.f90`

Com a realização de simulações com malhas de cálculo de maior resolução, verificou-se a necessidade de alterar o código `write_blockMeshDict.f90` para escrever mais algoritmos na escrita dos blocos no `blockMeshDict`, que estavam até aqui limitados a seis algoritmos.

Na geração do ficheiro `blockMeshDict` foram definidas as seis fronteiras do domínio computacional, de acordo com a tabela 3.2.

Tabela 3.2 – Definição das fronteiras no ficheiro `blockMeshDict`

Nome da Fronteira	Atributo
<i>ground</i>	<code>wall</code>
<i>inlet</i>	<code>patch</code>
<i>outlet</i>	<code>patch</code>
<i>front</i>	<code>symmetryPlane</code>
<i>back</i>	<code>symmetryPlane</code>
<i>sky</i>	<code>symmetryPlane</code>

3.2.2 Condições de fronteira

As condições de fronteira idealizadas descritas neste capítulo têm como base os pressupostos que, nestas simulações, os escoamentos atmosféricos são incompressíveis e neutralmente estratificados. Assim, perfis idealizados de velocidade, de energia cinética da turbulência (k) e da sua taxa de dissipação (ε) foram aplicados na fronteira de entrada, também referida neste capítulo como *inlet*.

Os perfis de entrada foram definidos de acordo com as equações propostas em [39], que para a velocidade, k e ε são definidos por,

$$u = \begin{cases} u_*/\kappa \cdot \ln(1 + z/z_0), & z < \delta \\ u_*/\kappa \cdot \ln((\delta + z)/z_0), & z \geq \delta \end{cases}, \quad (3.3)$$

$$k = \begin{cases} u_*^2/C_\mu \cdot (1 - z/\delta), & z \leq 0.99\delta \\ u_*^2/(100C_\mu^{1/2}), & z > 0.99\delta \end{cases}, \quad (3.4)$$

$$\varepsilon = \begin{cases} C_\mu^{3/4}k^{3/2}/(kz), & z \leq 0.95\delta \\ C_\mu^{3/4}k^{3/2}/(0.95\delta k), & z > 0.95\delta \end{cases}, \quad (3.5)$$

sendo δ a altura da camada limite.

A especificação de condições de fronteira no OpenFOAM é efetuada via *Text User Interface* (TUI) por ficheiros de texto que estão na pasta 0 do respetivo caso de estudo. Para o cálculo dos perfis idealizados, foi usado o código `write_bCs.f90`, desenvolvido em [6], que através das equações 3.3, 3.4 e 3.5, calcula os perfis das respetivas quantidades e aplica-os na fronteira de entrada, tendo em consideração a sua geometria e malha de cálculo. Estes perfis são escritos em ficheiros *dat* ASCII para posterior leitura pelo OpenFOAM.

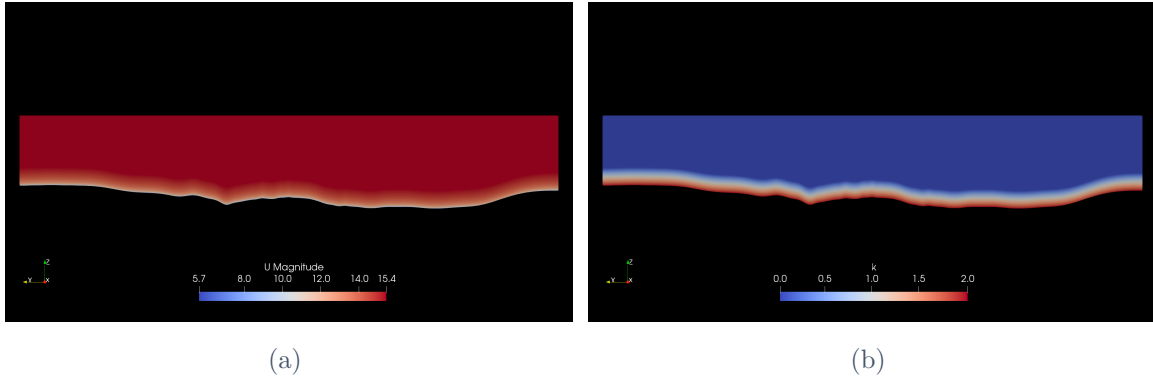


Figura 3.7 – Perfis idealizados da velocidade (a) e energia cinética da turbulência (b) aplicados na fronteira de entrada

Para as fronteiras *front*, *back* e *sky* foi aplicada uma condição de simetria. A aplicação desta condição de fronteira implica que a componente normal da velocidade nestas fronteiras será zero, resultando numa condição de fluxo nulo. Na fronteira *ground*, foi aplicada uma condição de velocidade nula (não escorregamento). Para as quantidades k e ε , foram aplicadas leis de parede disponíveis no OpenFOAM, identificadas na tabela 3.3.

Tabela 3.3 – Especificação das condições de fronteira no OpenFOAM para a velocidade, k e ε

Fronteira/ <i>Patch</i>	Quantidade	Cond. Fronteira	Valor
<i>ground</i>	U	<code>fixedValue;</code>	<code>uniform (0 0 0);</code>
<i>inlet</i>		<code>fixedValue;</code>	Equação 3.3
<i>outlet</i>		<code>inletOutlet;</code>	<code>uniform (0 0 0);</code>
<i>front, back, sky</i>		<code>symmetryPlane;</code>	-
<i>ground</i>	k	<code>kqRWallFunction;</code>	<code>uniform 2.028;</code>
<i>inlet</i>		<code>fixedValue;</code>	Equação 3.4
<i>outlet</i>		<code>zeroGradient;</code>	-
<i>front, back, sky</i>		<code>symmetryPlane;</code>	-
<i>ground</i>	ε	<code>epsilonWallFunction;</code>	<code>uniform 18.183;</code>
<i>inlet</i>		<code>fixedValue;</code>	Equação 3.5
<i>outlet</i>		<code>zeroGradient;</code>	-
<i>front, back, sky</i>		<code>symmetryPlane;</code>	-

A função de parede `kqRWallFunction`, usada na fronteira *ground* para a quantidade k , atribui um valor constante na fronteira, impondo desta forma um gradiente nulo [40].

Relativamente à função de parede `epsilonWallFunction`, esta adota uma formulação empírica para modelar o comportamento da taxa da dissipação da energia cinética da turbulência na parede, dada por ([22]),

$$\varepsilon_{wall} = \frac{u_*^3}{kz_p}, \quad (3.6)$$

em que z_p representa a distância entre a parede e o centro geométrico do volume de controlo adjacente.

Quanto à pressão, a definição das condições de fronteira estão identificadas na tabela 3.4.

Tabela 3.4 – Especificação das condições de fronteira no OpenFOAM para a pressão

Fronteira/ <i>Patch</i>	Quantidade	Cond. Fronteira	Valor
<i>ground, inlet</i>	p	<code>zeroGradient;</code>	-
<i>sky, front, back</i>		<code>symmetryPlane;</code>	-
<i>outlet</i>		<code>fixedValue;</code>	<code>uniform 0;</code>

3.2.3 Modelação da rugosidade

A rugosidade do terreno foi modelada com recurso ao código `write_z0.f90`, desenvolvido em [6], com algumas alterações que serão referidas nesta secção. Esta ferramenta permite que a rugosidade do terreno seja mapeada de três maneiras:

- Rugosidade uniforme - Neste caso um valor constante de z_0 que será adotado em todos os pontos do terreno é especificado pelo utilizador;
- Rugosidade definida por uma equação que impõe uma variação linear de z_0 [41];
- Rugosidade definida por mapa de rugosidade - Nesta opção, o utilizador deve introduzir como *input* um mapa de rugosidade que contém valores de z_0 em função das coordenadas x e y para o local em estudo.

Neste trabalho foi usada esta última opção, onde um mapa de rugosidade é obtido a partir de dados reais (ficheiro `roug.dat`) que são manipulados pelo `groug.f90`, um código que também faz parte do WINDIE.

De acordo com [6], no OpenFOAM a rugosidade é modelada como condição de fronteira da viscosidade cinemática turbulenta (ν_t), sendo a rugosidade aerodinâmica z_0 um parâmetro especificado no ficheiro `nut` da pasta 0. Na versão original do código `write_z0.f90` foi usada a condição de fronteira `nutkAtmRoughWallFunction`. Nas versões mais recentes do OpenFOAM esta condição de fronteira foi descontinuada, pelo que foi efetuada uma alteração ao código `write_z0.f90` para fazer uso da `atmNutkWallFunction`, cuja formulação é (ver [42, 43]),

$$\nu_{tw} = \nu_w \left(\frac{y^+ \kappa}{\ln(\max(E', 1 + 10^{-4}))} - 1 \right) , \quad (3.7)$$

em que ν_w representa a viscosidade cinemática do fluido. Os parâmetros u_* , y^+ e E' são obtidos a partir de,

$$u^* = C_\mu^{1/4} \sqrt{k} , \quad (3.8)$$

$$y^+ = \frac{u_* y}{\nu_w} , \quad (3.9)$$

$$E' = \frac{y + z_0}{z_0} . \quad (3.10)$$

Na tabela 3.5 está identificada a especificação das condições de fronteira no ficheiro `nut`.

Tabela 3.5 – Especificação das condições de fronteira no OpenFOAM para a viscosidade turbulenta (ν_t)

Fronteira/ <i>Patch</i>	Quantidade	Cond. Fronteira	Valor
<i>ground</i>		<code>atmNutkWallFunction;</code>	-
<i>sky, front, back</i>	ν_t	<code>symmetryPlane;</code>	-
<i>inlet, outlet</i>		<code>fixedValue;</code>	<code>uniform 0;</code>

Os parâmetros C_μ , κ , E' e z_0 para a condição de fronteira `atmNutmWallFunction` foram configurados no ficheiro `nut` de acordo com o seguinte excerto:

```
ground
{
    type          atmNutmWallFunction;
    Cmu           0.033;
    kappa         0.41;
    E             9.8;
    z0            nonuniform List<scalar>
    9604
    (
        *
    );
    value        uniform 0;
}
```

Acima '*' representa uma lista de valores do mapa de rugosidade definidos no ficheiro `roug.dat`, interpolados para os pontos da malha de cálculo da fronteira `ground`.

3.2.4 Modelação da turbulência

Nesta dissertação, todas as simulações foram realizadas usando o modelo RaNS $k-\varepsilon$, descrito no capítulo 2.2.3, com as constantes empíricas do modelo ajustadas para escoamentos atmosféricos, indicadas nesse mesmo capítulo.

3.2.5 Técnicas e recursos computacionais

As simulações finais realizadas no âmbito deste trabalho foram efetuadas com recurso a *cloud computing*, usando o sistema `pbs` (*portable batch script*) para a submissão das simulações na *cloud*. A utilização de computação de alta *performance* provém da necessidade de efetuar várias simulações CFD com malhas de cálculo de resolução consideravelmente elevada. Também foram elaborados *bash scripts* para a automação das tarefas como o pré-processamento e lançamento de múltiplas simulações sequencialmente.

As simulações foram efetuadas em paralelo, dividindo o domínio por 16 núcleos (4 em x , 4 em y e 1 em z) usando um particionamento `simplex`. Evitou-se a partição em z devido aos maiores gradientes observados nesta direção.

3.3 Resultados

3.3.1 Configurações do conjunto final de simulações

O conjunto final de simulações foi realizado para 12 direções de vento, com a seguinte configuração dos parâmetros apresentados na secção 3.2.1, para a malha de cálculo:

- $x_{\max} = y_{\max} = 15000$ m, para todas as direções;
- $x_{\min} = y_{\min} = -15000$ m, para todas as direções;
- $sky = 5500$ m, para todas as direções.

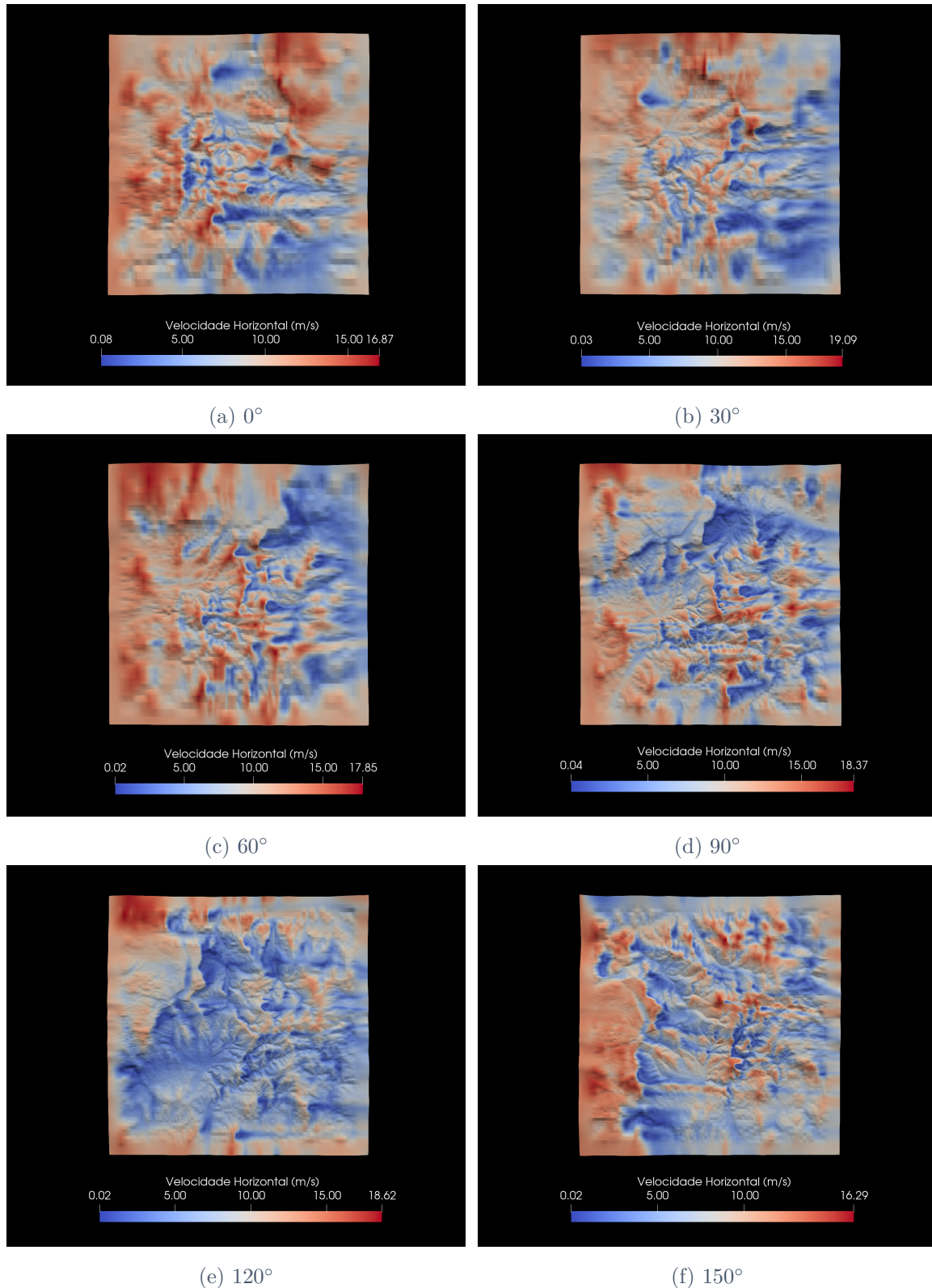
Tabela 3.6 – Configurações do conjunto final de simulações com condições de fronteira idealizadas

Direção (°)	nig	njg	nz	cofx	cofy	R	npassfilter	alphalayer
0	100	100	80	150	150	100	10	3000
30	100	100	80	150	150	100	10	3000
60	100	100	80	150	150	100	10	3000
90	256	256	100	50	50	100	10	3000
120	256	256	100	50	50	100	10	3000
150	256	256	100	50	50	100	10	3000
180	256	256	100	50	50	100	10	3000
210	256	256	100	50	50	100	10	3000
240	100	100	80	150	150	100	10	3000
270	256	256	100	50	50	100	10	3000
300	256	256	100	50	50	100	10	3000
330	256	256	100	50	50	100	10	3000

Na realização de simulações CFD com uma malha $nig = njg = 256$ e $nz = 100$, as direções 0° , 30° , 60° e 240° revelaram problemas de convergência. Primeiramente, foi aumentada a suavização do terreno nas extremidades aumentando o parâmetro `npassfilter`, bem como a espessura dessa camada onde é aplicada a suavização, aumentando o parâmetro `alphalayer`. Os problemas de convergência persistiram e por essa razão, a resolução da malha de cálculo para essas direções foi diminuída até se atingir convergência.

3.3.2 Modelo numérico

Na figura 3.8, estão representados os resultados do modelo numérico, numa superfície que acompanha o terreno a 102.5 m acima do nível do solo, a altura do eixo das turbinas eólicas.



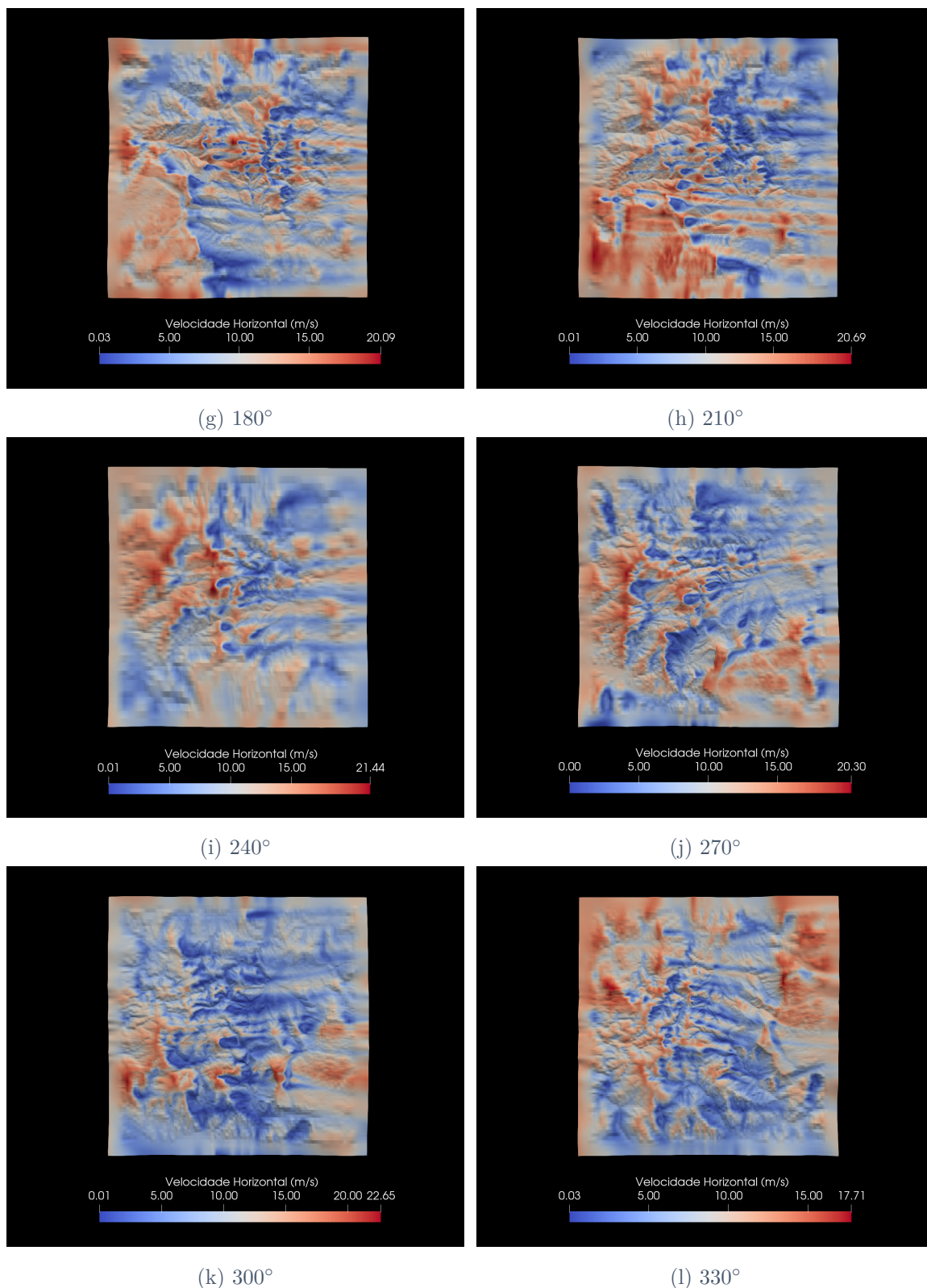


Figura 3.8 – Magnitude de velocidade horizontal para as 12 direções de vento simuladas

As superfícies ANS (acima do nível do solo) representadas na figura 3.8 foram geradas com o código `write_sample.f90`, desenvolvido em [6], que contém várias utilidades para auxiliar o pós-processamento de resultados de simulações de escoamentos atmosféricos em OpenFOAM. Uma delas é a geração de uma superfície VTK

que acompanha a topografia à altura ANS definida pelo utilizador. Esse ficheiro é depois carregado no *software Paraview* [44], que foi usado neste trabalho para a visualização gráfica dos resultados obtidos pelo modelo numérico.

3.4 Pós-processamento

Foram desenvolvidos, neste trabalho, códigos em *Python* que trabalham com um conjunto de simulações CFD e com uma série temporal de dados medidos para produzir resultados nas localizações das turbinas ou em quaisquer outras dentro do domínio em estudo. A metodologia consiste no cálculo de matrizes de transferência para cada um dos pontos em estudo. Posteriormente, é efetuado o transporte da série temporal medida para esses pontos, mediante os resultados do modelo numérico.

As matrizes de transferência contêm valores da razão entre a velocidade horizontal na turbina e a velocidade horizontal no mastro, obtidos através dos resultados do modelo numérico para 12 direções de vento. Estes dados são depois interpolados para gerar matrizes de transferência, que contêm 360 valores dessa razão correspondentes a cada direção de vento. O mesmo raciocínio foi adotado para obter a direção do vento nas turbinas, mas desta vez através do cálculo de um parâmetro $\Delta\phi$, que representa a diferença entre a direção do vento na turbina e a direção do vento no mastro.

Os códigos desenvolvidos foram estruturados de forma a otimizar o tempo aplicado em processamento, sendo os códigos e as suas funções no algoritmo de pós-processamento aqui descritas:

- **Parte 1** - `OFdata_read.py` - Leitura da malha de cálculo e resultados com recurso ao módulo `fluidfoam` [45]. Este código termina com a escrita desta informação em matrizes no formato binário. A necessidade de separar a leitura da malha de cálculo provém do facto de o `fluidfoam` ter revelado elevadas necessidades computacionais na leitura de malhas de elevada resolução.
- **Parte 2** - `CFDdata_compute.py` - Leitura da informação produzida pelo *script* anterior e transformação das coordenadas locais do OpenFOAM para UTM (*Universal Transverse Mercator*), execução de interpolações trilineares do modelo numérico para as coordenadas dos pontos em estudo e geração das matrizes de transferência.
- **Parte 3** - `resource_assessment.py` - Transporte dos dados das séries medidas para os pontos em estudo, usando as matrizes de transferência calculadas no *script* anterior, filtragem dos resultados transportados e geração dos gráficos polares que se apresentam, por exemplo, nas figuras 3.9 e 3.10.

A fragmentação do código desenvolvido permite que cada uma das partes descritas seja executada tantas vezes quanto necessárias, sem a necessidade de voltar a efetuar

todas as partes, uma vez que cada uma das partes do algoritmo pode demorar algum tempo de processamento. O código pode ser consultado no Apêndice B.

3.4.1 Validação do modelo

Para a validação do modelo, foi efetuado o transporte dos resultados medidos num ponto para outros pontos onde também existem dados medidos, permitindo assim a comparação entre o que foi medido pelos anemómetros e o que foi transportado para as suas localizações.

Como existem resultados de dois mastros de medição que registaram dados a diferentes alturas, é possível avaliar a capacidade do modelo capturar o perfil de velocidades vertical, efetuando o transporte para outras alturas ANS onde se dispõe de dados medidos com o objetivo de comparar as medições com os dados transportados.

Na tabelas seguintes é comparada a média global das medições às alturas ANS onde se dispõe de dados medidos com a média global dos resultados transportados, usando como referência o mastro 1 a diferentes alturas ANS:

Tabela 3.7 – Validações na vertical usando o mastro 1 a 81 m ANS como referência

Altura ANS [m]		Velocidade [m/s]		Desvio Percentual
Origem	Destino	Medições	Simulações	
81 (Mastro 1)	76 (Mastro 1)	7.0748	7.1815	+1.4858 %
81 (Mastro 1)	55 (Mastro 1)	7.0301	6.8936	-1.9801 %
81 (Mastro 1)	35 (Mastro 1)	6.1450	6.4526	+4.7671 %

Tabela 3.8 – Validações na vertical usando o mastro 1 a 76 m ANS como referência

Altura ANS [m]		Velocidade [m/s]		Desvio Percentual
Origem	Destino	Medições	Simulações	
76 (Mastro 1)	81 (Mastro 1)	7.2494	7.1369	-1.5763 %
76 (Mastro 1)	55 (Mastro 1)	7.0301	6.8169	-3.1275 %
76 (Mastro 1)	35 (Mastro 1)	6.1450	6.4300	+4.4323 %

Tabela 3.9 – Validações na vertical usando o mastro 1 a 55 m ANS como referência

Altura ANS [m]		Velocidade [m/s]		Desvio Percentual
Origem	Destino	Medições	Simulações	
55 (Mastro 1)	81 (Mastro 1)	7.2494	7.4070	+2.1277 %
55 (Mastro 1)	76 (Mastro 1)	7.0748	7.3364	+3.5658 %
55 (Mastro 1)	35 (Mastro 1)	6.1450	6.5637	+6.3790 %

Tabela 3.10 – Validações na vertical usando o mastro 1 a 35 m ANS como referência

Altura ANS [m]		Velocidade [m/s]		Desvio Percentual
Origem	Destino	Medições	Simulações	
35 (Mastro 1)	81 (Mastro 1)	7.2494	6.9283	-4.6346 %
35 (Mastro 1)	76 (Mastro 1)	7.0748	6.8635	-3.0786 %
35 (Mastro 1)	55 (Mastro 1)	7.0301	6.5767	-6.8940 %

Por análise às validações na vertical, conclui-se que o modelo teve alguma dificuldade em prever o comportamento do escoamento junto ao solo, uma vez que se verifica desvios percentuais mais elevados quando o transporte é feito para o mastro 1 a 35 m ANS ou desse anemómetro para cotas mais elevadas. A alturas ao solo mais elevadas, verifica-se que o modelo tem um melhor desempenho no transporte vertical. Como a obtenção de resultados à altura de eixo das turbinas envolve uma extrapolação vertical de 81 para 102.5 m ANS, é expectável que os erros das validações verticais usando o par de anemómetros mais alto seja mais representativo do erro no transporte para os aerogeradores.

Fazendo uso do mesmo raciocínio, pode também ser avaliada a capacidade do modelo de transportar a série medida na horizontal, transportando os resultados a alturas ANS semelhantes de uma localização onde se disponha de dados medidos no mastro 1 para outra do mastro 2 e vice-versa. Os resultados obtidos estão indicados na tabela 3.11.

Tabela 3.11 – Validações na horizontal usando medições de anemómetros das duas estações a alturas ANS semelhantes

Altura ANS [m]		Velocidade [m/s]		Desvio Percentual
Origem	Destino	Medições	Simulações	
55 (Mastro 1)	60 (Mastro 2)	6.4843	5.8259	-11.3013 %
60 (Mastro 2)	55 (Mastro 1)	7.0301	6.8981	-1.9139 %

As validações horizontais indicam que o modelo tem uma dificuldade considerável em transportar os resultados na horizontal, uma vez que essas validações revelaram assimetria e foram obtidos desvios percentuais elevados do mastro 1 para o mastro 2.

3.4.2 Frequências e velocidades de vento obtidas por direção nas turbinas

Nas figuras seguintes estão apresentados os resultados obtidos para a frequência (figura 3.9) e velocidade do vento por direção (figura 3.10), obtidos nas localizações das 5 máquinas em estudo, filtrados por intervalos de 30°. Os códigos desenvolvidos possibilitam a filtragem por intervalos diferentes, sendo o número de direções a

considerar no pós-processamento um dos *inputs* especificados pelo utilizador. A série temporal de dados medidos utilizada foi a do mastro 1 (ver capítulo 3.1.2).

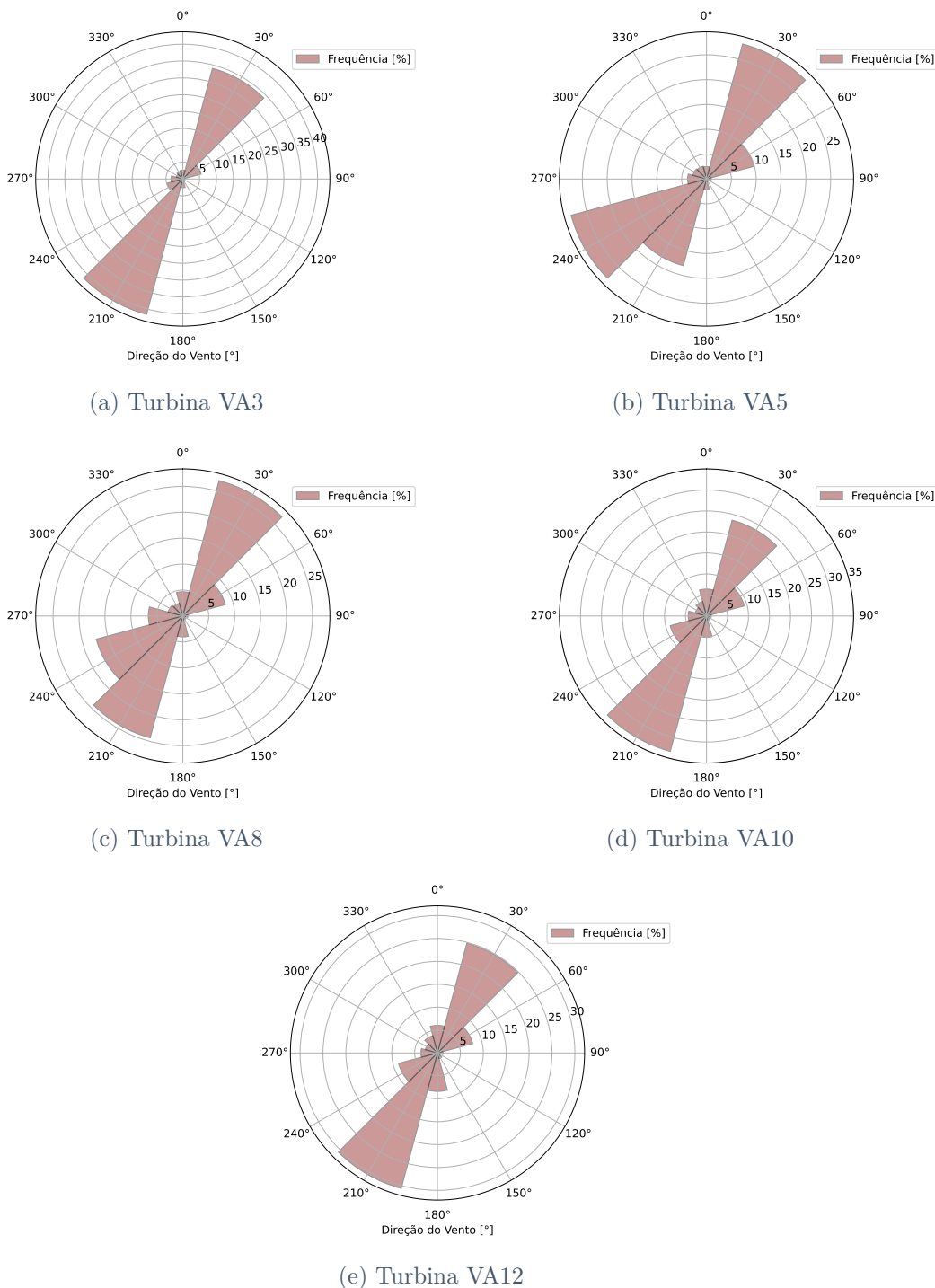
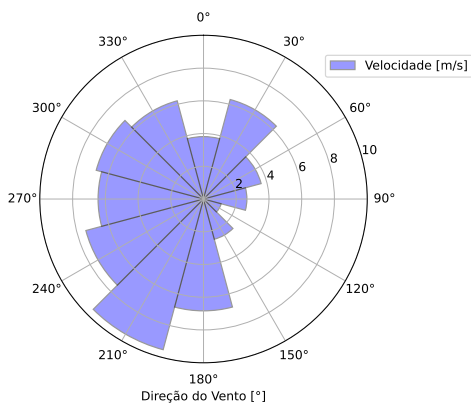
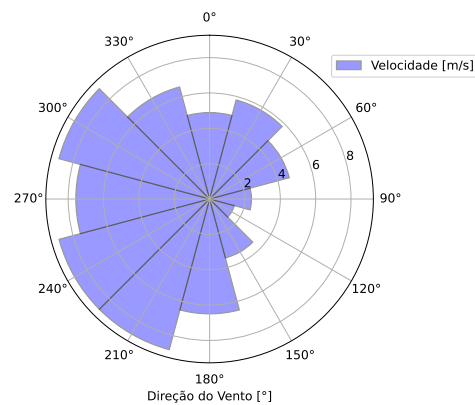


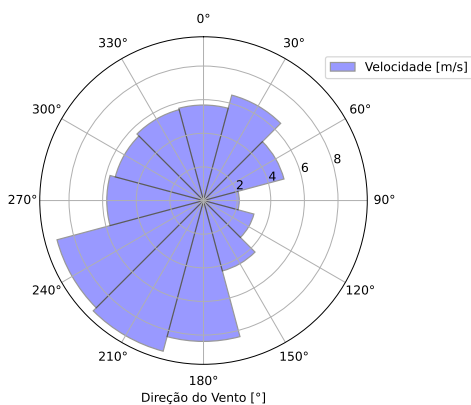
Figura 3.9 – Gráficos polares de frequência por direção obtidos nas localizações das turbinas



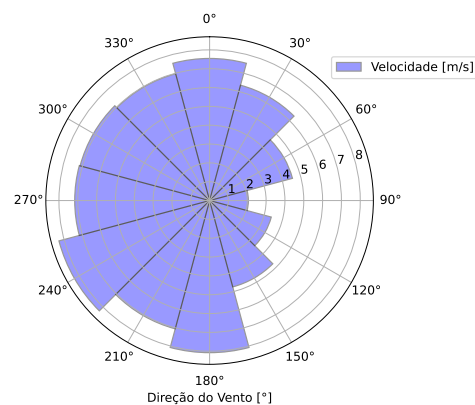
(a) Turbina VA3



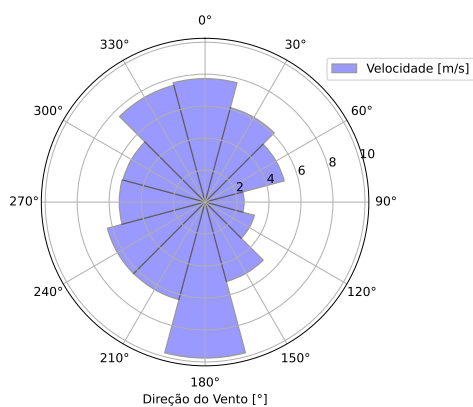
(b) Turbina VA5



(c) Turbina VA8



(d) Turbina VA10



(e) Turbina VA12

Figura 3.10 – Gráficos polares de velocidade por direção obtidos nas localizações das turbinas

3.4.3 Velocidade do vento numa grelha definida de pontos

A metodologia descrita anteriormente pode também ser adotada para efetuar o transporte da série medida para uma grelha de pontos, obtendo assim um mapa de velocidades. Para garantir uma boa resolução no mapeamento, o código deve efetuar o transporte da série medida para um número consideravelmente elevado de pontos. Este processo é computacionalmente exigente e por essa razão, foi implementada computação em paralelo na secção do código onde são efetuadas as interpolações trilineares, de forma a reduzir o tempo de cálculo, dividindo o número de pontos de cálculo pelos vários núcleos dos processadores disponíveis. Na figura 3.11 estão os resultados obtidos numa grelha com resolução de 75 m a partir de medições no mastro 1 a 81 m acima do nível do solo. Na tabela 4.12 está indicada a velocidade média da série transportada para as localizações de cada turbina.

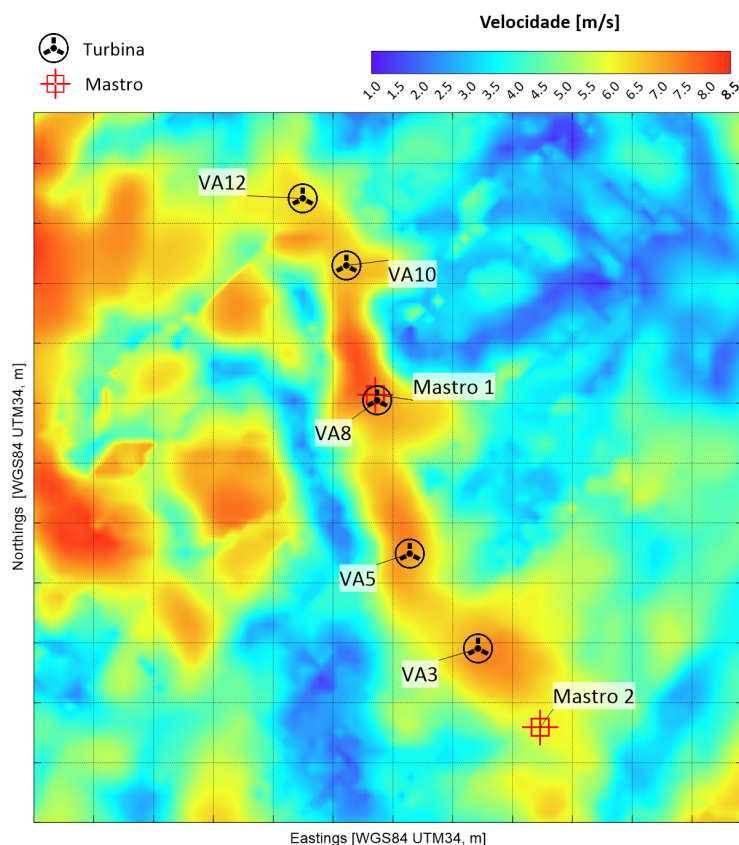


Figura 3.11 – Mapa de velocidades numa grelha de pontos (resolução de 75 m)

Tabela 3.12 – Valores da velocidade média da série transportada para cada turbina

Turbina	Altura do terreno [m]	Velocidade [m/s]
VA3	1170	7.4635
VA5	1298	7.1909
VA8	1400	7.3352
VA10	1470	6.7456
VA12	1520	6.4474

3.5 Discussão de resultados

Por análise aos resultados obtidos conclui-se que a velocidade do escoamento aumenta genericamente com a cota ANS, o que seria expectável. Nas turbinas, as direções mais relevantes são, no geral, 30° e 210° , verificando-se também ocorrência significativa da direção 240° em alguns casos, principalmente na máquina VA5, este efeito é devido à interação do escoamento com um vale que existe a montante dessa turbina (ver figuras 3.12 e 3.13).

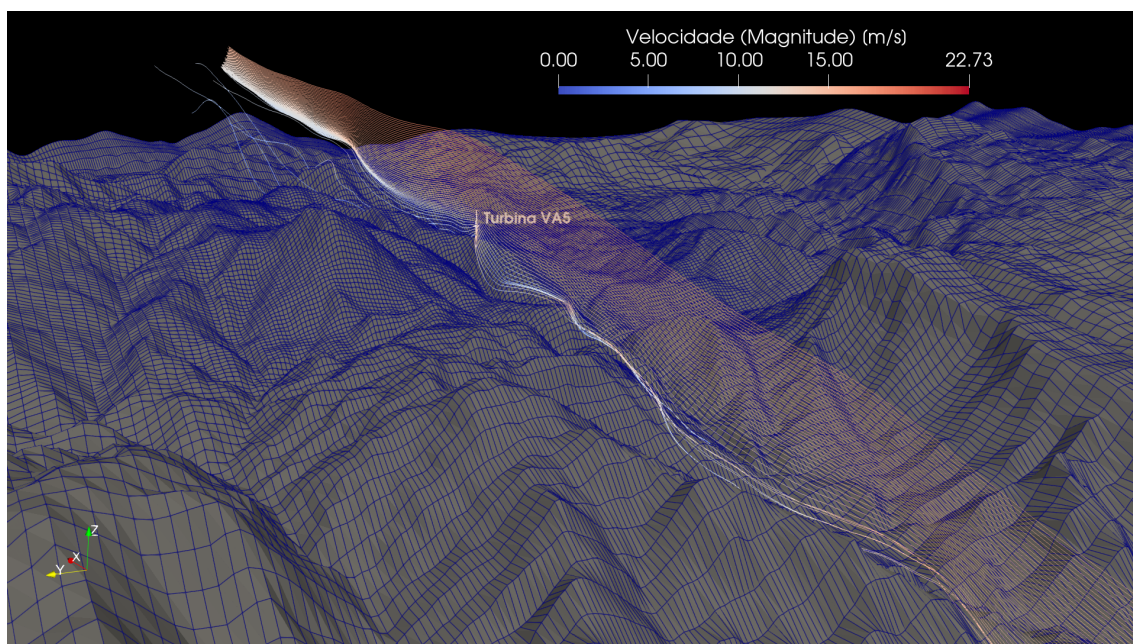


Figura 3.12 – Linhas de corrente na turbina VA5 (1)

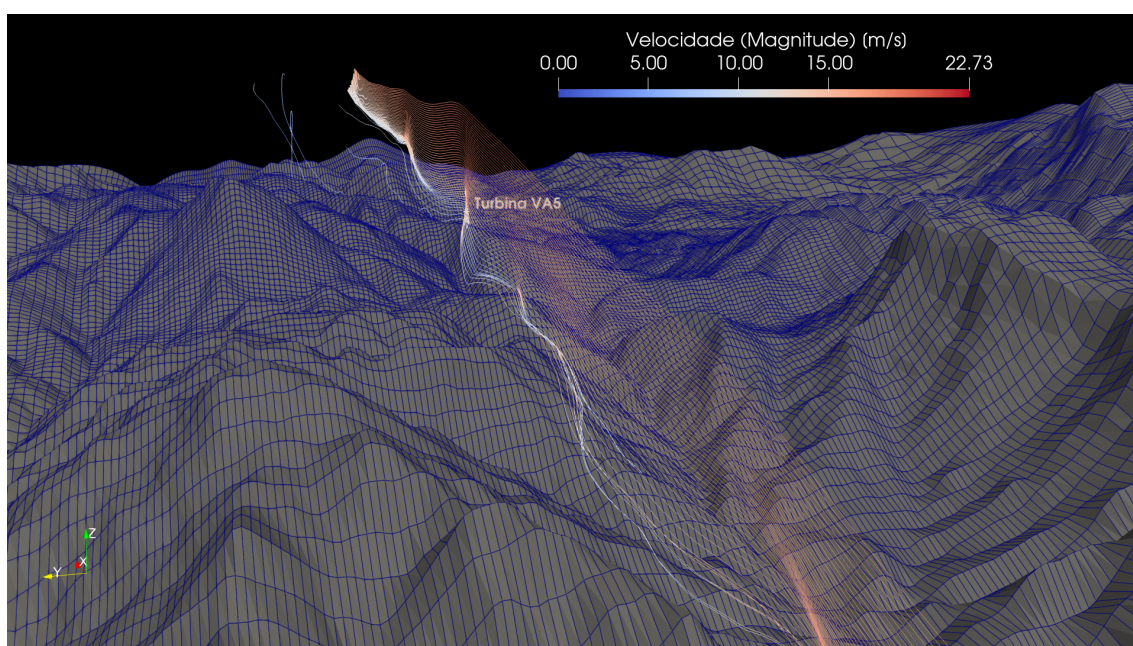


Figura 3.13 – Linhas de corrente na turbina VA5 (2)

O modelo numérico revelou capacidade em captar bolsas de recirculação e turbulência, que, como seria expectável, ocorrem nas zonas onde o terreno tem cota mais baixa a seguir a montanhas com cota elevada, seguindo a direção do escoamento (efeito de esteira a jusante provocado pelas montanhas, ver figura 3.14).

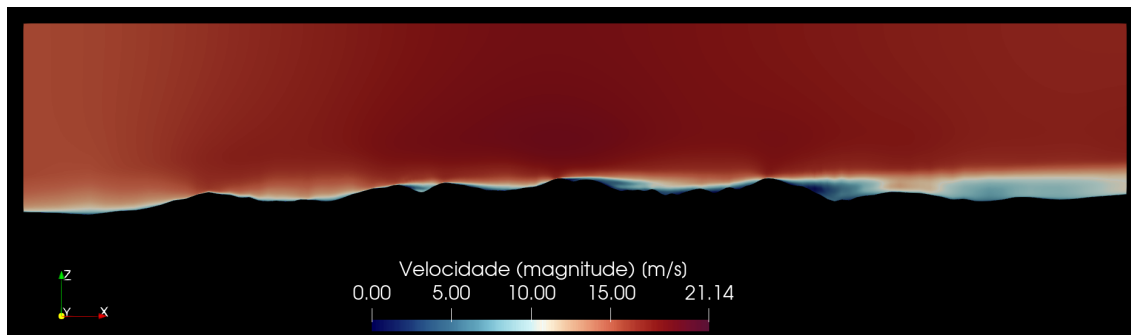


Figura 3.14 – Bolsas de recirculação a jusante das montanhas

O mapeamento da velocidade apresentou alguma correlação com a cota do terreno, mas foram obtidos resultados inesperados para as turbinas a norte. Na cumeeada onde estão localizadas as turbinas, seria de esperar que a velocidade fosse superior quando a cota do terreno é mais elevada. Por análise à figura 3.11 e à tabela 3.12, verificou-se que tal não ocorreu, senão a velocidade mais elevada das 5 turbinas verificar-se-ia na turbina VA12. Por contraste, a velocidade mais elevada ocorre na turbina VA3, que é a turbina localizada a uma cota de terreno mais baixa, este resultado pode ser devido a um eventual efeito de canalização do escoamento de vento para a turbina VA3, por efeito do declive do terreno (ver figura 3.15).

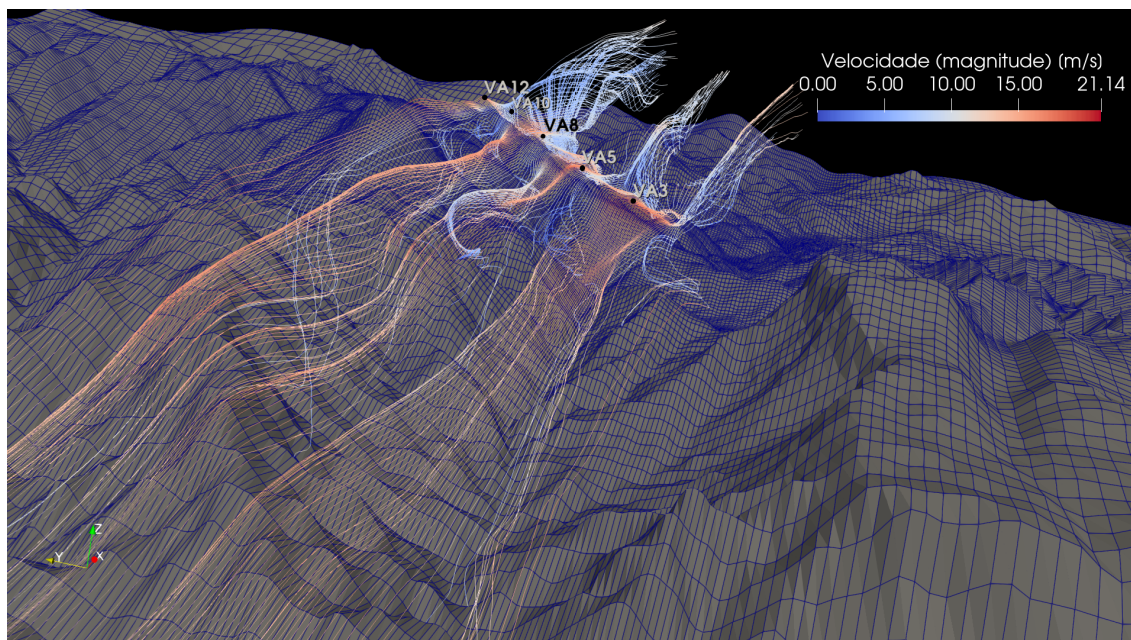


Figura 3.15 – Linhas de corrente nas turbinas

4 Simulação de escoamentos atmosféricos com condições de fronteira de modelos de mesoescala

Neste capítulo será apresentada a metodologia e os procedimentos desenvolvidos para a realização de simulações CFD de escoamentos atmosféricos neutralmente estratificados com condições de fronteira de modelos de mesoescala, aplicando-os ao mesmo caso de estudo do capítulo anterior.

4.1 Metodologia de Acoplamento

4.1.1 Simulação precursora WRF

Foi efetuada uma simulação de mesoescala usando o WRF 4.0.1 com o objetivo de obter os padrões de vento regionais. O período da simulação precursora foi de 2019 a 2021, período que coincide com o dos dados medidos pelo mastro 1. A simulação tem a duração de 3 anos completos (01/01/2019 a 31/12/2021), para evitar eventuais distorções de sazonalidade.

Na simulação, foram usadas condições de fronteira FNL que contêm dados obtidos pelo sistema global de telecomunicações e outras fontes (ver [46]). Esta base de dados contém parâmetros como a pressão à superfície, pressão ao nível do mar, altura geopotencial, temperatura, temperatura da superfície do mar, características do terreno, cobertura de gelo, humidade relativa, componentes u e v da velocidade do vento, movimento vertical, vorticidade e ozono.

As configurações adotadas no WRF são aqui brevemente listadas:

- ***nesting*** - 3 *nests* com resolução de 27 km, 9 km e 3 km.
- **Esquema de microfísica** - WSM6 [47].

- **Esquema de radiação de onda longa** - RRTM [48].
- **Esquema de radiação de onda curta** - Dudhia [49].
- **Esquema de camada limite planetária** - MYJ [50].
- **Esquema de *cumulus*** - Kain-Fritsch [51]

Neste trabalho não foi estudada a configuração ótima para a mesoescala, pelo que os esquemas listados foram selecionados com base em bons resultados que revelaram em estudos passados.

4.1.2 Considerações Gerais

No início do desenvolvimento de um novo procedimento de acoplamento OpenFOAM-WRF, foram efetuadas alterações à nomenclatura utilizada para as fronteiras no capítulo anterior, uma vez que, em simulações com acoplamento, nenhuma das fronteiras terá só entrada ou saída de fluido no domínio computacional. Neste tipo de análise, procedeu-se também à alteração da condição de simetria às fronteiras onde esta tinha sido atribuída. As alterações efetuadas estão sintetizadas na tabela 4.1:

Tabela 4.1 – Nomenclatura das fronteiras para os dois tipos de análise

Sem acoplamento		Com acoplamento	
Nome da Fronteira	Atributo	Nome da Fronteira	Atributo
<i>ground</i>	wall	<i>ground</i>	wall
<i>inlet</i>	patch	<i>west</i>	patch
<i>outlet</i>	patch	<i>east</i>	patch
<i>front</i>	symmetryPlane	<i>south</i>	patch
<i>back</i>	symmetryPlane	<i>north</i>	patch
<i>sky</i>	symmetryPlane	<i>sky</i>	patch

Foram implementadas alterações aos códigos FORTRAN referidos no capítulo anterior, `write_blockMeshDict.f90` e `write_z0.f90`, para fazerem uso desta nomenclatura para as simulações acopladas.

4.1.3 Abordagem Inicial

Para a realização de simulações CFD de escoamentos atmosféricos neutralmente estratificados com condições de fronteira de modelos de mesoescala, foram elaborados códigos em linguagem *Python* que recebem ficheiros no formato netCDF (*Network Common Data Form*) do modelo meteorológico WRF ou de um código que faz parte do WINDIE, o `wrfmean.f90`. Este último código compila os resultados de uma simulação WRF num período temporal definido e retorna como *output* resultados médios para cada direção de vento, também no formato netCDF.

O códigos *Python* desenvolvidos neste trabalho lêem os outputs netCDF, fazem tratamento dos dados como a conversão das coordenadas de latitude e longitude para o sistema UTM e a sua transformação para a malha no OpenFOAM, centrada no ponto $x = 0$ e $y = 0$. Seguidamente, os resultados do WRF são aplicados às cinco fronteiras do domínio de microescala.

Numa primeira abordagem pretendeu-se fazer uma simulação OpenFOAM transiente com condições de fronteira a variar no tempo retiradas do WRF. Esta abordagem consistiu na leitura dos resultados do WRF e aplicação direta dos resultados nas cinco fronteiras, pois o OpenFOAM executa interpolações trilineares aquando do uso da condição de fronteira `timeVaryingMappedFixedValue`. Esta condição de fronteira permite especificar valores mapeados de velocidade ou outras quantidades em cada uma das fronteiras, quer estejam estes com a mesma resolução da malha do OpenFOAM ou não.

O código de acoplamento desenvolvido faz a transformação das coordenadas e das componentes u e v da velocidade da mesoescala para o sistema local do OpenFOAM. Após a execução das interpolações para as fronteiras do OpenFOAM, os dados são escritos em ficheiros de texto de acordo com o formato requerido pelo OpenFOAM na pasta `constant`, de acordo com a seguinte estrutura de diretórios e ficheiros:

```
'--- constant/
  '--- boundaryData/
    '--- east/
      ' -- 0/
        -- U
        -- k
      ' -- points
    '--- north/
      ' -- 0/
        -- U
        -- k
      ' -- points
    '--- sky/
      ' -- 0/
        -- U
        -- k
      ' -- points
    '--- south/
      ' -- 0/
        -- U
        -- k
      ' -- points
    '--- west/
      ' -- 0/
        -- U
        -- k
      ' -- points
```

Os ficheiros `U` e `k` contêm valores das três componentes de velocidade e da energia cinética da turbulência, respetivamente. O ficheiro `points` contém as coordenadas x , y e z dos pontos onde estão especificados os valores dessas quantidades, respeitando a mesma ordem de escrita. Estes ficheiros são introduzidos em diretórios que devem ter o nome da fronteira correspondente.

Se a simulação for em regime transiente e existir variação das condições de fronteira ao longo do tempo, há a possibilidade de as especificar para múltiplos instantes de tempo, usando o mesmo método, mas gerando diretórios cujo nome é dado pelos instantes de tempo correspondentes e que contêm os dados associados a cada um desses instantes.

4.1.4 Problema da conservação da massa e regularização dos fluxos

No arranque de uma simulação OpenFOAM, o *software* verifica a conservação da massa através do código `adjustPhi.C` [52], assim, não foi possível o arranque de uma simulação acoplada com a primeira abordagem descrita anteriormente, devido à existência de uma diferença considerável entre fluxo total de entrada e o fluxo total de saída.

Para contornar este problema, foi necessário acrescentar ao algoritmo de acoplamento desenvolvido neste trabalho:

- A leitura da malha do OpenFOAM com recurso ao módulo `fluidfoam`, disponível para *Python*;
- A programação de uma subrotina para efetuar interpolações trilineares da malha do WRF especificamente para o centro dos volumes de controlo nas 5 fronteiras da malha do OpenFOAM, com recurso à função `griddata` do módulo `scipy` [53];
- Alterações ao código da função `readmesh` do módulo `fluidfoam`, para calcular a área de cada volume de controlo nas fronteiras;
- Cálculo dos fluxos em cada fronteira e regularização dos mesmos para respeitar a conservação da massa, como descrito de seguida.

Com os valores das componentes da velocidade especificados nos centros dos volumes de controlo e a área da superfície perpendicular associada, o código calcula o fluxo em cada volume de controlo nas fronteiras, com o propósito de obter um valor de fluxo total por fronteira e posteriormente equilibrar esses fluxos, para respeitar a conservação da massa. Os fluxos em cada uma das fronteiras são obtidos a partir de,

$$\begin{cases} \sum \dot{Q}_{\text{west}} = \sum (u_{\text{west}} \times A_{\text{west}}) \\ \sum \dot{Q}_{\text{east}} = \sum (u_{\text{east}} \times A_{\text{east}}) \\ \sum \dot{Q}_{\text{north}} = \sum (v_{\text{north}} \times A_{\text{north}}) \\ \sum \dot{Q}_{\text{south}} = \sum (v_{\text{south}} \times A_{\text{south}}) \\ \sum \dot{Q}_{\text{sky}} = \sum (w_{\text{sky}} \times A_{\text{sky}}) , \end{cases} \quad (4.1)$$

seguidamente, o fluxo máximo é calculado de acordo com:

$$\dot{Q}_{\text{max}} = \max \left(\left| \sum \dot{Q}_{\text{west}} \right|, \left| \sum \dot{Q}_{\text{east}} \right|, \left| \sum \dot{Q}_{\text{north}} \right|, \left| \sum \dot{Q}_{\text{south}} \right|, \left| \sum \dot{Q}_{\text{sky}} \right| \right). \quad (4.2)$$

Para regularizar os fluxos, foi definido um fator de correção F , que é essencialmente um fator de multiplicação que deve ser aplicado às velocidades na fronteira de maior fluxo e é calculado através da equação 4.3:

$$\begin{cases} F = \frac{-(-\sum \dot{Q}_{\text{east}} + \sum \dot{Q}_{\text{south}} - \sum \dot{Q}_{\text{north}} - \sum \dot{Q}_{\text{sky}})}{\sum \dot{Q}_{\text{west}}}, & \text{se } \dot{Q}_{\text{max}} = \left| \sum \dot{Q}_{\text{west}} \right| \\ F = \frac{\sum \dot{Q}_{\text{west}} + \sum \dot{Q}_{\text{south}} - \sum \dot{Q}_{\text{north}} - \sum \dot{Q}_{\text{sky}}}{\sum \dot{Q}_{\text{east}}}, & \text{se } \dot{Q}_{\text{max}} = \left| \sum \dot{Q}_{\text{east}} \right| \\ F = \frac{\sum \dot{Q}_{\text{west}} + \sum \dot{Q}_{\text{south}} - \sum \dot{Q}_{\text{east}} - \sum \dot{Q}_{\text{sky}}}{\sum \dot{Q}_{\text{north}}}, & \text{se } \dot{Q}_{\text{max}} = \left| \sum \dot{Q}_{\text{north}} \right| \\ F = \frac{-(\sum \dot{Q}_{\text{west}} - \sum \dot{Q}_{\text{east}} - \sum \dot{Q}_{\text{north}} - \sum \dot{Q}_{\text{sky}})}{\sum \dot{Q}_{\text{south}}}, & \text{se } \dot{Q}_{\text{max}} = \left| \sum \dot{Q}_{\text{south}} \right| \\ F = \frac{(\sum \dot{Q}_{\text{west}} - \sum \dot{Q}_{\text{east}} - \sum \dot{Q}_{\text{north}} + \sum \dot{Q}_{\text{south}})}{\sum \dot{Q}_{\text{sky}}}, & \text{se } \dot{Q}_{\text{max}} = \left| \sum \dot{Q}_{\text{sky}} \right|. \end{cases} \quad (4.3)$$

O fator de correção é depois aplicado à fronteira de maior fluxo de acordo com a equação 4.4:

$$\begin{cases} u_{\text{west,corr}} = u_{\text{west}} \times F, & \text{se } \dot{Q}_{\text{max}} = \left| \sum \dot{Q}_{\text{west}} \right| \\ u_{\text{east,corr}} = u_{\text{east}} \times F, & \text{se } \dot{Q}_{\text{max}} = \left| \sum \dot{Q}_{\text{east}} \right| \\ v_{\text{north,corr}} = v_{\text{north}} \times F, & \text{se } \dot{Q}_{\text{max}} = \left| \sum \dot{Q}_{\text{north}} \right| \\ v_{\text{south,corr}} = v_{\text{south}} \times F, & \text{se } \dot{Q}_{\text{max}} = \left| \sum \dot{Q}_{\text{south}} \right| \\ w_{\text{sky,corr}} = w_{\text{sky}} \times F, & \text{se } \dot{Q}_{\text{max}} = \left| \sum \dot{Q}_{\text{sky}} \right|. \end{cases} \quad (4.4)$$

Esta metodologia permitiu equilibrar os fluxos, e praticamente anular a diferença entre o fluxo de entrada e o fluxo de saída. No entanto, mesmo assim, não foi possível arrancar uma simulação acoplada devido à pequena tolerância definida no código `adjustPhi.C`. A alteração dessa tolerância e recompilação do OpenFOAM permitiu arrancar a simulação mas problemas de convergência apareceram rapidamente.

4.1.5 Condições de fronteira

O passo seguinte para resolver o problema consistiu na alteração às condições de fronteira da pressão, que estavam até aqui definidas como gradiente nulo em todas as fronteiras.

O critério adotado consistiu em dar alguma liberdade ao modelo, definindo pressão zero em toda a fronteira onde se verifica o maior fluxo, já considerando as correções aos fluxos referidas no capítulo anterior. Desta forma, conseguiu-se contornar o problema que até aqui tinha impedido as simulações de arrancar. No entanto, esta abordagem é válida apenas para simulações acopladas em estado estacionário. No caso de simulações acopladas em regime transiente, as condições de fronteira provenientes de modelos de mesoescala também variam no tempo e, conseqüentemente, a fronteira onde ocorre o maior fluxo também irá variar.

Para contornar esta dificuldade, recorreu-se a outra estratégia em que foram realizadas simulações estacionárias acopladas com resultados provenientes do código `wrfmean.f90`, cuja função foi a leitura dos campos obtidos de uma simulação transiente do WRF para cada instante de tempo. De acordo com a direção de vento obtida na localização do mastro 1 a 81 m ANS, o código atribui o campo de velocidades e de outras quantidades desse instante de tempo a essa direção. Posteriormente, é calculada a média dos campos obtidos mediante intervalos definidos de filtragem, determinando assim campos médios representativos das condições para cada direção.

Foi adicionado ao algoritmo de acoplamento desenvolvido neste trabalho, a escrita do ficheiro `p`, para que as condições de fronteira da pressão sejam definidas em função da fronteira onde há maior fluxo automaticamente para cada caso de estudo e para cada direção. O código de acoplamento pode ser consultado no Apêndice C.

Esta abordagem difere substancialmente da primeira, procurando-se agora simulações estacionárias, cada uma usando condições de fronteira representativas das condições médias dessa direção.

4.2 Resultados

4.2.1 Configurações do conjunto final de simulações

O conjunto final de simulações acopladas também foi realizado para 12 direções de vento e o critério adotado para a sua configuração foi que os parâmetros da malha de cálculo utilizados nas simulações do capítulo anterior fossem mantidos se possível. No entanto, para as direções 180° e 210° surgiram problemas de convergência, o que levou à diminuição da resolução da malha de cálculo para essas direções. A configuração dos parâmetros associados à malha de cálculo para as simulações com acoplamento foi a seguinte:

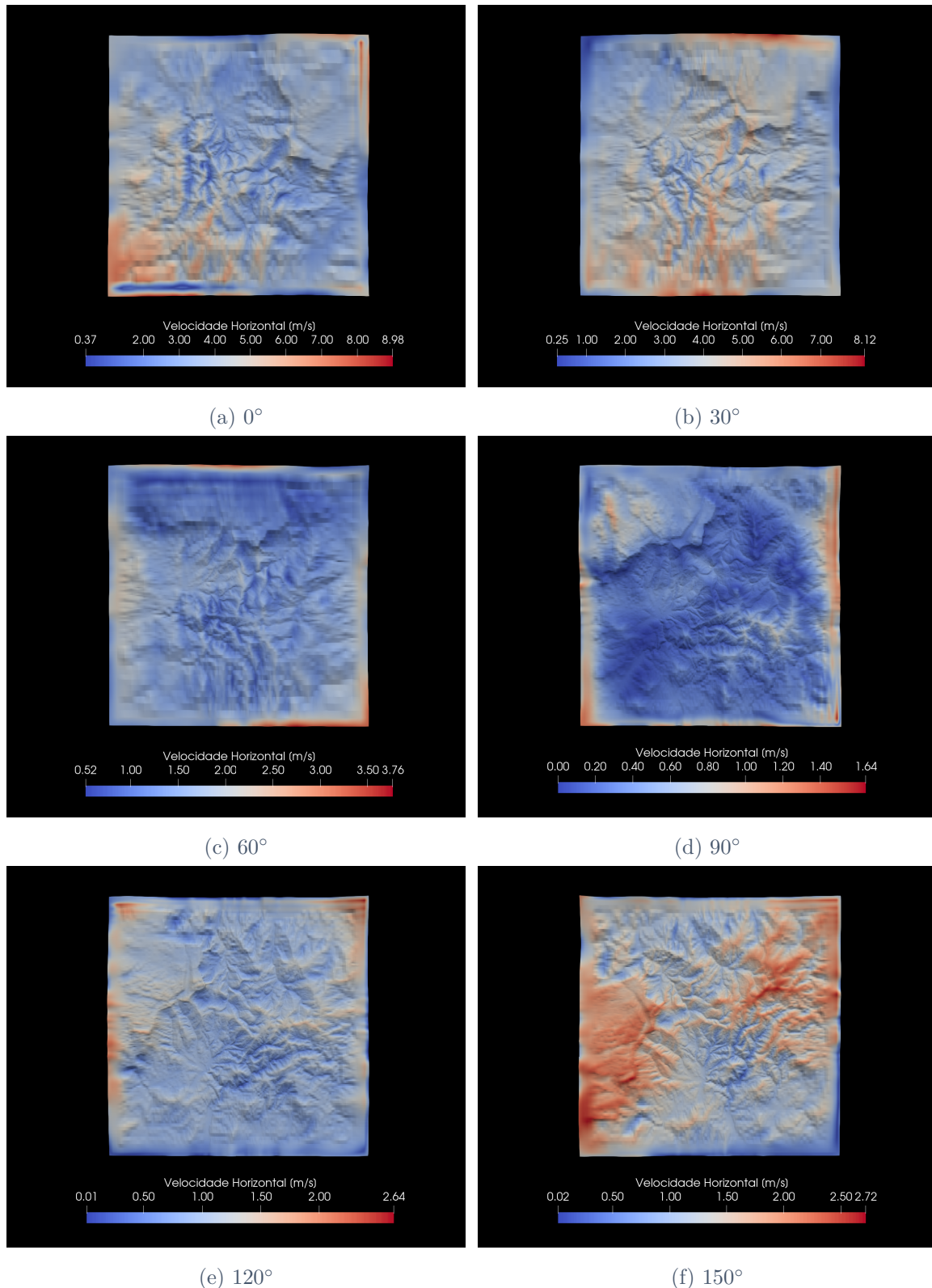
- $x_{\max} = y_{\max} = 15000$ m, para todas as direções;
- $x_{\min} = y_{\min} = -15000$ m, para todas as direções;
- $sky = 5500$ m, para todas as direções.

Tabela 4.2 – Configurações do conjunto final de simulações com acoplamento

Direção ($^\circ$)	nig	njg	nz	cofx	cofy	R	npassfilter	alphalayer
0	100	100	80	150	150	100	10	3000
30	100	100	80	150	150	100	10	3000
60	100	100	80	150	150	100	10	3000
90	256	256	100	50	50	100	10	3000
120	256	256	100	50	50	100	10	3000
150	256	256	100	50	50	100	10	3000
180	140	140	80	100	100	100	10	3000
210	140	140	80	100	100	100	10	3000
240	100	100	80	150	150	100	10	3000
270	256	256	100	50	50	100	10	3000
300	256	256	100	50	50	100	10	3000
330	256	256	100	50	50	100	10	3000

4.2.2 Modelo numérico

Para a visualização dos resultados do modelo numérico, foi utilizada a mesma metodologia descrita na secção 3.3.2, onde se retirou do modelo 3D uma amostra do campo de velocidades numa superfície que segue o terreno a 102.5 m.



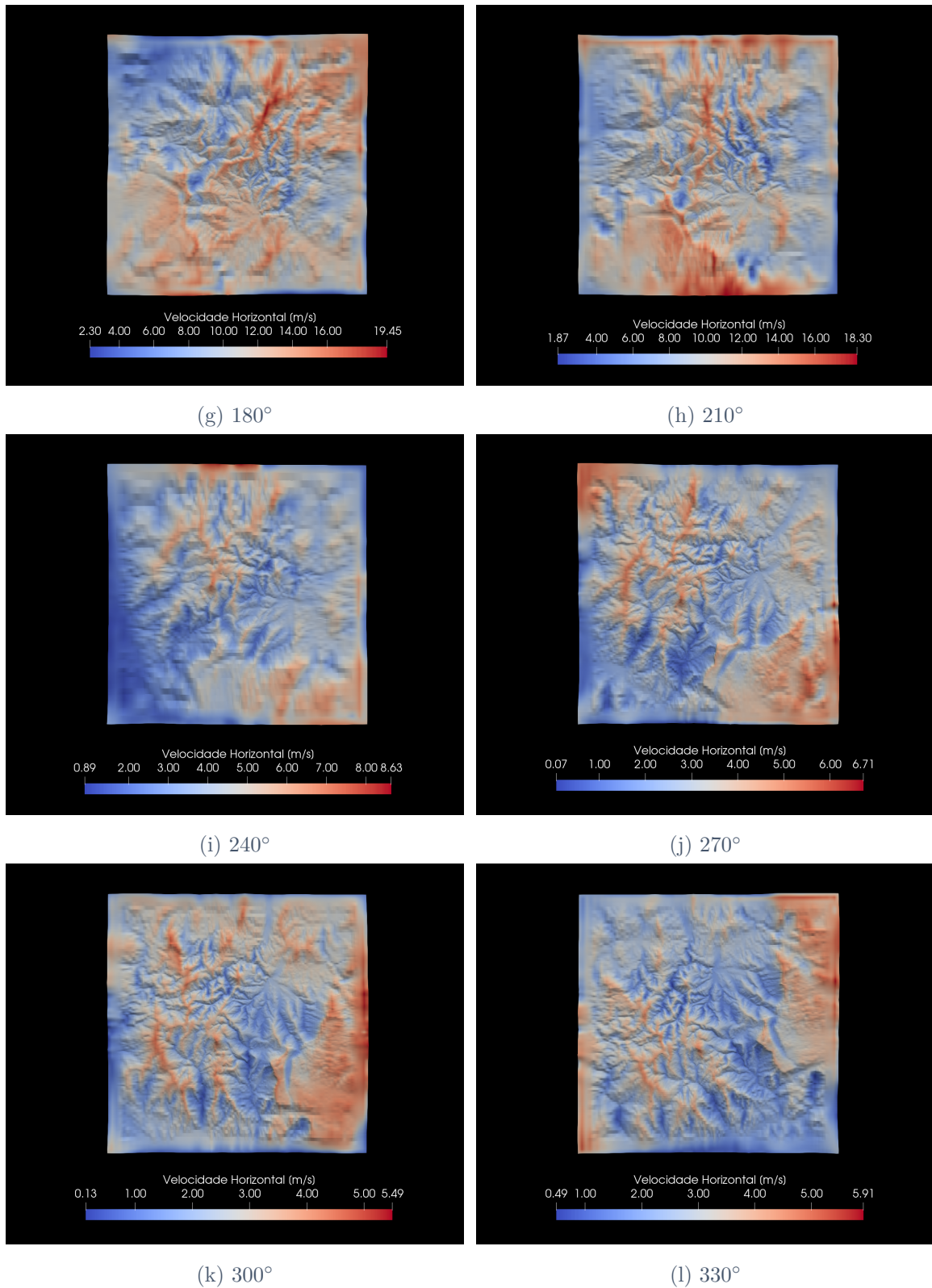


Figura 4.1 – Magnitude de velocidade horizontal para as 12 direções de vento simuladas com acoplamento

4.3 Pós-processamento

4.3.1 Validação do modelo

O procedimento para validação do modelo segue o mesmo raciocínio que foi adotado para efetuar as validações no capítulo anterior (ver 3.4.1), para avaliar a capacidade do modelo de transportar os resultados na vertical e na horizontal. Nas tabelas seguintes apresentam-se os resultados obtidos, para as simulações com acoplamento.

Tabela 4.3 – Validações na vertical usando o mastro 1 a 81 m ANS como referência

Altura ANS [m]		Velocidade [m/s]		Desvio Percentual
Origem	Destino	Medições	Simulações	
81 (Mastro 1)	76 (Mastro 1)	7.0748	7.2175	+1.9771 %
81 (Mastro 1)	55 (Mastro 1)	7.0301	7.1897	+2.2198 %
81 (Mastro 1)	35 (Mastro 1)	6.1450	7.0433	+12.7540 %

Tabela 4.4 – Validações na vertical usando o mastro 1 a 76 m ANS como referência

Altura ANS [m]		Velocidade [m/s]		Desvio Percentual
Origem	Destino	Medições	Simulações	
76 (Mastro 1)	81 (Mastro 1)	7.2494	7.1062	-2.0151 %
76 (Mastro 1)	55 (Mastro 1)	7.0301	7.0477	+0.2497 %
76 (Mastro 1)	35 (Mastro 1)	6.1450	6.9490	+11.5700 %

Tabela 4.5 – Validações na vertical usando o mastro 1 a 55 m ANS como referência

Altura ANS [m]		Velocidade [m/s]		Desvio Percentual
Origem	Destino	Medições	Simulações	
55 (Mastro 1)	81 (Mastro 1)	7.2494	7.1632	-1.2034 %
55 (Mastro 1)	76 (Mastro 1)	7.0748	7.1336	+0.8243 %
55 (Mastro 1)	35 (Mastro 1)	6.1450	6.9042	+10.9962 %

Tabela 4.6 – Validações na vertical usando o mastro 1 a 35 m ANS como referência

Altura ANS [m]		Velocidade [m/s]		Desvio Percentual
Origem	Destino	Medições	Simulações	
35 (Mastro 1)	81 (Mastro 1)	7.2494	6.3804	-13.6198 %
35 (Mastro 1)	76 (Mastro 1)	7.0748	6.3548	-11.3300 %
35 (Mastro 1)	55 (Mastro 1)	7.0301	6.2398	-12.6655 %

Com base nos resultados obtidos para as validações na vertical nas simulações com acoplamento, conclui-se que a dificuldade de o modelo prever o comportamento do escoamento junto ao solo é ainda maior relativamente ao modelo sem acoplamento. No entanto, a alturas mais elevadas, o modelo com acoplamento revelou uma melhor capacidade de transporte na vertical. Este tópico será explorado em mais detalhe no capítulo 4.4.

Tabela 4.7 – Validações na horizontal usando medições de anemómetros das duas estações a alturas ANS semelhantes

Altura ANS [m]		Velocidade [m/s]		Desvio Percentual
Origem	Destino	Medições	Simulações	
55 (Mastro 1)	60 (Mastro 2)	6.4843	6.6886	+3.0545 %
60 (Mastro 2)	55 (Mastro 1)	7.0301	6.9846	-0.6514 %

Foi na capacidade do modelo com acoplamento transportar a série medida na horizontal que se verificou uma melhoria bastante significativa em relação ao modelo sem acoplamento, com base na análise às tabelas 3.11 e 4.7. Um resumo estatístico da capacidade de transporte dos dois modelos será apresentada no capítulo 4.4.

4.3.2 Frequências e velocidades de vento obtidas por direção nas turbinas

Foi adotado o mesmo processo de pós-processamento já descrito na secção 3.4 do capítulo anterior, para o transporte da série medida pelo mastro 1 para as localizações das turbinas e para uma grelha definida de pontos. Os resultados obtidos para a frequência e velocidade filtrados por direção em intervalos de 30° estão representados nas figuras 4.2 e 4.3, respetivamente.

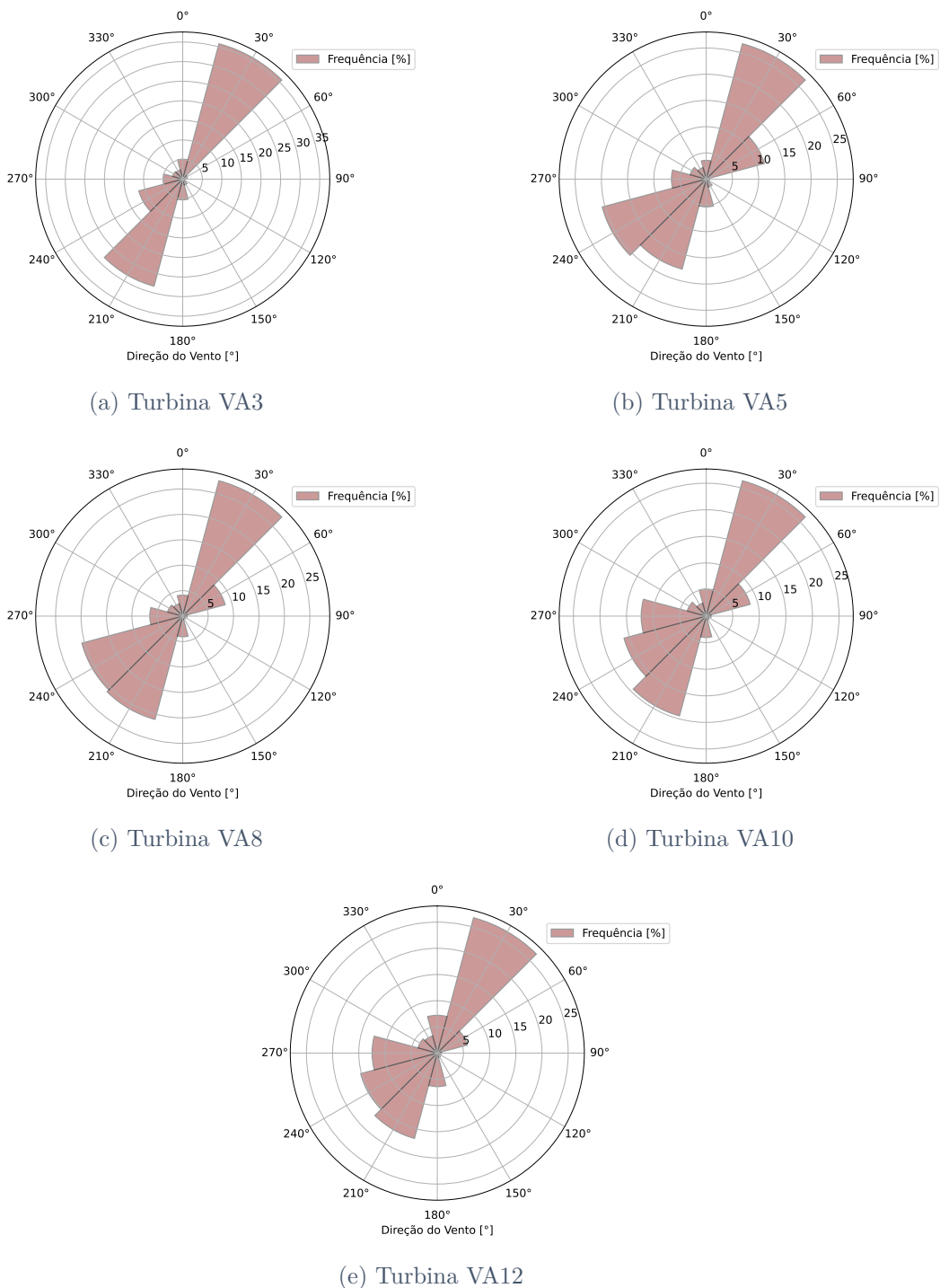
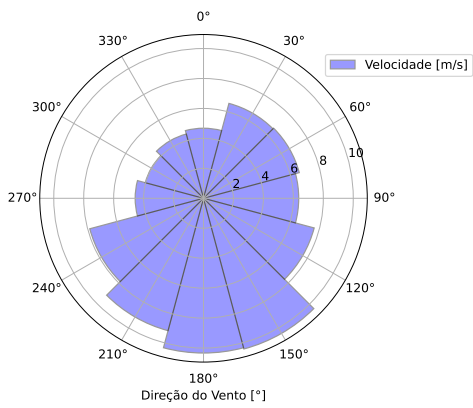
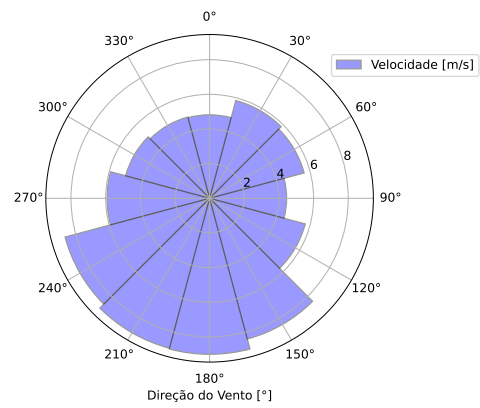


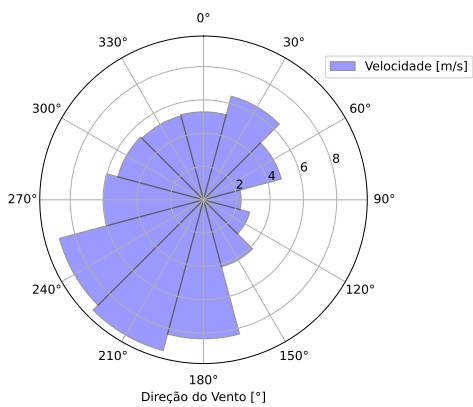
Figura 4.2 – Gráficos polares de frequência por direção obtidos nas localizações das turbinas



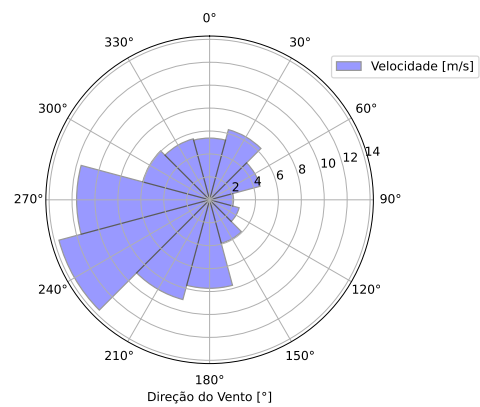
(a) Turbina VA3



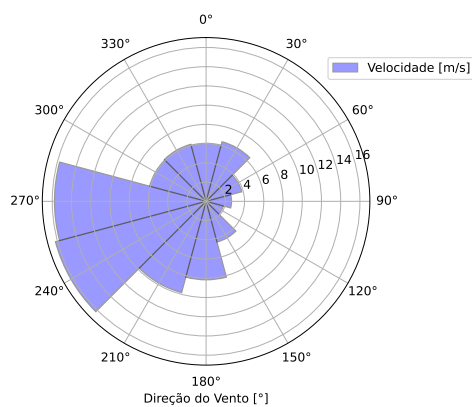
(b) Turbina VA5



(c) Turbina VA8



(d) Turbina VA10



(e) Turbina VA12

Figura 4.3 – Gráficos polares de velocidade por direção obtidos nas localizações das turbinas

4.3.3 Velocidade do vento numa grelha definida de pontos

Também foi efetuado o transporte da série medida pelo mastro 1 a 81 m ANS para uma grelha definida de pontos, utilizando as simulações acopladas (ver figura 4.4). Na tabela 4.8 está indicada a velocidade média da série transportada para cada uma das localizações das turbinas.

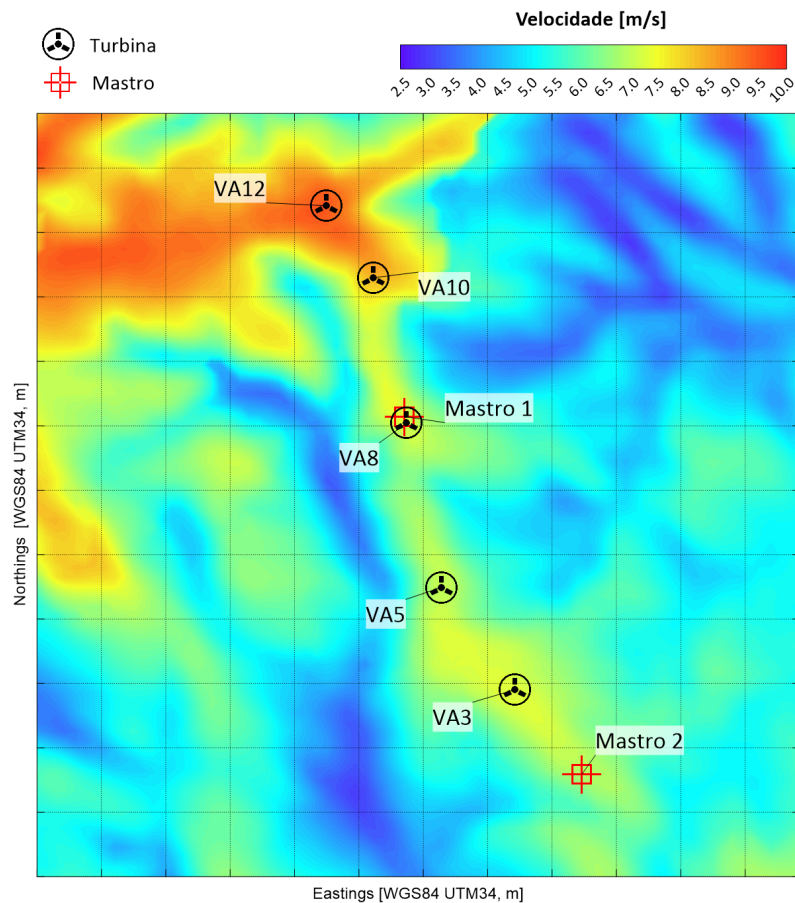


Figura 4.4 – Mapa de velocidades numa grelha de pontos (resolução de 75 m)

Tabela 4.8 – Valores da velocidade média da série transportada para cada turbina

Turbina	Altura do terreno [m]	Velocidade [m/s]
VA3	1170	7.3965
VA5	1298	7.0674
VA8	1400	7.3004
VA10	1470	8.4127
VA12	1520	9.4860

4.4 Discussão de resultados

Por análise aos resultados das validações do modelo aos dois tipos de análise neste caso de estudo, concluiu-se que os ambos os modelos revelaram alguma dificuldade em prever o perfil vertical de velocidades em alturas mais próximas do terreno. No modelo com acoplamento, verificou-se uma amplificação deste erro. A diferença observada entre os resultados medidos e os resultados das simulações em cotas ANS mais baixas pode dever-se à ausência de um modelo de floresta que, se incluído, iria permitir uma modelação mais precisa do comportamento do escoamento junto ao terreno. A diferença mais significativa entre os modelos é que o uso de acoplamento revelou uma melhor capacidade de transportar resultados medidos na horizontal, por análise às tabelas 3.11 e 4.7.

Para uma avaliação mais assertiva tendo em conta o que se pretende com o desenvolvimento destes modelos, foi efetuada uma outra análise aos valores de desvio percentual obtidos, introduzindo o conceito matemático de RMS (*Root Mean Square*). O objetivo foi comparar um valor representativo do erro global para os dois tipos de análise, tendo ou não em consideração as medições a 35 m ANS, uma vez que o erro no transporte a cotas mais elevadas é mais representativo do que se espera obter no transporte da série medida para a localização das turbinas. Também foi calculado o RMS para as validações horizontais e para os dois tipos de validações, este último também tendo ou não em conta as medições a 35 m ANS.

Tabela 4.9 – Valor RMS dos desvios percentuais das validações verticais

	Sem acoplamento	Com acoplamento
RMS (incluindo medições a 35 m ANS)	4.0536 %	8.6930 %
RMS (excluindo medições a 35 m ANS)	2.4371 %	1.5857 %

Tabela 4.10 – Valor RMS dos desvios percentuais das validações horizontais

	Sem acoplamento	Com acoplamento
RMS	8.1049 %	2.2084 %

Tabela 4.11 – Valor RMS dos desvios percentuais dos dois tipos de validações

	Sem acoplamento	Com acoplamento
RMS (incluindo medições a 35 m ANS)	4.8445 %	8.0913 %
RMS (excluindo medições a 35 m ANS)	4.5691 %	1.7622 %

Esta análise leva à conclusão de que o modelo com acoplamento também tem melhor capacidade quando são transportados resultados da série medida na vertical em cotas mais elevadas, um aspeto importante tendo em conta que o último objetivo é transportar a série medida pelos anemómetros mais altos para a altura do eixo das turbinas.

Para facilitar a comparação entre os dois modelos, a tabela 4.12 contém a velocidade média obtida das séries transportadas para as turbinas com os dois tipos de análise:

Tabela 4.12 – Valores da velocidade média da série transportada para cada turbina e para os dois tipos de análise

Turbina	Altura do terreno [m]	Velocidade [m/s]	
		Sem acoplamento	Com acoplamento
VA3	1170	7.4635	7.3965
VA5	1298	7.1909	7.0674
VA8	1400	7.3352	7.3004
VA10	1470	6.7456	8.4127
VA12	1520	6.4474	9.4860

Por contraste ao modelo sem acoplamento, o modelo com acoplamento revela que a velocidade do vento é superior nas turbinas VA10 e VA12, o que seria expectável por estarem localizadas a cotas superiores. Conclui-se ainda que no modelo com acoplamento existe uma forte correlação entre a velocidade e a cota do terreno, como é possível visualizar nas figuras 4.5 e 4.6, retiradas dos resultados do modelo numérico.

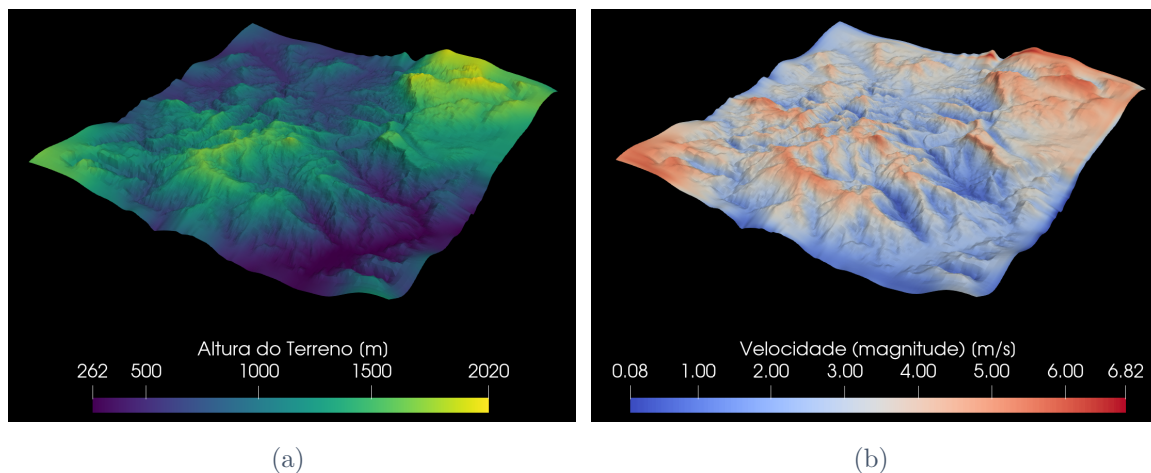


Figura 4.5 – Altura do terreno (a) e magnitude de velocidade numa superfície 102.5 m ANS (b)

No modelo com acoplamento, verificou-se velocidades significativamente baixas nas direções 90°, 120° e 150°, o que é coerente com os dados medidos mas levou a alguma incerteza da solução produzida pelo modelo numérico para essas direções. Por esse motivo, no âmbito da avaliação do recurso eólico, foi efetuada uma análise adicional que consistiu em substituir, para essas direções, os resultados da análise com acoplamento pelos resultados da análise sem acoplamento. Nessa análise mista, foram obtidos desvios percentuais superiores nas validações do modelo. Assim, optou-se pela utilização dos resultados do modelo com acoplamento para todas as direções.

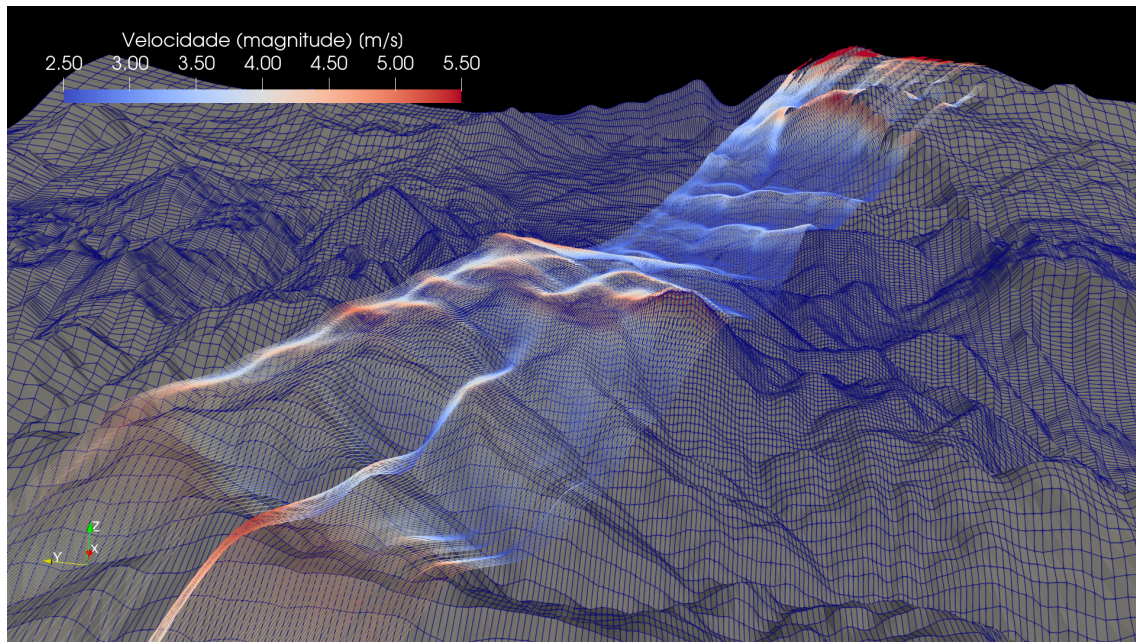


Figura 4.6 – Linhas de corrente na cumeada das turbinas

Mesmo no modelo com acoplamento verificou-se uma velocidade superior na turbina com cota de terreno mais baixa (VA3), quando comparada com as turbinas VA5 e VA8, o que reforça a conclusão já retirada no modelo sem acoplamento de que pode existir um efeito de canalização do escoamento de vento para a turbina VA3, devido à orografia do terreno.

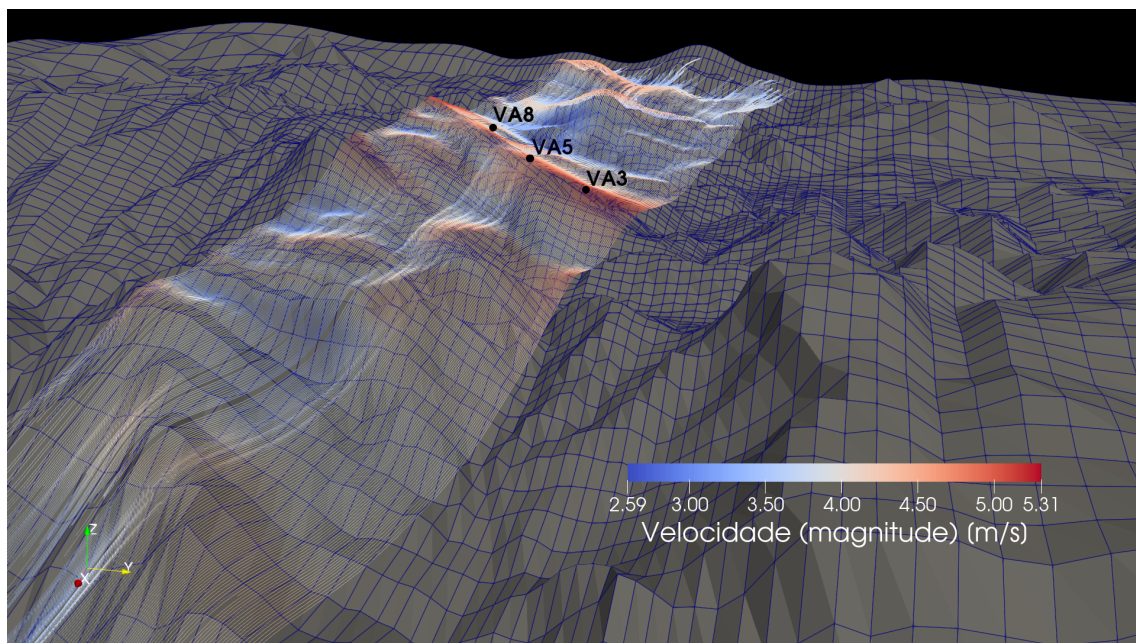


Figura 4.7 – Linhas de corrente nas turbinas VA3, VA5 e VA8

5 Conclusão

5.1 Conclusões finais

Nesta dissertação foram desenvolvidas novas metodologias para a simulação de escoamentos atmosféricos sobre terreno real com condições de fronteira de modelos de mesoescala e avaliação do recurso eólico, através do desenvolvimento de código em *Python*. Os procedimentos desenvolvidos foram implementados num caso de estudo real onde foram simulados escoamentos atmosféricos sobre terreno de complexidade muito elevada.

O modelo com acoplamento trouxe uma considerável redução no erro do transporte da série medida na horizontal com uma redução em cerca de 75 % no erro RMS das previsões cruzadas (de 8.1 % para 2.2 %). Indica-se que para efetuar as validações horizontais, foram usados períodos de medição diferentes que podem influenciar os resultados do desvio percentual obtido. Contudo, uma análise dos desvios face ao longo-termo dos períodos de medição dos mastros, sugere que a redução do erro produzido pelo acoplamento seria até amplificada, se os períodos fossem simultâneos.

Quanto à previsão do perfil vertical por parte dos modelos, ambos produziram erros significativos quando usada a altura de medição mais baixa, algo que provavelmente é devido ao facto de a floresta ter sido modelada usando apenas rugosidade. Contudo, usando os anemómetros mais altos, o acoplamento também trouxe reduções no erro dessas previsões (descida do erro RMS de 2.4 % para 1.6 %), sugerindo que o erro no transporte para a altura de eixo das turbinas terá uma redução de magnitude similar.

Observou-se que, neste caso, o uso de acoplamento teria inflacionado o valor das estimativas de produção do parque eólico e trazido uma redução na incerteza dessas estimativas. Contudo, não se pode assumir que as conclusões seriam necessariamente as mesmas noutro local. Para avaliar esse facto, teria sido necessário implementar os procedimentos de acoplamento desenvolvidos em outros casos de estudo, como

era pretendido nas fases iniciais do desenvolvimento deste trabalho.

A execução do código *Python* desenvolvido neste trabalho revelou elevada demanda computacional, especialmente na leitura das malhas de cálculo de maior resolução com recurso ao módulo `fluidfoam` e no transporte dos resultados de uma série medida para grelhas com um número significativamente elevado de pontos, mesmo com a implementação de paralelização no código. Tais factos sugerem a implementação e teste de outra metodologia para leitura das malhas de cálculo ou o desenvolvimento de código em outras linguagens de programação.

5.2 Trabalho futuro

Na presente secção, são propostos temas a desenvolver no que diz respeito à utilização do OpenFOAM para simulação de escoamentos atmosféricos sobre terreno real e avaliação de recurso eólico.

1. Incluir um modelo de floresta com o objetivo de obter um perfil de velocidades mais representativo do escoamento junto ao terreno;
2. Avaliar o desempenho dos dois modelos no transporte da turbulência medida para as turbinas e estudar alternativas ao modelo $k - \varepsilon$;
3. Estender a produção de resultados nos aerogeradores a quantidades de *site assessment* como intensidade de turbulência, *shear factor* ou inclinação vertical do escoamento;
4. No que diz respeito à avaliação do recurso eólico, estimar a produção nos aerogeradores através da análise da respetiva curva de desempenho e considerar o efeito de esteira das turbinas no OpenFOAM ou em pós-processamento;
5. Considerar os efeitos térmicos em simulações CFD de escoamentos atmosféricos sobre terreno real, com recurso aos *solvers* `buoyantBoussinesqSimpleFoam` para simulações em regime estacionário ou `buoyantBoussinesqPimpleFoam` para simulações em regime transiente e do acoplamento com resultados provenientes de uma simulação precursora de mesoescala como a temperatura do ar e fluxo de calor no terreno, permitindo assim a simulação de escoamentos atmosféricos estratificados e a modelação da instabilidade atmosférica;
6. Elaborar um modelo de acoplamento que permita a simulação de escoamentos atmosféricos em regime transiente;
7. Aplicar os procedimentos desenvolvidos neste trabalho a outros casos de estudo.

Referências Bibliográficas

- [1] “Wind energy industry-standard software - WAsP,” acessado a 17 de Dezembro de 2022. [Online]. Available: <https://www.wasp.dk/>
- [2] F. A. Castro, C. S. Santos, and J. C. L. da Costa, “One-way mesoscale-microscale coupling for the simulation of atmospheric flows over complex terrain,” *Wind Energy*, vol. 18, pp. 1251–1272, 7 2015. [Online]. Available: <https://doi.org/10.1002/we.1758>
- [3] C. S. Santos, “Energias Renováveis e Ambiente (MEM) : Módulo de Energia Eólica. Apontamentos das Aulas Teóricas,” Mestrado em Engenharia Mecânica, ISEP, 2022.
- [4] “Weather Research & Forecasting Model (WRF) | Mesoscale & Microscale Meteorology Laboratory,” acessado a 30 de Dezembro de 2022. [Online]. Available: <https://www.mmm.ucar.edu/models/wrf>
- [5] “OpenFOAM | Free CFD Software | The OpenFOAM Foundation,” acessado a 26 de Dezembro de 2022. [Online]. Available: <https://openfoam.org/>
- [6] J. M. Azevedo, “Development of procedures For The Simulation of Atmospheric Flows Over Complex Terrain, using OpenFOAM (MSc thesis),” ISEP, Portugal, 2013.
- [7] R. B. Stull, *An Introduction to Boundary Layer Metereology*. Kluwer Academic Publishers, 1998.
- [8] J. Berg, M. Kelly, J. Mann, and M. Nielsen, *DTU 46100: Introduction to Micrometeorology for WindEnergy. DTU Wind Energy. DTU Wind Energy E No. E-0232*. DTU, Risø Campus/Lab, 2022.
- [9] M. Z. Jacobson, *Fundamentals of Atmospheric Modeling*. Cambridge University Press, 2005.
- [10] E. Leblebici, “Unsteady Atmospheric Flow Solutions With OpenFOAM Coupled With the Numerical Weather Prediction Software WRF (PhD thesis),” Middle East Technical University, Turkey, 2018.

-
- [11] T. R. Oke, *Boundary Layer Climates, 2nd ed.* Methuen: London and New York, 1987.
- [12] S. P. Arya, *Introduction to Micrometeorology Second Edition.* Academic Press, 2001.
- [13] F. A. Castro, “Métodos Numéricos Para A Simulação De Escoamentos Atmosféricos Sobre Topografia Complexa (PhD thesis),” FEUP, Portugal, 1997.
- [14] F. R. Martins, R. A. Guarnieri, and E. B. Pereira, “O aproveitamento da energia eólica,” *Revista Brasileira de Ensino de Física*, vol. 30, 2008.
- [15] G. L. Johnson, *Wind Energy Systems.* Kansas State University, 2006.
- [16] I. Hussain, A. Haider, Z. Ullah, M. Russo, G. M. Casolino, and B. Azeem, “Comparative analysis of eight numerical methods using weibull distribution to estimate wind power density for coastal areas in pakistan,” *Energies*, vol. 16, 2 2023.
- [17] P. Jackson and J. Hunt, “Turbulent wind flow over a low hill,” *Quarterly Journal of the Royal Meteorological Society*, vol. 101, pp. 929–955, 1975. [Online]. Available: <https://doi.org/10.1002/qj.49710143015>
- [18] P. Sanderhoff, *PARK- User’s Guide. A PC-program for calculation of wind turbine park performance.* Risø National Laboratory. Risø-I No. 668(EN), 1993.
- [19] J. H. Ferziger and M. Perić, *Computational Methods for Fluid Dynamics, 3rd ed.* Springer, 2002. [Online]. Available: <https://doi.org/10.1007/978-3-642-56026-2>
- [20] F. A. Castro and C. S. Santos, *Mecânica dos Fluidos Computacional.* ISEP, 2021.
- [21] F. M. White, *Fluid Mechanics, 7th ed.* Mcgraw-Hill, 2011.
- [22] S. B. Pope, *Turbulent Flows.* Cambridge University Press, 2000.
- [23] P. Moin and K. Mahesh, “Direct numerical simulation: A tool in turbulence research,” *Annual Review of Fluid Mechanics*, vol. 30, pp. 539–578, 1998.
- [24] A. S. Lopes, J. M. L. M. Palma, and F. A. Castro, “Simulation of the Askervein flow. Part 2: Large-eddy simulations,” *Boundary-Layer Meteorology*, vol. 125, pp. 85–108, 10 2007. [Online]. Available: <https://doi.org/10.1007/s10546-007-9195-4>
- [25] J. Boussinesq, *Essai sur la théorie des eaux courantes, Mémoires présentés par divers savants à l’Académie des Sciences XXIII (1).* Imprimerie Nationale, 1877.

-
- [26] F. G. Schmitt, “About Boussinesq’s turbulent viscosity hypothesis: historical remarks and a direct evaluation of its validity,” *Comptes Rendus - Mecanique*, vol. 335, pp. 617–627, 9 2007. [Online]. Available: <https://doi.org/10.1016/j.crme.2007.08.004>
- [27] B. E. Launder and D. B. Spalding, “The numerical computation of turbulent flows,” *Computer Methods in Applied Mechanics and Engineering*, vol. 3, pp. 269–289, 1974.
- [28] B. E. Launder and B. I. Sharma, “Application of the energy-dissipation model of turbulence to the calculation of flow near a spinning disc,” *Letter In Heat And Mass Transfer*, vol. 1, pp. 131–138, 1974.
- [29] A. C. M. Beljaars, J. L. Walmsley, and P. A. Taylor, “A mixed spectral finite-difference model for neutrally stratified boundary-layer flow over roughness changes and topography,” *Boundary-Layer Meteorology*, pp. 38:273–303, 1987.
- [30] T. H. S. Shih, W. W. Liou, A. Shabbir, and Z. Yang, “A new $k-\epsilon$ eddy viscosity model for high reynolds number turbulent flows,” *Computers and Fluids*, pp. 24(3):227–238, 1995.
- [31] V. Yakhot and S. A. Orszag, “Renormalization Group Analysis of Turbulence. I - Basic Theory,” *Journal of Scientific Computing*, pp. 1:3–51, 1986.
- [32] D. Wilcox, “Reassessment of the scale-determining equation for advanced turbulence models,” *AIAA Journal*, vol. 26, pp. 1299–1310, 11 1988. [Online]. Available: <https://doi.org/10.2514/3.10041>
- [33] F. R. Menter, “Zonal two equation $k-\omega$ turbulence models for aerodynamic flows,” *AIAA Fluid Dynamics Conference*, 1993. [Online]. Available: <https://doi.org/10.2514/6.1993-2906>
- [34] “Metedyn | numerical wind engineering – software and consultancy,” acedido a 29 de Agosto de 2023. [Online]. Available: <https://metedyn.com/>
- [35] R. Laprise, “The Euler equations of motion with hydrostatic pressure as an independent variable,” *Monthly Weather Review*, vol. 120, pp. 197–207, 1992. [Online]. Available: [https://doi.org/10.1175/1520-0493\(1992\)120<0197:teomw>2.0.co;2](https://doi.org/10.1175/1520-0493(1992)120<0197:teomw>2.0.co;2)
- [36] W. C. Skamarock, J. B. Klemp, J. Dudhia, D. O. Gill, Z. Liu, J. Berner, W. Wang, J. G. Powers, M. G. Duda, D. M. Barker, and X.-Y. Huang, *A Description of the Advanced Research WRF Model Version 4*. National Center for Atmospheric Research, Mesoscale and Microscale Meteorology Laboratory, 2019.
- [37] O. Temel, L. Bricteux, and J. van Beeck, “Coupled wrf-openfoam study of wind flow over complex terrain,” *Journal of Wind Engineering and*

-
- Industrial Aerodynamics*, vol. 174, pp. 152–169, 3 2018. [Online]. Available: <https://doi.org/10.1016/j.jweia.2018.01.002>
- [38] “Datasets | ECMWF,” acessido a 10 de Agosto de 2023. [Online]. Available: <https://www.ecmwf.int/en/forecasts/datasets>
- [39] F. A. Castro, C. S. Santos, and J. C. L. da Costa, “Development of a meso-microscale coupling procedure for site assessment in complex terrain,” *EWEA - European Wind Energy Association*, 2010. [Online]. Available: <http://hdl.handle.net/10400.22/4255>
- [40] “OpenFOAM: API Guide: src/TurbulenceModels/turbulenceModels/-derivedFvPatchFields/wallFunctions/kqRWallFunctions/kqRWallFunction/kqRWallFunctionFvPatchField.H Source File,” acessido a 17 de Maio de 2023. [Online]. Available: https://www.openfoam.com/documentation/guides/latest/api/kqRWallFunctionFvPatchField_8H_source.html
- [41] F. A. Castro, J. M. L. M. Palma, and A. S. Lopes, “Simulation of the Askervein Flow. Part 1: Reynolds Averaged Navier Stokes Equations (k- ϵ Turbulence Model),” *Boundary-Layer Meteorology*, pp. 501–530, 2003. [Online]. Available: <https://doi.org/10.1023/A:1022818327584>
- [42] D. Hargreaves and N. Wright, “On the use of the k- model in commercial CFD software to model the neutral atmospheric boundary layer,” *Journal of Wind Engineering and Industrial Aerodynamics*, vol. 95, no. 5, pp. 355–369, 2007. [Online]. Available: <https://doi.org/10.1016/j.jweia.2006.08.002>
- [43] “OpenFOAM: User Guide: atmNutmWallFunction,” acessido a 27 de Dezembro de 2022. [Online]. Available: <https://www.openfoam.com/documentation/guides/v2112/doc/guide-bcs-wall-turbulence-atmNutmWallFunction.html>
- [44] “ParaView - Open-source, multi-platform data analysis and visualization application,” acessido a 06 de Junho de 2023. [Online]. Available: <https://www.paraview.org/>
- [45] “fluidfoam.readof — fluidfoam 0.2.5 documentation,” acessido a 10 de Janeiro de 2023. [Online]. Available: <https://fluidfoam.readthedocs.io/en/latest/generated/fluidfoam.readof.html>
- [46] National Centers for Environmental Prediction, National Weather Service, NOAA, U.S. Department of Commerce, “NCEP FNL Operational Model Global Tropospheric Analyses, continuing from July 1999,” Boulder CO, 2000. [Online]. Available: <https://doi.org/10.5065/D6M043C6>
- [47] S. Y. Hong, “Hongandlim-JKMS-2006,” *Journal of the Korean Meteorological Society*, vol. 42, pp. 129–151, 2006.

-
- [48] E. J. Mlawer, S. J. Taubman, P. D. Brown, M. J. Iacono, and S. A. Clough, “Radiative transfer for inhomogeneous atmospheres: RRTM, a validated correlated-k model for the longwave,” *Journal of Geophysical Research Atmospheres*, vol. 102, pp. 16 663–16 682, 7 1997. [Online]. Available: <https://doi.org/10.1029/97jd00237>
- [49] J. Dudhia, “Numerical study of convection observed during the winter monsoon experiment using a mesoscale two-dimensional model,” *Journal of the Atmospheric Sciences*, vol. 46, pp. 3077–3107, 1989. [Online]. Available: [https://doi.org/10.1175/1520-0469\(1989\)046<3077:NSOCOD>2.0.CO;2](https://doi.org/10.1175/1520-0469(1989)046<3077:NSOCOD>2.0.CO;2)
- [50] Z. I. Janjić, “The Step-Mountain Eta Coordinate Model: Further Developments of the Convection, Viscous Sublayer, and Turbulence Closure Schemes,” *Monthly Weather Review*, pp. 122:927–945, 1994. [Online]. Available: [https://doi.org/10.1175/1520-0493\(1994\)122<0927:TSMECM>2.0.CO;2](https://doi.org/10.1175/1520-0493(1994)122<0927:TSMECM>2.0.CO;2)
- [51] J. S. Kain and J. M. Fritsch, “Convective Parameterization for Mesoscale Models: The Kain-Fritsch Scheme,” *American Meteorological Society*, pp. 165–170, 1993. [Online]. Available: https://doi.org/10.1007/978-1-935704-13-3_16
- [52] “OpenFOAM: API Guide: src/finiteVolume/cfdTools/general/adjustPhi/adjustPhi.C Source File,” acessado a 10 de Maio de 2023. [Online]. Available: https://www.openfoam.com/documentation/guides/latest/api/adjustPhi_8C_source.html
- [53] “scipy.interpolate.griddata — SciPy v1.11.2 Manual,” acessado a 8 de Março de 2023. [Online]. Available: <https://docs.scipy.org/doc/scipy/reference/generated/scipy.interpolate.griddata.html>

A Códigos *Python* para processamento dos dados medidos

A.1 WindData_Read.py

```

1 #####
2 ## ----- ##
3 ## -- WindData_Read.py python script ##
4 ## ----- ##
5 #####
6
7 import numpy as np
8 import matplotlib.pyplot as plt
9 from statistics import mean
10 import pandas as pd
11
12 #####
13 ###                FUNCTIONS                ###
14 #####
15
16 def StringParser(string, file_path):
17     with open(file_path, 'r') as f:
18         for line in f.readlines():
19             if string in line:
20                 return line.strip().split()[2]
21
22 def StringParser_equal_sep(string, file_path):
23     with open(file_path, 'r') as f:
24         for line in f.readlines():
25             if string in line:
26                 return line.strip().split('= ')[1]
27
28 #####
29 #####
30
31 file_name = StringParser("file_name ", "../WindData_Read.cfg")
32
33 invalid_vel_data = float(StringParser("invalid_vel_data ", "../WindData_Read.cfg"))
34 invalid_dir_data = int(StringParser("invalid_dir_data ", "../WindData_Read.cfg"))
35
36 mast_name = StringParser_equal_sep("mast_name", "../WindData_Read.cfg")
37 nDirs = int(StringParser("nDirs ", "../WindData_Read.cfg"))
38 skip = int(StringParser("skip =", "../WindData_Read.cfg"))
39
40 PATH = "../WindData_Read.inputs/%s" %file_name
41
42 #####
43 #####
44 ### READ MAST DATA
45
46 mast_content = [i.strip().split(",") for i in
47 open("%s" %PATH).readlines()]
48
49 step = int(360/nDirs)
50
51 lower = []
52 upper = []

```

```

53
54 ### Define filtering intervals
55 for dd in range(0,360, step):
56     low = dd - step/2
57     up = dd + step/2
58
59     if low < 0:
60         low = low + 360
61
62     lower.append(low)
63     upper.append(up)
64
65 ### Est, Dir[1], Vavg[2], Vmax, Vmin, Vstd[5], YYYYMMDDhhmm ###
66
67 dir_vals = [[] for _ in range(0, nDirs)]
68 V_vals = [[] for _ in range(0, nDirs)]
69 I_vals = [[] for _ in range(0, nDirs)]
70
71 Vmean_vals = []
72 Imean_vals = []
73 freq_vals = []
74
75 for d, low, up in zip(range(0, nDirs), lower, upper):
76     for i in range(skip, len(mast_content)):
77
78         line = mast_content[i]
79         dir = float(line[1])
80         V = float(line[2])
81         vstd = float(line[5])
82         I = vstd/V
83
84         if low > up:
85             if dir >= low or dir < up:
86                 if (V != invalid_vel_data and V != invalid_dir_data and
87                     dir != invalid_vel_data and dir != invalid_dir_data):
88                     V_vals[d].append(V)
89                     I_vals[d].append(I)
90             else:
91                 if dir >= low and dir < up:
92                     if (V != invalid_vel_data and V != invalid_dir_data and
93                         dir != invalid_vel_data and dir != invalid_dir_data):
94                         V_vals[d].append(V)
95                         I_vals[d].append(I)
96
97 sumlen = 0
98 for d in range(0, nDirs):
99     sumlen = sumlen + len(V_vals[d])
100
101 for d in range(0,nDirs):
102     freq_vals.append(len(V_vals[d])/sumlen*100)
103     Vmean_vals.append(mean(V_vals[d]))
104     Imean_vals.append(mean(I_vals[d])*100)
105
106 #####
107 #####
108 ### OUTPUT TABLE
109
110 print("--- AVERAGE MEASURED DATA: STATION %s ---" %mast_name)
111
112 direcs = np.arange(0, 360, step)
113
114 index_str = []
115 for d in direcs:
116     index_str.append("")
117
118 data_dict = {"DIR": direcs, "freq [%]": freq_vals, "v [m/s]": Vmean_vals,
119             "I [%]": Imean_vals}
120
121 df = pd.DataFrame(data=data_dict, index=index_str)
122 df_str = df.to_string(index=False)
123 print(df)
124
125 f = open("../WindData_Read.outputs/%s_WindData_res.txt" %(mast_name), "w")

```

```

126 f.write(df_str)
127 f.close()
128 print("")
129 print("%s_WindData_res.txt saved on WindData_Read.outputs/" %mast_name)
130
131 #####
132 #####
133 ### OUTPUT PLOTS
134
135 # Wind Frequency
136 dir_rad = []
137
138 for d in direcs:
139     dir_rad.append(d*np.pi/180)
140 width = 2*np.pi/nDirs
141
142 ax0 = plt.subplot(111,polar=True)
143 ax0.bar(dir_rad,freq_vals,color='maroon',width = width,bottom = 0,
144         edgecolor = 'k', align = 'center',alpha=0.4,label='Frequência [%]')
145 ax0.set_xticks(dir_rad)
146 ax0.set_rlabel_position(75)
147 ax0.legend()
148 angle = np.radians(45)
149 ax0.legend(loc="lower left",
150           bbox_to_anchor=(.5 + np.cos(angle)/2, .5 + np.sin(angle)/2))
151 ax0.set_theta_zero_location("N")
152 ax0.set_theta_direction(-1)
153 #ax0.set_title('Estação %s' %mast_name)
154 ax0.set_xlabel('Direção do Vento [°]')
155 plt.savefig("../WindData_Read.outputs/%s_freq.png" %mast_name)
156 print("%s_freq.png saved on WindData_Read.outputs/" %mast_name)
157 plt.close()
158
159 # Velocity
160 dir_rad = []
161
162 for d in direcs:
163     dir_rad.append(d*np.pi/180)
164 width = 2*np.pi/nDirs
165
166 ax1 = plt.subplot(111,polar=True)
167 ax1.bar(dir_rad,Vmean_vals,color='blue',width = width,bottom = 0,
168         edgecolor = 'k', align = 'center',alpha=0.4,label='Velocidade [m/s]')
169 ax1.set_xticks(dir_rad)
170 ax1.set_rlabel_position(75)
171 ax1.legend()
172 angle = np.radians(45)
173 ax1.legend(loc="lower left",
174           bbox_to_anchor=(.5 + np.cos(angle)/2, .5 + np.sin(angle)/2))
175 ax1.set_theta_zero_location("N")
176 ax1.set_theta_direction(-1)
177 #ax1.set_title('Estação %s' %mast_name)
178 ax1.set_xlabel('Direção do Vento [°]')
179 plt.savefig("../WindData_Read.outputs/%s_V.png" %mast_name)
180 print("%s_V.png saved on WindData_Read.outputs/" %mast_name)
181 plt.close()
182
183 # Turbulence Intensity
184 dir_rad = []
185
186 for d in direcs:
187     dir_rad.append(d*np.pi/180)
188 width = 2*np.pi/nDirs
189
190 ax2 = plt.subplot(111,polar=True)
191 ax2.bar(dir_rad,Imean_vals,color='blue',width = width,bottom = 0,
192         edgecolor = 'k', align = 'center',alpha=0.4,label='Intensidade da
193         Turbulência [%]')
194 ax2.set_xticks(dir_rad)
195 ax2.set_rlabel_position(75)
196 ax2.legend()
197 angle = np.radians(45)
198 ax2.legend(loc="lower left",

```

```

198     bbox_to_anchor=(.5 + np.cos(angle)/2, .5 + np.sin(angle)/2))
199 ax2.set_theta_zero_location("N")
200 ax2.set_theta_direction(-1)
201 #ax2.set_title('Estação %s' %mast_name)
202 ax2.set_xlabel('Direção do Vento [°]')
203 plt.savefig("../WindData_Read.outputs/%s_I.png" %mast_name)
204 print("%s_I.png saved on WindData_Read.outputs/" %mast_name)
205 plt.close()

```

A.2 weibull.py

```

1 #####
2 ## ----- ##
3 ## -- weibull.py python script ##
4 ## ----- ##
5 #####
6
7 import numpy as np
8 import matplotlib.pyplot as plt
9 from statistics import mean
10
11 #####
12 #####
13 ### FUNCTIONS
14
15 def StringParser(string, file_path):
16     with open(file_path,'r') as f:
17         for line in f.readlines():
18             if string in line:
19                 return line.strip().split()[2]
20
21 def StringParser_equal_sep(string, file_path):
22     with open(file_path,'r') as f:
23         for line in f.readlines():
24             if string in line:
25                 return line.strip().split('= ')[1]
26
27 def weibull(u, k, A):
28     return (k/A)*(u/A)**(k-1)*np.exp(-(u/A)**k)
29
30 def weibull_moments_estimation(data, frequencies):
31
32     """
33     Estimate k and c parameters of a Weibull distribution using the moments method (MM)
34     from frequency data.
35
36     Inputs:
37         data (numpy array): 1-dimensional array containing the data points.
38         frequencies (numpy array): 1-dimensional array containing the frequencies of
39         each data point.
40
41     Outputs:
42         k : Estimated shape parameter.
43         c : Estimated scale parameter.
44     """
45
46     data = np.array(data)
47     frequencies = np.array(frequencies)
48     n = np.sum(frequencies)
49     mean = np.sum(data * frequencies) / n
50     var = np.sum((data - mean) ** 2 * frequencies) / n
51     std = np.sqrt(var)
52
53     # Estimate shape parameter k:
54     k = (std / mean) ** (-1.086)
55
56     # Estimate scale parameter c:
57     c = mean / np.math.gamma(1 + 1 / k)
58
59     return k, c
60
61 #####
62 #####

```

```

60
61 file_name = StringParser("file_name ", "../WindData_Read.cfg")
62 mast_name = StringParser_equal_sep("mast_name", "../WindData_Read.cfg")
63 vmax = int(StringParser("vmax =", "../WindData_Read.cfg"))
64 step = float(StringParser("step =", "../WindData_Read.cfg"))
65 skip = int(StringParser("skip =", "../WindData_Read.cfg"))
66
67 PATH = "../WindData_Read.inputs/%s" %file_name
68
69 ##### READ MAST DATA #####
70 mast_content = [i.strip().split(",") for i in
71     open("%s" %PATH).readlines()]
72
73 Vel = [[] for _ in range(0, vmax)]
74 Vvals = []
75 freq = []
76
77 ##### Est, Dir[1], Vavg[2], Vmax, Vmin, Vstd[5], YYYYMMDDhhmm, #####
78 for i in range(skip, len(mast_content)):
79     line = mast_content[i]
80     dir = float(line[1])
81     V = float(line[2])
82
83     Vvals.append(V)
84
85     for v in range(0, vmax):
86         if v < V <= v + 2*step:
87             Vel[v].append(V)
88
89 Vmean = mean(Vvals)
90 print("Global mean velocity for mast %s is :: %.4f m/s\n" %(mast_name, Vmean))
91
92 sumlen = 0
93 for v in range(0, vmax):
94     sumlen = sumlen + len(Vel[v])
95
96 vx = []
97 for v in range(0, vmax):
98     vx.append(v+1)
99     freq.append(len(Vel[v])/sumlen*100)
100
101 vWeibull = []
102 freqWeibull = []
103
104 kWeibull, AWeibull = weibull_moments_estimation(vx, freq)
105
106 print(":: Estimated k and A parameters ::")
107 print("k = %.4f" %kWeibull)
108 print("A = %.4f" %AWeibull)
109
110 for v in np.arange(0, vmax, 0.001):
111     vWeibull.append(v+1)
112     freqWeibull.append(weibull(v+1, kWeibull, AWeibull)*100)
113
114 fig, ax1 = plt.subplots(figsize=(10,7))
115 ax1.bar(vx, freq, edgecolor = "black", linewidth = 1.5,
116     color="maroon")
117 ax1.plot(vWeibull, freqWeibull, "--", color = "black",
118     label="Weibull\nc = %.2f m/s | k = %.2f" %(AWeibull, kWeibull) )
119 ax1.set_xticks(vx)
120 ax1.set_xlabel("Velocidade [m/s]")
121 ax1.set_ylabel("Frequência [%]")
122 ax1.grid(axis='y')
123 ax1.legend()
124 plt.savefig("../WindData_Read.outputs/%s_weibull.png" %mast_name)
125 print("%s_weibull.png saved on WindData_Read.outputs/" %mast_name)
126 plt.close()

```


B Códigos Python para estudo do recurso eólico

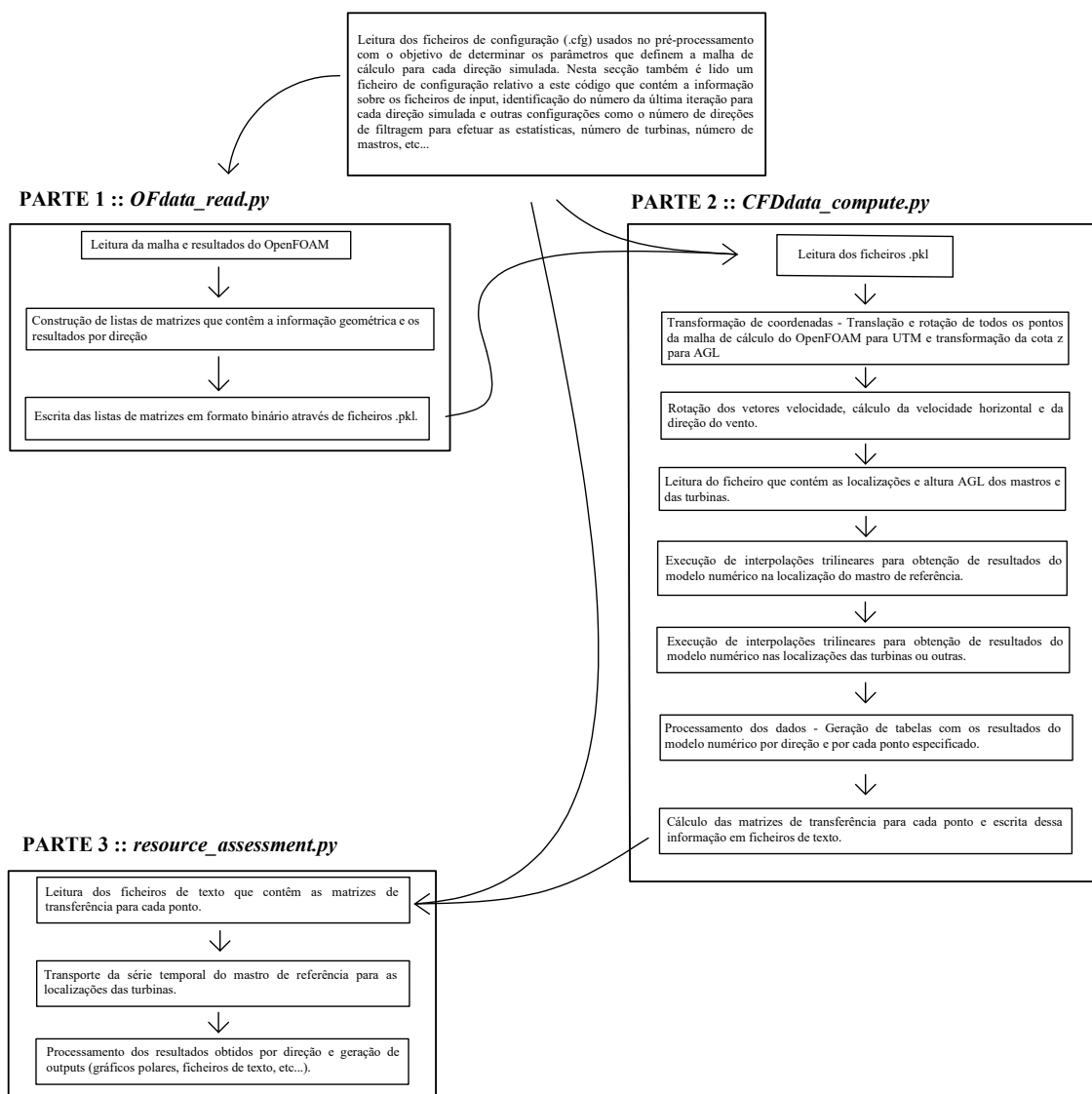


Figura B.1 – Esquema do algoritmo


```

67 sol_path = []
68 for d in range(0, len(Dirs)):
69     sol_path.append("../../s/" %Dirs[d])
70
71 #####
72 #####
73 ## .CFG FILES READ
74
75 fPATH = []
76 fPATH_2 = []
77 fPATH_3 = []
78 xcentre = []
79 ycentre = []
80 cofx = []
81 cofy = []
82 rot_deg = []
83 nz = []
84 nig = []
85 njg = []
86 tolerance_x = []
87 tolerance_y = []
88
89 for i in range(0, len(Dirs)):
90     fPATH.append("../../s/_preproc/_gsurf_WINDIE/preproc.cfg" %Dirs[i])
91     fPATH_2.append("../../s/_preproc/_preprocDict" %Dirs[i])
92     fPATH_3.append("../../s/_preproc/_gsurf_WINDIE/windie.cfg" %Dirs[i])
93
94 for i in range(0, len(Dirs)):
95     # preproc.cfg
96     xcentre.append(float(StringParser('xcentre ', fPATH[i])))
97     ycentre.append(float(StringParser('ycentre ', fPATH[i])))
98     rot_deg.append(float(StringParser('rot ', fPATH[i])))
99     cofx.append(float(StringParser('cofx ', fPATH[i])))
100    cofy.append(float(StringParser('cofy ', fPATH[i])))
101
102    # _preprocDict
103    nz.append(int(StringParser('nz ', fPATH_2[i])))
104
105    # windie.cfg
106    nig.append(int(StringParser('nig ', fPATH_3[i])))
107    njg.append(int(StringParser('njg ', fPATH_3[i])))
108
109 # Tolerance for nearest points lookup in trilinear interpolation
110 for i in range(0, len(Dirs)):
111     tolerance_x.append(5*cofx[i])
112     tolerance_y.append(5*cofy[i])
113
114 ##% CELL
115 #####
116 #####
117 ## READ OPENFOAM MESH AND RESULTS
118
119 ## INIT. NESTED LISTS
120 xof = [[] for _ in range(0, len(Dirs))]
121 yof = [[] for _ in range(0, len(Dirs))]
122 zof = [[] for _ in range(0, len(Dirs))]
123 UVEC = [[] for _ in range(0, len(Dirs))]
124 kof = [[] for _ in range(0, len(Dirs))]
125 x_ground = [[] for _ in range(0, len(Dirs))]
126 y_ground = [[] for _ in range(0, len(Dirs))]
127 z_ground = [[] for _ in range(0, len(Dirs))]
128
129 print("### --- ## Reading OpenFOAM internal mesh and results ## --- ##\n")
130 for i in range(0, len(Dirs)):
131
132     t1 = time.time()
133     print("### >>> rot = %i <<< ##\n" %rot_deg[i])
134
135     print("    >> (nig-2) = %i" %(nig[i]-2))
136     print("    >> (njg-2) = %i" %(njg[i]-2))
137     print("    >> nz = %i\n" %nz[i])
138
139     xof[i], yof[i], zof[i] = readmesh(sol_path[i])

```

```

140 UVEC[i] = readvector(sol_path[i], "%s" %latestTimes[i], "U")
141 kof[i] = readscalar(sol_path[i], "%s" %latestTimes[i], "k")
142
143 print("\n -- Reading ground surface --\n")
144 ## Ground Surface
145 x_ground[i], y_ground[i], z_ground[i] = readmesh(sol_path[i], boundary="ground")
146
147 t2 = time.time()
148 print("\nDone in %.2f s.\n" %(t2-t1))
149
150 ### CELL
151 #####
152 #####
153 ##### RESHAPE FLUIDFOAM LISTS TO GSRF3 IRREGULAR STRUCTURED GRID
154
155 X_matrix = [[] for _ in range(0, len(Dirs))]
156 Y_matrix = [[] for _ in range(0, len(Dirs))]
157 Z_matrix = [[] for _ in range(0, len(Dirs))]
158 U_matrix = [[] for _ in range(0, len(Dirs))]
159 V_matrix = [[] for _ in range(0, len(Dirs))]
160 W_matrix = [[] for _ in range(0, len(Dirs))]
161 k_matrix = [[] for _ in range(0, len(Dirs))]
162 zsurf_ground = [[] for _ in range(0, len(Dirs))]
163
164 print("### --- ### Building Results Matrixes ### --- ###\n")
165
166 for d in range(0, len(Dirs)):
167     print("    >> xcentre = %.1f" %xcentre[d])
168     print("    >> ycentre = %.1f" %ycentre[d])
169     print("    >> rot = %i \n" %rot_deg[d])
170
171     X_matrix[d] = np.reshape(xof[d], (nig[d]-2, njg[d]-2, nz[d]))
172     Y_matrix[d] = np.reshape(yof[d], (nig[d]-2, njg[d]-2, nz[d]))
173     Z_matrix[d] = np.reshape(zof[d], (nig[d]-2, njg[d]-2, nz[d]))
174     U_matrix[d] = np.reshape(UVEC[d][0,:], (nig[d]-2, njg[d]-2, nz[d]))
175     V_matrix[d] = np.reshape(UVEC[d][1,:], (nig[d]-2, njg[d]-2, nz[d]))
176     W_matrix[d] = np.reshape(UVEC[d][2,:], (nig[d]-2, njg[d]-2, nz[d]))
177     k_matrix[d] = np.reshape(kof[d], (nig[d]-2, njg[d]-2, nz[d]))
178     zsurf_ground[d] = np.reshape(z_ground[d], (nig[d]-2, njg[d]-2))
179
180 #####
181 #####
182 ##### WRITE OPENFOAM DATA IN BINARY .PKL FILES
183
184 print('Saving OpenFOAM data ...\n')
185
186 with open('../outputs/OF_data/X_matrix.pkl', 'wb') as f:
187     pickle.dump(X_matrix, f)
188     print("X_matrix.pkl saved on outputs/OF_data/")
189
190 with open('../outputs/OF_data/Y_matrix.pkl', 'wb') as f:
191     pickle.dump(Y_matrix, f)
192     print("Y_matrix.pkl saved on outputs/OF_data/")
193
194 with open('../outputs/OF_data/Z_matrix.pkl', 'wb') as f:
195     pickle.dump(Z_matrix, f)
196     print("Z_matrix.pkl saved on outputs/OF_data/")
197
198 with open('../outputs/OF_data/U_matrix.pkl', 'wb') as f:
199     pickle.dump(U_matrix, f)
200     print("U_matrix.pkl saved on outputs/OF_data/")
201
202 with open('../outputs/OF_data/V_matrix.pkl', 'wb') as f:
203     pickle.dump(V_matrix, f)
204     print("V_matrix.pkl saved on outputs/OF_data/")
205
206 with open('../outputs/OF_data/W_matrix.pkl', 'wb') as f:
207     pickle.dump(W_matrix, f)
208     print("W_matrix.pkl saved on outputs/OF_data/")
209
210 with open('../outputs/OF_data/k_matrix.pkl', 'wb') as f:
211     pickle.dump(k_matrix, f)
212     print("k_matrix.pkl saved on outputs/OF_data/")

```

```

213
214 with open('../outputs/OF_data/zsurf_ground.pkl','wb') as f:
215     pickle.dump(zsurf_ground, f)
216     print("zsurf_ground.pkl saved on outputs/OF_data/")
217
218 t_end = time.time()
219
220 print("\nDone.\n")
221 print("\nTotal Execution time: %.2f s.\n" %(t_end-t_start))

```

B.2 Parte 2: CFDdata_compute.py

```

1 #####
2 # -----#
3 #                               WIND_ASSESSMENT PROGRAM                               #
4 # -----#
5 # -- File_name: CFDdata_compute.py                               Version: 3.2 #
6 # -----#
7 #####
8
9 ### CELL
10 import numpy as np
11 from scipy.interpolate import griddata, interp1d, LinearNDInterpolator
12 import pandas as pd
13 import matplotlib.pyplot as plt
14 import multiprocessing as mp
15 import pickle
16 import time
17
18 t_start = time.time()
19
20 ### HEADING
21 print("#### -----#
22     #####")
23 print("####                               WIND_ASSESSMENT PROGRAM                               #
24     #####")
25 print("#### -- Script: CFDdata_compute.py                               #
26     #####")
27 print("#### -----#
28     #####\n")
29
30 print("Script execution begun.\n")
31
32 #####
33 #####                               FUNCTIONS                               #####
34 #####
35
36 def StringParser(string, file_path):
37     with open(file_path,'r') as f:
38         for line in f.readlines():
39             if string in line:
40                 return line.strip().split()[2]
41
42 def StringParser_eq(string, file_path, col):
43     with open(file_path,'r') as f:
44         for line in f.readlines():
45             if string in line:
46                 return line.strip().split(" = ")[col]
47
48 def trilinear_interpolation(xp, yp, zp, X_coords, Y_coords, Z_coords, Values, Nx, Ny, Nz
49 , tol_x, tol_y):
50
51     ### Filter data near xp, yp and zp otherwise griddata will be slow
52     xfiltered = []
53     yfiltered = []
54     zfiltered = []
55     valfiltered = []
56
57     for i in range(0, Nx):
58         for j in range(0, Ny):

```



```

128 fPATH_2.append('.././s/_preproc/_preprocDict' %Dirs[i])
129 fPATH_3.append('.././s/_preproc/_gsurf_WINDIE/windie.cfg' %Dirs[i])
130
131 for i in range(0, len(Dirs)):
132     # preproc.cfg
133     xcentre.append(float(StringParser('xcentre ', fPATH[i])))
134     ycentre.append(float(StringParser('ycentre ', fPATH[i])))
135     rot_deg.append(float(StringParser('rot ', fPATH[i])))
136     cofx.append(float(StringParser('cofx ', fPATH[i])))
137     cofy.append(float(StringParser('cofy ', fPATH[i])))
138
139     # _preprocDict
140     nz.append(int(StringParser('nz ', fPATH_2[i])))
141
142     # windie.cfg
143     nig.append(int(StringParser('nig ', fPATH_3[i])))
144     njg.append(int(StringParser('njg ', fPATH_3[i])))
145
146 # Tolerance for nearest points lookup in trilinear interpolation
147 for i in range(0, len(Dirs)):
148     tolerance_x.append(5*cofx[i])
149     tolerance_y.append(5*cofy[i])
150
151 ### CELL
152 #####
153 #####
154 ##### LOAD OpenFOAM DATA
155
156 print('Loading OpenFOAM data ...')
157 with open('../outputs/OF_data/X_matrix.pkl', 'rb') as f:
158     X_matrix = pickle.load(f)
159 with open('../outputs/OF_data/Y_matrix.pkl', 'rb') as f:
160     Y_matrix = pickle.load(f)
161 with open('../outputs/OF_data/Z_matrix.pkl', 'rb') as f:
162     Z_matrix = pickle.load(f)
163
164 with open('../outputs/OF_data/U_matrix.pkl', 'rb') as f:
165     U_matrix = pickle.load(f)
166 with open('../outputs/OF_data/V_matrix.pkl', 'rb') as f:
167     V_matrix = pickle.load(f)
168 with open('../outputs/OF_data/W_matrix.pkl', 'rb') as f:
169     W_matrix = pickle.load(f)
170 with open('../outputs/OF_data/k_matrix.pkl', 'rb') as f:
171     k_matrix = pickle.load(f)
172
173 with open('../outputs/OF_data/zsurf_ground.pkl', 'rb') as f:
174     zsurf_ground = pickle.load(f)
175
176 ### CELL
177 #####
178 #####
179 ##### COORDINATES TRANSFORMATION
180 rot = []
181 xr = [[] for _ in range(0, len(Dirs))]
182 yr = [[] for _ in range(0, len(Dirs))]
183 X_UTM = [[] for _ in range(0, len(Dirs))]
184 Y_UTM = [[] for _ in range(0, len(Dirs))]
185 Z_agl = [[] for _ in range(0, len(Dirs))]
186
187 print("\nPerforming coordinates transformations ... \n")
188
189 ## ROTATION
190 for d in range(0, len(Dirs)):
191     rot_deg[d] = -(180-((450-rot_deg[d]) % 360)) # DEG
192     rot.append(rot_deg[d] * np.pi/180) # TO RAD
193
194 for d in range(0, len(Dirs)):
195     xr[d] = X_matrix[d]*np.cos(rot[d]) - Y_matrix[d]*np.sin(rot[d])
196     yr[d] = X_matrix[d]*np.sin(rot[d]) + Y_matrix[d]*np.cos(rot[d])
197
198 ## TRANSLATION
199 for d in range(0, len(Dirs)):
200     X_UTM[d] = xr[d] + xcentre[d]

```

```

201     Y_UTM[d] = yr[d] + ycentre[d]
202
203     ## BUILD ZAGL MATRIX
204     for d in range(0, len(Dirs)):
205         Z_agl[d] = np.zeros([nig[d]-2, njg[d]-2, nz[d]])
206
207     for d in range(0, len(Dirs)):
208         for k in range(0, nz[d]):
209             Z_agl[d][:,:,k] = Z_matrix[d][:,:,k] - zsurf_ground[d][:,:]
210
211     ##% CELL
212     #####
213     #####
214     ## VELOCITY VECTORS ROTATION
215     ## HORIZONTAL VELOCITY CALCULATION
216     ## WIND DIRECTION CALCULATION
217
218     Ur = [[] for _ in range(0,len(Dirs))]
219     Vr = [[] for _ in range(0,len(Dirs))]
220     hVel = [[] for _ in range(0,len(Dirs))]
221
222     phic = [[] for _ in range(0,len(Dirs))]
223     phi_deg = [[] for _ in range(0,len(Dirs))]
224     phi = [[] for _ in range(0,len(Dirs))]
225
226     for d in range(0, len(Dirs)):
227         Ur[d] = U_matrix[d]*np.cos(rot[d]) - V_matrix[d]*np.sin(rot[d])
228         Vr[d] = U_matrix[d]*np.sin(rot[d]) + V_matrix[d]*np.cos(rot[d])
229
230     for d in range(0, len(Dirs)):
231         hVel[d] = np.sqrt(Ur[d]**2 + Vr[d]**2)
232
233     for d in range(0, len(Dirs)):
234
235         phic[d] = np.zeros([nig[d]-2, njg[d]-2, nz[d]])
236
237         for i in range(0, nig[d]-2):
238             for j in range(0, njg[d]-2):
239                 for k in range(0, nz[d]):
240
241                     ### 1st Quadrant
242                     if Vr[d][i,j,k] > 0 and Ur[d][i,j,k] > 0:
243                         phic[d][i,j,k] = 90 - np.arctan(abs(Vr[d][i,j,k])/abs(Ur[d][i,j,k]))
244
245                         *180/np.pi
246
247                     ### 2nd Quadrant
248                     elif Vr[d][i,j,k] > 0 and Ur[d][i,j,k] < 0:
249                         phic[d][i,j,k] = 270 + np.arctan(abs(Vr[d][i,j,k])/abs(Ur[d][i,j,k]))
250
251                         *180/np.pi
252
253                     ### 3rd Quadrant
254                     elif Vr[d][i,j,k] < 0 and Ur[d][i,j,k] < 0:
255                         phic[d][i,j,k] = 270 - np.arctan(abs(Vr[d][i,j,k])/abs(Ur[d][i,j,k]))
256
257                         *180/np.pi
258
259                     ### 4th Quadrant
260                     elif Vr[d][i,j,k] < 0 and Ur[d][i,j,k] > 0:
261                         phic[d][i,j,k] = 90 + np.arctan(abs(Vr[d][i,j,k])/abs(Ur[d][i,j,k]))
262
263                         *180/np.pi
264
265         phi_deg[d] = phic[d] - 180
266
267     for d in range(0, len(Dirs)):
268
269         phi[d] = np.zeros([nig[d]-2, njg[d]-2, nz[d]])
270
271         for i in range(0, nig[d]-2):
272             for j in range(0, njg[d]-2):
273                 for k in range(0, nz[d]):
274
275                     if phi_deg[d][i,j,k] < 0:
276                         phi[d][i,j,k] = phi_deg[d][i,j,k] + 360
277                     else:

```

```

270         phi[d][i,j,k] = phi_deg[d][i,j,k]
271
272     ### CELL
273     #####
274     #####
275     ##### MASTS AND WTGS FILE DATA READ
276
277     label_masts = []
278     label_turbs = []
279
280     xMasts = []
281     yMasts = []
282     zMasts = []
283
284     xTurbs = []
285     yTurbs = []
286     zTurbs = []
287
288     cont = 0
289
290     with open("../inputs/%s" %(mastsWTGS_fileName),"r") as f:
291         for line in f.readlines():
292
293             if cont > 0:
294                 label = line.strip().split()[0]
295                 xcoord = float(line.strip().split()[1])
296                 ycoord = float(line.strip().split()[2])
297                 zcoord = float(line.strip().split()[3])
298
299                 if 0 < cont <= nMasts:
300                     label_masts.append(label)
301                     xMasts.append(xcoord)
302                     yMasts.append(ycoord)
303                     zMasts.append(zcoord)
304
305                 if nMasts < cont <= nTurbines + nMasts:
306                     label_turbs.append(label)
307                     xTurbs.append(xcoord)
308                     yTurbs.append(ycoord)
309                     zTurbs.append(zcoord)
310
311                 cont = cont + 1
312
313     ## Find reference mast values
314     for l, xm, ym, zm in zip(label_masts, xMasts, yMasts, zMasts):
315         if l == refMast_name:
316             x_refMast = xm
317             y_refMast = ym
318             z_refMast = zm
319
320     ### CELL
321     #####
322     #####
323     ##### TRILINEAR INTERPOLATIONS :: MASTS
324
325     hVel_mast = []
326     dir_mast = []
327
328     print("### --- ### Performing trilinear interpolations ### --- ###\n")
329
330     ### REFERENCE MAST
331
332     print(">> Selected reference mast is '%s' \n" %refMast_name)
333
334     for d in range(0, len(Dirs)):
335
336         hVel_mast.append(trilinear_interpolation(x_refMast, y_refMast, z_refMast,
337         X_UTM[d], Y_UTM[d], Z_agl[d], hVel[d], nig[d]-2, njg[d]-2, nz[d],
338         tolerance_x[d], tolerance_y[d]))
339
340         Um = trilinear_interpolation(x_refMast, y_refMast, z_refMast,
341         X_UTM[d], Y_UTM[d], Z_agl[d], Ur[d], nig[d]-2, njg[d]-2, nz[d],
342         tolerance_x[d], tolerance_y[d])

```

```

343
344 Vm = trilinear_interpolation(x_refMast, y_refMast, z_refMast,
345 X_UTM[d], Y_UTM[d], Z_agl[d], Vr[d], nig[d]-2, njg[d]-2, nz[d],
346 tolerance_x[d], tolerance_y[d])
347
348 ### 1st Quadrant
349 if Vm > 0 and Um > 0:
350     dir = 90 - np.arctan(abs(Vm)/abs(Um))*180/np.pi
351
352 ### 2nd Quadrant
353 elif Vm > 0 and Um < 0:
354     dir = 270 + np.arctan(abs(Vm)/abs(Um))*180/np.pi
355
356 ### 3rd Quadrant
357 elif Vm < 0 and Um < 0:
358     dir = 270 - np.arctan(abs(Vm)/abs(Um))*180/np.pi
359
360 ### 4th Quadrant
361 elif Vm < 0 and Um > 0:
362     dir = 90 + np.arctan(abs(Vm)/abs(Um))*180/np.pi
363
364 dir_m = dir - 180
365
366 if dir_m < 0:
367     dir_m = dir_m + 360
368
369 dir_mast.append(float(dir_m))
370
371 print("%s :: rot = %s :: Horizontal Velocity hVel = %.4f m/s :: Wind Direction = %.4
372 f degrees"
373       %(refMast_name, Dirs[d], hVel_mast[d], dir_mast[d]))
374
375 ### CELL
376 #####
377 ##### TRILINEAR INTERPOLATIONS :: WIND TURBINES
378
379 # local options
380 parallelize = True
381
382 # INIT.
383 hVel_turbs = [[] for _ in range(0, len(Dirs))]
384 dir_turbs = [[] for _ in range(0, len(Dirs))]
385 ratio = [[] for _ in range(0, len(Dirs))]
386
387 print("\nPerforming trilinear interpolations for wind turbines ...")
388
389 tinterp_i = time.time()
390
391 if parallelize == True:
392     ### PARALLEL CODE
393     print("Number of processes = %i\n" %num_processes)
394
395     def calculate_turbine(d, turb):
396
397         print(f"Dir %s -- Turbine %s" % (Dirs[d], label_turbs[turb]))
398
399         hVel_t = trilinear_interpolation(xTurbs[turb], yTurbs[turb], zTurbs[turb],
400 X_UTM[d], Y_UTM[d], Z_agl[d], hVel[d], nig[d]-2, njg[d]-2, nz[d],
401 tolerance_x[d], tolerance_y[d])
402
403         Ut = trilinear_interpolation(xTurbs[turb], yTurbs[turb], zTurbs[turb],
404 X_UTM[d], Y_UTM[d], Z_agl[d], Ur[d], nig[d]-2, njg[d]-2, nz[d],
405 tolerance_x[d], tolerance_y[d])
406
407         Vt = trilinear_interpolation(xTurbs[turb], yTurbs[turb], zTurbs[turb],
408 X_UTM[d], Y_UTM[d], Z_agl[d], Vr[d], nig[d]-2, njg[d]-2, nz[d],
409 tolerance_x[d], tolerance_y[d])
410
411         ### 1st Quadrant
412         if Vt > 0 and Ut > 0:
413             dir = 90 - np.arctan(abs(Vt)/abs(Ut))*180/np.pi
414

```

```

415     ### 2nd Quadrant
416     elif Vt > 0 and Ut < 0:
417         dir = 270 + np.arctan(abs(Vt)/abs(Ut))*180/np.pi
418
419     ### 3rd Quadrant
420     elif Vt < 0 and Ut < 0:
421         dir = 270 - np.arctan(abs(Vt)/abs(Ut))*180/np.pi
422
423     ### 4th Quadrant
424     elif Vt < 0 and Ut > 0:
425         dir = 90 + np.arctan(abs(Vt)/abs(Ut))*180/np.pi
426
427     dir_t = dir - 180
428
429     if dir_t < 0:
430         dir_t = dir_t + 360
431
432     return int(np.round(dir_t)), float(hVel_t), float(hVel_t/hVel_mast[d])
433
434 if __name__ == "__main__":
435
436     # Create a multiprocessing.Pool with the specified number of processes
437     with mp.Pool(processes=num_processes) as pool:
438         results = []
439
440         for d in range(len(Dirs)):
441             for turb in range(nTurbines):
442
443                 # Apply the function asynchronously using pool
444                 result = pool.apply_async(calculate_turbine, (d, turb))
445                 results.append(result)
446
447             # Wait for all results to be ready
448             for result in results:
449                 result.wait()
450
451         for d in range(len(Dirs)):
452             for turb in range(nTurbines):
453
454                 ## Access results from parallel processing
455                 res = results[d * nTurbines + turb].get()
456                 dir_t, hVel_t, ratio_t = res
457
458                 dir_turbs[d].append(dir_t)
459                 hVel_turbs[d].append(hVel_t)
460                 ratio[d].append(ratio_t)
461 else:
462     ### SERIAL CODE ###
463     hVel_turbs = [[] for _ in range(0, len(Dirs))]
464     dir_turbs = [[] for _ in range(0, len(Dirs))]
465     ratio = [[] for _ in range(0, len(Dirs))]
466
467     print("")
468     for d in range(0, len(Dirs)):
469         print("Performing trilinear interpolations for wind turbines, rot = %s" %(Dirs[d]
470 ])
471         for turb in range(0, nTurbines):
472
473             print("    %i -- Turbine %s" %(turb, label_turbs[turb]))
474
475             hVel_t = trilinear_interpolation(xTurbs[turb], yTurbs[turb], zTurbs[turb],
476 X_UTM[d], Y_UTM[d], Z_agl[d], hVel[d], nig[d]-2, njg[d]-2, nz[d],
477 tolerance_x[d], tolerance_y[d])
478
479             Ut = trilinear_interpolation(xTurbs[turb], yTurbs[turb], zTurbs[turb],
480 X_UTM[d], Y_UTM[d], Z_agl[d], Ur[d], nig[d]-2, njg[d]-2, nz[d],
481 tolerance_x[d], tolerance_y[d])
482
483             Vt = trilinear_interpolation(xTurbs[turb], yTurbs[turb], zTurbs[turb],
484 X_UTM[d], Y_UTM[d], Z_agl[d], Vr[d], nig[d]-2, njg[d]-2, nz[d],
485 tolerance_x[d], tolerance_y[d])
486     ### 1st Quadrant

```

```

487         if Vt > 0 and Ut > 0:
488             dir = 90 - np.arctan(abs(Vt)/abs(Ut))*180/np.pi
489
490         ### 2nd Quadrant
491         elif Vt > 0 and Ut < 0:
492             dir = 270 + np.arctan(abs(Vt)/abs(Ut))*180/np.pi
493
494         ### 3rd Quadrant
495         elif Vt < 0 and Ut < 0:
496             dir = 270 - np.arctan(abs(Vt)/abs(Ut))*180/np.pi
497
498         ### 4th Quadrant
499         elif Vt < 0 and Ut > 0:
500             dir = 90 + np.arctan(abs(Vt)/abs(Ut))*180/np.pi
501
502         dir_t = dir - 180
503
504         if dir_t < 0:
505             dir_t = dir_t + 360
506
507         dir_turbs[d].append(int(np.round(dir_t)))
508         hVel_turbs[d].append(float(hVel_t))
509         ratio[d].append(float(hVel_t/hVel_mast[d]))
510
511 tinterp_f = time.time()
512
513 print("\n Interpolations for wind turbines done in %.2f s \n" %(tinterp_f-tinterp_i))
514
515 ### CELL
516 #####
517 #####
518 ### COMBINE DATA
519
520 print("Processing data ... \n")
521 data_label_turbs = [[] for _ in range(0,nTurbines)]
522 data_hVel_turbs = [[] for _ in range(0,nTurbines)]
523 data_ratio = [[] for _ in range(0,nTurbines)]
524 data_dir_turbs = [[] for _ in range(0,nTurbines)]
525 data_delta_phi = [[] for _ in range(0,nTurbines)]
526
527 table1_dict = [[] for _ in range(0,nTurbines)]
528
529 for n in range(0, nTurbines):
530     for d in range(0, len(Dirs)):
531         data_label_turbs[n].append(label_turbs[n])
532         data_hVel_turbs[n].append(hVel_turbs[d][n])
533         data_ratio[n].append(ratio[d][n])
534         data_dir_turbs[n].append(dir_turbs[d][n])
535
536         dphi = dir_turbs[d][n]-dir_mast[d]
537
538         if 360 > dphi > 180:
539             dphi_corr = dphi - 360
540         elif -180 > dphi > -360:
541             dphi_corr = dphi + 360
542         else:
543             dphi_corr = dphi
544
545         data_delta_phi[n].append(dphi_corr)
546
547 ### Output tables
548 indext_str = []
549 for ind in range(0, len(Dirs)):
550     indext_str.append("")
551
552 for n in range(0, nTurbines):
553     table1_dict[n] = {"WT_LABEL": data_label_turbs[n], "HORZ._VEL_[m/s]":
554                     data_hVel_turbs[n],
555                     "RATIO_turb/mast": data_ratio[n], "Wind_Dir._(deg)": data_dir_turbs[n],
556                     "Delta_phi": data_delta_phi[n]}
557
558     table1_df = pd.DataFrame(data = table1_dict[n], index=indext_str)

```

```

559     if print_tables == 1:
560         print(table1_df)
561
562     # Write tables to files
563     table1_str = table1_df.to_string(index = "False")
564     f = open("../outputs/txt/CFDdata_WT_%s.txt" %label_turbs[n], "w")
565     f.write(table1_str)
566     f.close()
567     print("CFDdata_WT_%s.txt written to outputs/txt/ " %label_turbs[n])
568
569     if write_csv == 1:
570         table1_df.to_csv("../outputs/csv/CFDdata_WT_%s.csv" %label_turbs[n], index=False
571 )
572         print("CFDdata_WT_%s.csv written to outputs/csv/\n " %label_turbs[n])
573
574 print("\nDone.\n")
575
576 ##### CELL
577 #####
578 ##### GENERATE TRANSFER MATRIX FOR CFD DATA
579
580 print("Generating Transfer Matrix for CFD DATA ...\n")
581
582 ratio_allDir = [[] for _ in range(0,nTurbines)]
583 delta_phi_allDir = [[] for _ in range(0,nTurbines)]
584
585 extended_dir_turbs = [[] for _ in range(0,nTurbines)]
586 extended_ratio = [[] for _ in range(0,nTurbines)]
587 extended_delta_phi = [[] for _ in range(0,nTurbines)]
588
589 table2_dict = [[] for _ in range(0,nTurbines)]
590
591 all_dirs = np.arange(0,360,1)
592
593 for n in range(0, nTurbines):
594
595     ## Extend data to handle cyclic boundary
596     extended_dir_turbs[n] = np.concatenate((np.array(data_dir_turbs[n]) - 360,
597         np.array(data_dir_turbs[n]), np.array(data_dir_turbs[n]) + 360))
598
599     extended_ratio[n] = np.concatenate((data_ratio[n], data_ratio[n], data_ratio[n]))
600     extended_delta_phi[n] = np.concatenate((data_delta_phi[n], data_delta_phi[n],
601         data_delta_phi[n]))
602
603     ## Perform radial interpolation
604     ratio_interp_func = interp1d(extended_dir_turbs[n], extended_ratio[n],
605         fill_value="extrapolate")
606
607     delta_phi_interp_func = interp1d(extended_dir_turbs[n], extended_delta_phi[n],
608         fill_value="extrapolate")
609
610     ratio_allDir[n] = ratio_interp_func(all_dirs)
611     delta_phi_allDir[n] = delta_phi_interp_func(all_dirs)
612
613 # Output table
614 for n in range(0, nTurbines):
615
616     table2_dict[n] = {"Wind_Dir_(deg)": all_dirs,
617         "RATIO_turb/mast": ratio_allDir[n], "Delta_phi": delta_phi_allDir[n]}
618
619     table2_df = pd.DataFrame(data = table2_dict[n])
620
621     # Write tables to files
622     table2_str = table2_df.to_string(index = "False")
623     f = open("../outputs/txt/MATRIX_WT_%s.txt" %label_turbs[n], "w")
624     f.write(table2_str)
625     f.close()
626     print("MATRIX_WT_%s.txt written to outputs/txt/ " %label_turbs[n])
627
628     if write_csv == 1:
629         table2_df.to_csv("../outputs/csv/MATRIX_WT_%s.csv" %label_turbs[n], index=False)
630         print("MATRIX_WT_%s.csv written to outputs/csv/ " %label_turbs[n])

```

```

631
632 # Output plots
633 if output_plots == 1:
634     for index in range(0, nTurbines):
635         fig, ax1 = plt.subplots(figsize=(10,7))
636
637         ax1.plot(all_dirs, ratio_allDir[index], "--", color = "tab:blue",
638                 label="Transfer Matrix")
639         ax1.plot(data_dir_turbs[index], data_ratio[index], "o", color = "tab:red",
640                 label="CFD Data")
641
642         ax1.set_xticks(np.arange(0,360+30,30))
643         ax1.set_xlim([0,360])
644         ax1.set_title("WIND TURBINE %s - RATIO" %label_turbs[index])
645         ax1.set_xlabel("Wind Direction (°)")
646         ax1.set_ylabel("Ratio TURBINE / MAST")
647         ax1.grid()
648         ax1.legend()
649         plt.savefig("../outputs/png/WT_%s.png" %label_turbs[index])
650         print("WT_%s.png saved on outputs/png/" %label_turbs[index])
651         plt.close()
652
653     for index in range(0, nTurbines):
654         fig, ax2 = plt.subplots(figsize=(10,7))
655
656         ax2.plot(all_dirs, delta_phi_allDir[index], "--", color = "tab:blue",
657                 label="Transfer Matrix")
658         ax2.plot(data_dir_turbs[index], data_delta_phi[index], "o", color = "tab:red",
659                 label="CFD Data")
660
661         ax2.set_xticks(np.arange(0,360+30,30))
662         ax2.set_xlim([0,360])
663         ax2.set_title("WIND TURBINE %s - DELTA PHI" %label_turbs[index])
664         ax2.set_xlabel("Wind Direction (°)")
665         ax2.set_ylabel("Delta Phi = phi_turb - phi_mast (°)")
666         ax2.grid()
667         ax2.legend()
668         plt.savefig("../outputs/png/WT_%s_deltaPhi.png" %label_turbs[index])
669         print("WT_%s_deltaPhi.png saved on outputs/png/" %label_turbs[index])
670         plt.close()
671
672 t_end = time.time()
673
674 print("\nDone.\n")
675 print("\nTotal Execution time: %.2f s.\n" %(t_end-t_start))
676
677 # %%

```

B.3 Parte 3: resource_assessment.py

```

1 #####
2 # -----#
3 #                               WIND_ASSESSMENT PROGRAM                               #
4 # -----#
5 # -- File_name: resource_assessment.py                               Version: 2.3 #
6 # -----#
7 #####
8 ##% CELL
9 import numpy as np
10 import pandas as pd
11 import matplotlib.pyplot as plt
12 import time
13 from statistics import mean
14
15 t_start = time.time()
16
17 ### HEADING
18 print("### -----#
19     ###")
19 print("###                               WIND_ASSESSMENT PROGRAM                               ###")
20 print("### -----#

```

```

21     """
22     print("#### -- Script: resource_assessment.py
23     """
24     print("####\n")
25
26     print("Script execution begun.\n")
27
28     #####
29     #####
30     #####
31     def StringParser(string, file_path):
32         with open(file_path, 'r') as f:
33             for line in f.readlines():
34                 if string in line:
35                     return line.strip().split()[2]
36
37     #####
38     #####
39     #####
40     ### LOCAL OPTIONS
41     rho = 1.225
42
43     #####
44     #####
45     ### WIND_ASSESSMENT.CFG FILE READ
46
47     mast_records_file = StringParser("mast_records_file ", "../wind_assessment.cfg")
48     mastsWTGS_fileName = StringParser("mastsWTGS_fileName ", "../wind_assessment.cfg")
49     skip = int(StringParser("skip ", "../wind_assessment.cfg"))
50     nTurbines = int(StringParser("nTurbines ", "../wind_assessment.cfg"))
51     nMasts = int(StringParser("nMasts ", "../wind_assessment.cfg"))
52     stats_nDirs = int(StringParser("stats_nDirs ", "../wind_assessment.cfg"))
53     output_plots = int(StringParser("output_plots ", "../wind_assessment.cfg"))
54
55     #####
56     #####
57     ##### MASTS AND WTGS FILE DATA READ
58
59     print("# -- Reading input files ... --#\n")
60     print("    >> Number of Turbines = %i\n" %nTurbines)
61
62     label_masts = []
63     label_turbs = []
64     d_turbs = []
65     A_turbs = []
66
67     cont = 0
68
69     print(" -- Reading %s file ... --\n" %(mastsWTGS_fileName))
70     with open("../inputs/%s" %(mastsWTGS_fileName), "r") as f:
71         for line in f.readlines():
72
73             if cont > 0:
74                 label = line.strip().split()[0]
75                 d = float(line.strip().split()[4])
76
77             if 0 < cont <= nMasts:
78                 label_masts.append(label)
79
80             if nMasts < cont <= nTurbines + nMasts:
81                 label_turbs.append(label)
82                 d_turbs.append(d)
83                 A_turbs.append(np.pi*d**2/4)
84                 cont = cont + 1
85
86     #####
87     #####
88     ### READ TRANSFER MATRIX OUTPUT FROM CFDdata_compute.py
89
90     ratio_WT = [[] for _ in range(0, nTurbines)]

```

```

91 delta_phi_WT = [[] for _ in range(0,nTurbines)]
92
93 for n in range(0, nTurbines):
94     cont = 0
95     print("-- Reading output from /outputs/txt/MATRIX_WT_%s.txt file ... --" %
96           label_turbs[n])
97     with open("../outputs/txt/MATRIX_WT_%s.txt" %label_turbs[n]) as f:
98         for line in f.readlines():
99             if cont > 0:
100                 ratio_WT[n].append(float(line.strip().split()[2]))
101                 delta_phi_WT[n].append(float(line.strip().split()[3]))
102             cont = cont + 1
103
104 ##### CELL
105 #####
106 ### TRANSPORT MAST TIME SERIES TO TURBINES
107
108 print("\n# -- Transporting mast time series to wind turbines locations -- #\n")
109
110 rec_dirs_round = []
111
112 # Read mast data as dataframe
113 rec_df = pd.read_csv("../inputs/%s" %mast_records_file, header=skip-1)
114
115 rec_dirs = pd.to_numeric(rec_df.iloc[:,1])
116 vel = pd.to_numeric(rec_df.iloc[:,2])
117
118 for rec_dir in rec_dirs:
119     rec_dirs_round.append(int(np.round(rec_dir)))
120
121 vel_turbs = [[] for _ in range(0,nTurbines)]
122 P_turbs = [[] for _ in range(0,nTurbines)]
123 dir_turbs = [[] for _ in range(0,nTurbines)]
124
125 for turbine in range(0, nTurbines):
126     for rec_dir, rec_vel in zip(rec_dirs_round, vel):
127
128         if rec_dir == 360:
129             rec_dir = 0
130
131         ### DIRECTION SERIES FOR EACH TURBINE
132         dir_turbs[turbine].append(int(np.round(rec_dir +
133             delta_phi_WT[turbine][rec_dir])))
134
135         ### VELOCITY SERIES FOR EACH TURBINE
136         vel_turbs[turbine].append(rec_vel*ratio_WT[turbine][rec_dir])
137
138         ### WIND POWER SERIES FOR EACH TURBINE
139         P_turbs[turbine].append(0.5*rho*A_turbs[turbine]*
140             (rec_vel*ratio_WT[turbine][rec_dir])**3)
141
142         print("turbine %s done." %label_turbs[turbine])
143
144 ##### CELL
145 #####
146 #####
147 ### STATISTICS BY DIRECTION
148
149 print("\nFiltering data by direction ...")
150 print("    >> Number of directions for wind turbines statistics : %i\n"
151       %(stats_nDirs))
152
153 dirVals = [[] for _ in range(0,stats_nDirs)]
154 velDirTurbs = [[] for _ in range(0, nTurbines)]
155 freqTurbs = [[] for _ in range(0, nTurbines)]
156
157 step = int(360/stats_nDirs)
158
159 lower = []
160 upper = []
161
162 ### Define filtering intervals

```

```

163 for dd in range(0,360, step):
164     low = dd - step/2
165     up = dd + step/2
166
167     if low < 0:
168         low = low + 360
169
170     lower.append(low)
171     upper.append(up)
172
173 ### Filtering data by Turbine and by Direction
174 for turbine in range(0, nTurbines):
175
176     velDirVals = [[] for _ in range(0, stats_nDirs)]
177     vmean = [[] for _ in range(0, stats_nDirs)]
178
179     wd = [[] for _ in range(0, stats_nDirs)]
180     freq = [[] for _ in range(0, stats_nDirs)]
181
182     for index, low, up in zip(range(0,stats_nDirs), lower, upper):
183         for i in range(0, len(rec_dirs_round)):
184             if low > up:
185                 if dir_turbs[turbine][i] >= low or dir_turbs[turbine][i] < up:
186                     dirVals[index].append(rec_dirs_round[i])
187                     velDirVals[index].append(vel_turbs[turbine][i])
188
189                     wd[index].append(dir_turbs[turbine][i])
190             else:
191                 if dir_turbs[turbine][i] >= low and dir_turbs[turbine][i] < up:
192                     dirVals[index].append(rec_dirs_round[i])
193                     velDirVals[index].append(vel_turbs[turbine][i])
194
195                     wd[index].append(dir_turbs[turbine][i])
196
197             if len(velDirVals[index]) == 0:
198                 vmean[index] = 0
199                 freq[index] = 0
200             else:
201                 vmean[index] = mean(velDirVals[index])
202                 freq[index] = len(wd[index])/len(rec_dirs_round)*100
203
204             print("turbine %s done." %label_turbs[turbine])
205
206             velDirTurbs[turbine] = vmean
207             freqTurbs[turbine] = freq
208
209 ### CELL
210 #####
211 #####
212 ### FILTERING AVERAGE VELOCITY BY TURBINE
213
214 vmean_turbs = []
215
216 for turbine in range(0, nTurbines):
217     vmean_turbs.append(mean(vel_turbs[turbine]))
218
219 f = open("../outputs/txt/turbines_avg_velocity.txt", 'w')
220 for turbine in range(0, nTurbines):
221     f.write("%s %.4f\n" %(label_turbs[turbine], vmean_turbs[turbine]))
222 f.close()
223
224 #####
225 #####
226 ### OUTPUTS TABLES AND PLOTS
227
228 table_dict = [[] for _ in range(0,nTurbines)]
229
230 direcs = np.arange(0,360, step)
231
232 # force the hiding of table indexes
233 indext_str = []
234 for ind in range(0, stats_nDirs):
235     indext_str.append("")

```

```

236
237 for n in range(0, nTurbines):
238     table_dict[n] = {"DIR": direcs, "freq [%]": freqTurbs[n], "v [m/s]": velDirTurbs[n]}
239     table_df = pd.DataFrame(data = table_dict[n], index=index_str)
240
241     # Write tables to files
242     table_str = table_df.to_string(index = "False")
243     f = open("../outputs/txt/transportedResults_WT_%s.txt" %label_turbs[n], "w")
244     f.write(table_str)
245     f.close()
246     print("transportedResults_WT_%s.txt written to outputs/txt/ " %label_turbs[n])
247
248 if output_plots == 1:
249     print("")
250     dir_rad = []
251
252     for direc in range(0,360, step):
253         dir_rad.append(direc*np.pi/180)
254     width = 2*np.pi/stats_nDirs
255
256     for t in range(0, nTurbines):
257         ax0 = plt.subplot(111,polar=True)
258         ax0.bar(dir_rad,velDirTurbs[t],color='blue',width = width,bottom = 0,
259             edgecolor = 'k', align = 'center',alpha=0.4,label='Velocidade [m/s]'
260         )
261
262         ax0.set_xticks(dir_rad)
263         ax0.set_rlabel_position(75)
264         ax0.legend()
265
266         angle = np.radians(45)
267         ax0.legend(loc="lower left",
268             bbox_to_anchor=(.5 + np.cos(angle)/2, .5 + np.sin(angle)/2))
269
270         ax0.set_theta_zero_location("N")
271         ax0.set_theta_direction(-1)
272         ax0.set_title('Velocity by Direction on Turbine %s' %label_turbs[t])
273         ax0.set_xlabel('Direção do Vento [°]')
274         plt.savefig("../outputs/png/velocity_WT_%s.png" %label_turbs[t])
275         print("velocity_WT_%s.png saved on outputs/png/" %label_turbs[t])
276         plt.close()
277
278     for t in range(0, nTurbines):
279         ax1 = plt.subplot(111,polar=True)
280         ax1.bar(dir_rad,freqTurbs[t],color='maroon',width = width,bottom = 0,
281             edgecolor = 'k', align = 'center',alpha=0.4,label='Frequência [%]')
282
283         ax1.set_xticks(dir_rad)
284         ax1.set_rlabel_position(75)
285         ax1.legend()
286
287         angle = np.radians(45)
288         ax1.legend(loc="lower left",
289             bbox_to_anchor=(.5 + np.cos(angle)/2, .5 + np.sin(angle)/2))
290
291         ax1.set_theta_zero_location("N")
292         ax1.set_theta_direction(-1)
293         ax1.set_title('Frequency by Direction on Turbine %s' %label_turbs[t])
294         ax1.set_xlabel('Direção do Vento [°]')
295         plt.savefig("../outputs/png/freq_WT_%s.png" %label_turbs[t])
296         print("freq_WT_%s.png saved on outputs/png/" %label_turbs[t])
297         plt.close()
298     #####
299
300 t_end = time.time()
301
302 print("\nDone.\n")
303 print("\nTotal Execution time: %.2f s.\n" %(t_end-t_start))

```

C Código *Python* de acoplamento

C.1 coupling_wrfmean.py

```

1 #####
2 # -----#
3 #                               OPENFOAM+WRF COUPLING PROGRAM                               #
4 # -----#
5 # -- File_name: coupling_wrfmean.py                               Version: 3.0 #
6 # -----#
7 #####
8 %% CELL
9 import netCDF4
10 import numpy as np
11 from scipy.interpolate import griddata
12 from sklearn.linear_model import LinearRegression
13 import time
14 import os
15 import utm
16
17 ### LOCAL IMPORTS
18 from readof_mod import readmesh_mod
19
20 print('###
21 -----#
22 #####
23 -----#
24 #####
25 -----#
26 #####\n')
27 print('Execution Begun.\n')
28
29 timer_start = time.time()
30
31 #####
32 #####                               FUNCTIONS                               #####
33 #####
34
35 def StringParser(string, file_path):
36     with open(file_path,'r') as f:
37         for line in f.readlines():
38             if string in line:
39                 return line.strip().split()[2]
40
41 def planar_trilinear_interpolation(x_WRF, y_WRF, z_WRF, VAR, Nx_WRF, Ny_WRF, Nz_WRF,
42 x_OF, y_OF, z_OF, N_OF1, N_OF2):
43     """ x_WRF, y_WRF, z_WRF      :: WRF X, Y and Z coordinates matrixes\n
44         VAR                       :: WRF variable to interpolate\n
45         Nx_WRF, Ny_WRF, Nz_WRF   :: WRF mesh dimensions\n
46         x_OF, y_OF, z_OF         :: OpenFOAM X, Y and Z coordinates lists (fluidfoam
47         output as it is)\n
48         N_OF1, N_OF              :: Target plane dimensions\n """

```



```

119 # coupling.cfg
120 force_utm_zone = bool(StringParser('force_zone ', fPATH_4))
121 utm_zone = int(StringParser('utm_zone ', fPATH_4))
122 wrf_file = StringParser('wrf_file ', fPATH_4)
123
124 #####
125 #####
126 ### WRF FILE READING ###
127
128 print('-- Reading variables from WRFMEAN NETCDF (.nc) file --')
129 f = netCDF4.Dataset("../wrf_files/%s" %wrf_file)
130
131 # COORDINATES
132 xlat = f.variables['latm']
133 xlong = f.variables['lonm']
134
135 # VELOCITY
136 u = f.variables['umm']
137 v = f.variables['vmm']
138 w = f.variables['wmm']
139
140 # TURBULENCE KINETIC ENERGY
141 tke = f.variables['tkemm']
142
143 # Z values
144 zmm = f.variables['zmm']
145
146 print('-- WRF variables read --\n')
147
148 # MESOSCALE GRID
149 nim = int(f.dimensions['nim1'].size)
150 njm = int(f.dimensions['njm1'].size)
151 nkm = int(f.dimensions['nkm'].size) - 1
152
153 print('### MESOSCALE GRID DIMENSIONS :: wrfmean ###')
154 print('nim = %i' %nim)
155 print('njm = %i' %njm)
156 print('nkm = %i' %nkm)
157
158 ### Force number of time steps
159 ntm = 1
160
161 #####
162 #####
163 ### CONVERT LAT LONG TO UTM
164
165 ### INIT.
166 xlongUTM = np.zeros([nim,njm])
167 xlatUTM = np.zeros([nim,njm])
168
169 XLAT = np.zeros([nim,njm])
170 XLONG = np.zeros([nim,njm])
171
172 XLAT[:,:] = xlat[time_index,:,:]
173 XLONG[:,:] = xlong[time_index,:,:]
174
175 print('\n-- Coverting LAT LONG coordinates to UTM --')
176 if force_utm_zone == True:
177     print('>> Forcing utm zone to %i <<' %utm_zone)
178
179 for j, jj in zip( range(0,nim) , range(0,njm) ):
180     for i, ii in zip( range(0,nim) , range(0,njm) ):
181         if force_utm_zone == True:
182             utm_tuple = utm.from_latlon(XLAT[ii,jj], XLONG[i,j],utm_zone)
183         else:
184             utm_tuple = utm.from_latlon(XLAT[ii,jj], XLONG[i,j])
185
186         xlongUTM[i,j] = list(utm_tuple)[0]
187         xlatUTM[i,j] = list(utm_tuple)[1]
188
189 print('-- Coverting LAT LONG coordinates to UTM --')
190
191 #####

```

```

192 #####
193 ### WRF COORDINATES TRANSFORMATION
194
195 ### INIT.
196 xt = np.zeros([nim,nim])
197 yt = np.zeros([njm,njm])
198
199 xr = np.zeros([nim,nim])
200 yr = np.zeros([njm,njm])
201
202 ### ROT CALC.
203 rot = 180-((450-rot) % 360) # DEG
204 rot = rot * np.pi/180     # TO RAD
205
206 ### TRANSLATION
207 for i in range(0,nim):
208     for j in range(0,njm):
209         xt[i,j] = xlongUTM[i,j] - xcentre
210         yt[i,j] = xlatUTM[i,j] - ycentre
211
212 ### ROTATION
213 xr[:,:] = xt[:,:]*np.cos(rot) - yt[:,:]*np.sin(rot)
214 yr[:,:] = xt[:,:]*np.sin(rot) + yt[:,:]*np.cos(rot)
215
216 #####
217 #####
218 ### ASSIGN WRFMEAN VARIABLES TO NUMPY MATRIXES
219
220 Um = np.zeros([nkm, nim, njm])
221 Vm = np.zeros([nkm, nim, njm])
222
223 Uvals = np.zeros([nkm, nim, njm])
224 Vvals = np.zeros([nkm, nim, njm])
225 Wvals = np.zeros([nkm, njm, nim])
226 kvals = np.zeros([nkm, njm, nim])
227 z = np.zeros([nkm, njm, nim])
228
229 Um[:, :, :] = u[1:,:,:]
230 Vm[:, :, :] = v[1:,:,:]
231 Wvals[:, :, :] = w[1:,:,:]
232 kvals[:, :, :] = tke[1:,:,:]
233 z[:, :, :] = zmm[1:,:,:]
234 kvals[:, :, :] = tke[1:,:,:]
235
236 #####
237 #####
238 ### U AND V VECTORS ROTATION
239
240 Uvals[:, :, :] = Um[:, :, :]*np.cos(rot) - Vm[:, :, :]*np.sin(rot)
241 Vvals[:, :, :] = Um[:, :, :]*np.sin(rot) + Vm[:, :, :]*np.cos(rot)
242
243 ### CELL
244 #####
245 #####
246 ### READ OpenFOAM MESH (ALL BOUNDARIES)
247
248 print('\n-- Reading OpenFOAM Mesh --')
249 print('nig = %i' %nig)
250 print('njg = %i' %njg)
251 print('nz = %i \n' %nz)
252
253 sol_path = '../..'
254
255 ### WEST
256 print('-- Reading OpenFOAM Mesh for west boundary --')
257 xof, yof, zof, area = readmesh_mod('%s' %sol_path, boundary="west")
258 xof_west = np.reshape(xof, (njg-2,nz)).T
259 yof_west = np.reshape(yof, (njg-2,nz)).T
260 zof_west = np.reshape(zof, (njg-2,nz)).T
261 area_west = np.reshape(area, (njg-2,nz)).T
262
263 ### EAST
264 print('\n-- Reading OpenFOAM Mesh for east boundary --')

```

```

265 xof, yof, zof, area = readmesh_mod('%s' %sol_path, boundary="east")
266 xof_east = np.reshape(xof, (njg-2,nz)).T
267 yof_east = np.reshape(yof, (njg-2,nz)).T
268 zof_east = np.reshape(zof, (njg-2,nz)).T
269 area_east = np.reshape(area, (njg-2,nz)).T
270
271 ### NORTH
272 print('\n-- Reading OpenFOAM Mesh for north boundary --')
273 xof, yof, zof, area = readmesh_mod('%s' %sol_path, boundary="north")
274 xof_north = np.reshape(xof, (nig-2,nz)).T
275 yof_north = np.reshape(yof, (nig-2,nz)).T
276 zof_north = np.reshape(zof, (nig-2,nz)).T
277 area_north = np.reshape(area, (nig-2,nz)).T
278
279 ### SOUTH
280 print('\n-- Reading OpenFOAM Mesh for south boundary --')
281 xof, yof, zof, area = readmesh_mod('%s' %sol_path, boundary="south")
282 xof_south = np.reshape(xof, (nig-2,nz)).T
283 yof_south = np.reshape(yof, (nig-2,nz)).T
284 zof_south = np.reshape(zof, (nig-2,nz)).T
285 area_south = np.reshape(area, (nig-2,nz)).T
286
287 ### SKY
288 print('\n-- Reading OpenFOAM Mesh for sky boundary --')
289 xof, yof, zof, area = readmesh_mod('%s' %sol_path, boundary="sky")
290 xof_top = np.reshape(xof, (nig-2,njg-2)).T
291 yof_top = np.reshape(yof, (nig-2,njg-2)).T
292 zof_top = np.reshape(zof, (nig-2,njg-2)).T
293 area_top = np.reshape(area, (nig-2,njg-2)).T
294
295 print('\nWest Area: %.9e' %(np.sum(area_west[:,:])))
296 print('East Area: %.9e' %(np.sum(area_east[:,:])))
297 print('North Area: %.9e' %(np.sum(area_north[:,:])))
298 print('South Area: %.9e' %(np.sum(area_south[:,:])))
299 print('Sky Area: %.9e\n' %(np.sum(area_top[:,:])))
300
301 ##% CELL
302 #####
303 #####
304 #### TRILINEAR INTERPOLATION
305
306 ### INIT.
307 Uof_west = np.zeros([ntm,nz,njg-2])
308 Vof_west = np.zeros([ntm,nz,njg-2])
309 Wof_west = np.zeros([ntm,nz,njg-2])
310 kof_west = np.zeros([ntm,nz,njg-2])
311
312 Uof_east = np.zeros([ntm,nz,njg-2])
313 Vof_east = np.zeros([ntm,nz,njg-2])
314 Wof_east = np.zeros([ntm,nz,njg-2])
315 kof_east = np.zeros([ntm,nz,njg-2])
316
317 Uof_north = np.zeros([ntm,nz,nig-2])
318 Vof_north = np.zeros([ntm,nz,nig-2])
319 Wof_north = np.zeros([ntm,nz,nig-2])
320 kof_north = np.zeros([ntm,nz,nig-2])
321
322 Uof_south = np.zeros([ntm,nz,nig-2])
323 Vof_south = np.zeros([ntm,nz,nig-2])
324 Wof_south = np.zeros([ntm,nz,nig-2])
325 kof_south = np.zeros([ntm,nz,nig-2])
326
327 Uof_top = np.zeros([ntm,nig-2,njg-2])
328 Vof_top = np.zeros([ntm,nig-2,njg-2])
329 Wof_top = np.zeros([ntm,nig-2,njg-2])
330 kof_top = np.zeros([ntm,nig-2,njg-2])
331
332 ### CONVERT 2D COORDINATE MATRIXES TO 3D
333 xr_matrix = np.zeros([nkm,njm,nim])
334 yr_matrix = np.zeros([nkm,njm,nim])
335
336 for k in range(0,nkm):
337     xr_matrix[k,:,:] = xr[:,:]

```

```

338     yr_matrix[k,:,:] = yr[:,:]
339
340 print("-- Performing trilinear interpolations ... ")
341 for t in range(0,ntm):
342     print("-- Time step = %i" %t)
343     print("  -- west")
344     Uof_west[t,:,:] = planar_trilinear_interpolation(xr_matrix, yr_matrix, z, Uvals
345     [:,:,:],
346             nim, njm, nkm, xof_west, yof_west, zof_west, njg-2, nz)
347     Vof_west[t,:,:] = planar_trilinear_interpolation(xr_matrix, yr_matrix, z, Vvals
348     [:,:,:],
349             nim, njm, nkm, xof_west, yof_west, zof_west, njg-2, nz)
350     Wof_west[t,:,:] = planar_trilinear_interpolation(xr_matrix, yr_matrix, z, Wvals
351     [:,:,:],
352             nim, njm, nkm, xof_west, yof_west, zof_west, njg-2, nz)
353     print("  -- east")
354     Uof_east[t,:,:] = planar_trilinear_interpolation(xr_matrix, yr_matrix, z, Uvals
355     [:,:,:],
356             nim, njm, nkm, xof_east, yof_east, zof_east, njg-2, nz)
357     Vof_east[t,:,:] = planar_trilinear_interpolation(xr_matrix, yr_matrix, z, Vvals
358     [:,:,:],
359             nim, njm, nkm, xof_east, yof_east, zof_east, njg-2, nz)
360     Wof_east[t,:,:] = planar_trilinear_interpolation(xr_matrix, yr_matrix, z, Wvals
361     [:,:,:],
362             nim, njm, nkm, xof_east, yof_east, zof_east, njg-2, nz)
363     print("  -- north")
364     Uof_north[t,:,:] = planar_trilinear_interpolation(xr_matrix, yr_matrix, z, Uvals
365     [:,:,:],
366             nim, njm, nkm, xof_north, yof_north, zof_north, nig-2, nz)
367     Vof_north[t,:,:] = planar_trilinear_interpolation(xr_matrix, yr_matrix, z, Vvals
368     [:,:,:],
369             nim, njm, nkm, xof_north, yof_north, zof_north, nig-2, nz)
370     Wof_north[t,:,:] = planar_trilinear_interpolation(xr_matrix, yr_matrix, z, Wvals
371     [:,:,:],
372             nim, njm, nkm, xof_north, yof_north, zof_north, nig-2, nz)
373     print("  -- south")
374     Uof_south[t,:,:] = planar_trilinear_interpolation(xr_matrix, yr_matrix, z, Uvals
375     [:,:,:],
376             nim, njm, nkm, xof_south, yof_south, zof_south, nig-2, nz)
377     Vof_south[t,:,:] = planar_trilinear_interpolation(xr_matrix, yr_matrix, z, Vvals
378     [:,:,:],
379             nim, njm, nkm, xof_south, yof_south, zof_south, nig-2, nz)
380     Wof_south[t,:,:] = planar_trilinear_interpolation(xr_matrix, yr_matrix, z, Wvals
381     [:,:,:],
382             nim, njm, nkm, xof_south, yof_south, zof_south, nig-2, nz)
383     print("  -- sky")
384     Uof_top[t,:,:] = planar_trilinear_interpolation(xr_matrix, yr_matrix, z, Uvals
385     [:,:,:],
386             nim, njm, nkm, xof_top, yof_top, zof_top, nig-2, njg-2)
387     Vof_top[t,:,:] = planar_trilinear_interpolation(xr_matrix, yr_matrix, z, Vvals
388     [:,:,:],
389             nim, njm, nkm, xof_top, yof_top, zof_top, nig-2, njg-2)
390     Wof_top[t,:,:] = planar_trilinear_interpolation(xr_matrix, yr_matrix, z, Wvals
391     [:,:,:],

```

```

391     nim, njm, nkm, xof_top, yof_top, zof_top, nig-2, njg-2)
392
393 %% CELL
394 #####
395 #####
396 ### FLUXES CALCULATIONS
397
398 ### INIT.
399 flux_west = np.zeros([ntm,nz,njg-2])
400 flux_east = np.zeros([ntm,nz,njg-2])
401 flux_north = np.zeros([ntm,nz,nig-2])
402 flux_south = np.zeros([ntm,nz,nig-2])
403 flux_top = np.zeros([ntm,nig-2,njg-2])
404
405 Ucorr_west = np.zeros([ntm,nz,njg-2])
406 Ucorr_east = np.zeros([ntm,nz,njg-2])
407
408 Vcorr_north = np.zeros([ntm,nz,nig-2])
409 Vcorr_south = np.zeros([ntm,nz,nig-2])
410
411 Wcorr_top = np.zeros([ntm,nig-2,njg-2])
412
413 print('\n -- Fluxes Correction --')
414
415 for t in range(0,ntm):
416     print('\n ----- Time step = %i -----' %t)
417
418     ### FLUXES CALC.
419     flux_west[t,:,:] = Uof_west[t,:,:]*area_west[:,:]
420     flux_east[t,:,:] = Uof_east[t,:,:]*area_east[:,:]
421     flux_north[t,:,:] = Vof_north[t,:,:]*area_north[:,:]
422     flux_south[t,:,:] = Vof_south[t,:,:]*area_south[:,:]
423     flux_top[t,:,:] = Wof_top[t,:,:]*area_top[:,:]
424
425     ### FLUXES CALC. (BOUNDARIES)
426     sumf_west = np.sum(flux_west[t,:,:])    ## ID 0
427     sumf_east = np.sum(flux_east[t,:,:])    ## ID 1
428     sumf_north = np.sum(flux_north[t,:,:]) ## ID 2
429     sumf_south = np.sum(flux_south[t,:,:]) ## ID 3
430     sumf_top = np.sum(flux_top[t,:,:])     ## ID 4
431
432     ### INITIAL ERROR
433     err_flux = sumf_west - sumf_east - sumf_north + sumf_south - sumf_top
434
435     ### MAX. FLUX
436     max_flux = max(abs(sumf_west), abs(sumf_east), abs(sumf_north), abs(sumf_south), abs
437                   (sumf_top))
438
439     print('\nWest Flux: %.9e' %(sumf_west))
440     print('East Flux: %.9e' %(sumf_east))
441     print('North Flux: %.9e' %(sumf_north))
442     print('South Flux: %.9e' %(sumf_south))
443     print('Sky Flux: %.9e\n' %(sumf_top))
444
445     print('Total Inflow: %.9e' %(sumf_west + sumf_south))
446     print('Total Outflow: %.9e\n' %(sumf_east + sumf_north + sumf_top))
447
448     print('Initial error : %.9f ' %err_flux)
449
450     ### F CALCULATION
451     if abs(max_flux - abs(sumf_west)) < 1e-9:
452         F = -(-sumf_east+sumf_south-sumf_north-sumf_top)/sumf_west
453         print('Correction Factor F = %.4f \n' %F)
454         Ucorr_west[t,:,:] = Uof_west[t,:,:]*F
455         print("Highest Flux is on West Boundary")
456     else:
457         Ucorr_west[t,:,:] = Uof_west[t,:,:]
458
459     if abs(max_flux - abs(sumf_east)) < 1e-9:
460         F = (sumf_west+sumf_south-sumf_north-sumf_top)/sumf_east
461         print('Correction Factor F = %.4f \n' %F)
462         Ucorr_east[t,:,:] = Uof_east[t,:,:]*F
463         print("Highest Flux is on East Boundary")

```

```

463     else:
464         Ucorr_east[t,:,:] = Uof_east[t,:,:]
465
466     if abs(max_flux - abs(sumf_north)) < 1e-9:
467         F = (sumf_west-sumf_east+sumf_south-sumf_top)/sumf_north
468         print('Correction Factor F = %.4f \n' %F)
469         Vcorr_north[t,:,:] = Vof_north[t,:,:]*F
470         print("Highest Flux is on North Boundary")
471     else:
472         Vcorr_north[t,:,:] = Vof_north[t,:,:]
473
474     if abs(max_flux - abs(sumf_south)) < 1e-9:
475         F = -(sumf_west-sumf_east-sumf_north-sumf_top)/sumf_south
476         print('Correction Factor F = %.4f \n' %F)
477         Vcorr_south[t,:,:] = Vof_south[t,:,:]*F
478         print("Highest Flux is on South Boundary")
479     else:
480         Vcorr_south[t,:,:] = Vof_south[t,:,:]
481
482     if abs(max_flux - abs(sumf_top)) < 1e-9:
483         F = (sumf_west-sumf_east+sumf_south-sumf_north)/sumf_top
484         print('Correction Factor F = %.4f \n' %F)
485         Wcorr_top[t,:,:] = Wof_top[t,:,:]*F
486         print("Highest Flux is on Sky Boundary")
487     else:
488         Wcorr_top[t,:,:] = Wof_top[t,:,:]
489
490     flux_west[t,:,:] = Ucorr_west[t,:,:]*area_west[:,:]
491     flux_east[t,:,:] = Ucorr_east[t,:,:]*area_east[:,:]
492     flux_north[t,:,:] = Vcorr_north[t,:,:]*area_north[:,:]
493     flux_south[t,:,:] = Vcorr_south[t,:,:]*area_south[:,:]
494     flux_top[t,:,:] = Wcorr_top[t,:,:]*area_top[:,:]
495
496     sumf_west = np.sum(flux_west[t,:,:])    ## ID 0
497     sumf_east = np.sum(flux_east[t,:,:])    ## ID 1
498     sumf_north = np.sum(flux_north[t,:,:]) ## ID 2
499     sumf_south = np.sum(flux_south[t,:,:]) ## ID 3
500     sumf_top = np.sum(flux_top[t,:,:])     ## ID 4
501
502     print('\nWest Flux: %.9e' %(sumf_west))
503     print('East Flux: %.9e' %(sumf_east))
504     print('North Flux: %.9e' %(sumf_north))
505     print('South Flux: %.9e' %(sumf_south))
506     print('Sky Flux: %.9e\n' %(sumf_top))
507
508     print('Total Inflow: %.9e' %(sumf_west + sumf_south))
509     print('Total Outflow: %.9e\n' %(sumf_east + sumf_north + sumf_top))
510
511     ### FINAL ERROR
512     err_flux = abs(sumf_west - sumf_east - sumf_north + sumf_south - sumf_top)
513     print('Final error : %.9f ' %err_flux)
514
515     ##% CELL
516     #####
517     #####
518     ### WRITE BOUNDARY DATA FILES
519
520     dt = int(24*3600/72)
521
522     #####
523     ### POINTS
524     print('\n-- Writing points files --')
525
526     ### WEST ###
527     f = open('../..//constant/boundaryData/west/points', 'w')
528
529     f.write('// Points\n')
530     f.write('%i\n' %(nz*(njg-2)))
531     f.write('\n\n')
532     f.write('// west boundary\n')
533
534     for k in range(0,nz):
535         for j in range(0,njg-2):

```

```

536         f.write('%(%.20f    %.20f    %.20f)\n' %(xmin,yof_west[k,j],zof_west[k,j]))
537
538 f.write('\n\n\n')
539 f.write('// *****\n')
540 f.close()
541
542 ### EAST ###
543 f = open('.././constant/boundaryData/east/points','w')
544
545 f.write('// Points\n')
546 f.write('%i\n' %(nz*(nig-2)))
547 f.write('\n\n')
548 f.write('// east boundary\n')
549
550 for k in range(0,nz):
551     for j in range(0,njg-2):
552         f.write('%(%.20f    %.20f    %.20f)\n' %(xmax,yof_east[k,j],zof_east[k,j]))
553
554 f.write('\n\n\n')
555 f.write('// *****\n')
556 f.close()
557
558 ### NORTH ###
559 f = open('.././constant/boundaryData/north/points','w')
560
561 f.write('// Points\n')
562 f.write('%i\n' %(nz*(nig-2)))
563 f.write('\n\n')
564 f.write('// north boundary\n')
565
566 for k in range(0,nz):
567     for i in range(0,nig-2):
568         f.write('%(%.20f    %.20f    %.20f)\n' %(xof_north[k,i],ymax,zof_north[k,i]))
569
570 f.write('\n\n\n')
571 f.write('// *****\n')
572 f.close()
573
574 ### SOUTH ###
575 f = open('.././constant/boundaryData/south/points','w')
576
577 f.write('// Points\n')
578 f.write('%i\n' %(nz*(nig-2)))
579 f.write('\n\n')
580 f.write('// south boundary\n')
581
582 for k in range(0,nz):
583     for i in range(0,nig-2):
584         f.write('%(%.20f    %.20f    %.20f)\n' %(xof_south[k,i],ymin,zof_south[k,i]))
585
586 f.write('\n\n\n')
587 f.write('// *****\n')
588 f.close()
589
590 ### SKY i.e. TOP ###
591 f = open('.././constant/boundaryData/sky/points','w')
592
593 f.write('// Points\n')
594 f.write('%i\n' %((nig-2)*(njg-2)))
595 f.write('\n\n')
596 f.write('// sky boundary\n')
597
598 for i in range(0,nig-2):
599     for j in range(0,njg-2):
600         f.write('%(%.20f    %.20f    %.20f)\n' %(xof_top[i,j],yof_top[i,j],sky))
601
602 f.write('\n\n\n')
603 f.write('// *****\n')

```

```

604 f.close()
605
606 print('-- Points files written --\n')
607
608 ### CELL
609 #####
610 #####
611 ### TIME VARYING MAPPED FIXED VALUES FOR U, V, W and k
612
613 sum_area_west = np.sum(area_west)
614 sum_area_east = np.sum(area_east)
615
616 print('-- Writing boundary data for velocity and turbulence kinetic energy --')
617
618 for t in range(0,ntm):
619
620     tt = t*dt
621
622     """#####
623     ### WEST"""
624     exist = os.path.exists('.././constant/boundaryData/west/%i' %(tt))
625     if not exist:
626         os.mkdir('.././constant/boundaryData/west/%i' %(tt))
627
628     # VELOCITY
629     f = open('.././constant/boundaryData/west/%i/U' %(tt),'w')
630
631     f.write('// Data on points\n')
632     f.write('%i\n' %(nz*(njg-2)))
633     f.write('\n\n')
634     f.write('// velocity west boundary\n')
635
636     for k in range(0,nz):
637         for j in range(0,njg-2):
638             f.write('%.20f   %.20f   %.20f\n' %(Ucorr_west[t,k,j],Vof_west[t,k,j],
639             Wof_west[t,k,j]))
640             #f.write('%.20f   %.20f   %.20f\n' %(1,0,0))
641
642     f.write('\n\n\n')
643     f.write('//
644     ***** //')
645     f.close()
646
647     # TURBULENCE KINETIC ENERGY
648     f = open('.././constant/boundaryData/west/%i/k' %(tt),'w')
649
650     f.write('// Data on points\n')
651     f.write('%i\n' %(nz*(njg-2)))
652     f.write('\n\n')
653     f.write('// k west boundary\n')
654
655     for k in range(0,nz):
656         for j in range(0,njg-2):
657             f.write('%.8f\n' %(kof_west[t,k,j]))
658
659     f.write('\n\n\n')
660     f.write('//
661     ***** //')
662     f.close()
663
664     """#####
665     ### EAST"""
666     exist = os.path.exists('.././constant/boundaryData/east/%i' %(tt))
667     if not exist:
668         os.mkdir('.././constant/boundaryData/east/%i' %(tt))
669
670     # VELOCITY
671     f = open('.././constant/boundaryData/east/%i/U' %(tt),'w')
672
673     f.write('// Data on points\n')
674     f.write('%i\n' %(nz*(njg-2)))
675     f.write('\n\n')
676     f.write('// velocity east boundary\n')

```

```

674
675     for k in range(0,nz):
676         for j in range(0,njg-2):
677             f.write('% .20f     % .20f     % .20f\n' %(Ucorr_east[t,k,j],Vof_east[t,k,j],
Wof_east[t,k,j]))
678             #f.write('% .12f     % .9f     % .8f\n' %(sum_area_west/sum_area_east,0,0))
679
680     f.write('\n\n\n')
681     f.write('//
***** //')
682     f.close()
683
684     # TURBULENCE KINETIC ENERGY
685     f = open('../..//constant/boundaryData/east/%i/k' %(tt),'w')
686
687     f.write('// Data on points\n')
688     f.write('%i\n' %(nz*(njg-2)))
689     f.write('\n\n')
690     f.write('// k east boundary\n')
691
692     for k in range(0,nz):
693         for j in range(0,njg-2):
694             f.write('% .8f\n' %(kof_east[t,k,j]))
695
696     f.write('\n\n\n')
697     f.write('//
***** //')
698     f.close()
699
700     """#####
701     ### NORTH"""
702     exist = os.path.exists('../..//constant/boundaryData/north/%i' %(tt))
703     if not exist:
704         os.mkdir('../..//constant/boundaryData/north/%i' %(tt))
705
706     # VELOCITY
707     f = open('../..//constant/boundaryData/north/%i/U' %(tt),'w')
708
709     f.write('// Data on points\n')
710     f.write('%i\n' %(nz*(njg-2)))
711     f.write('\n\n')
712     f.write('// velocity north boundary\n')
713
714     for k in range(0,nz):
715         for i in range(0,nig-2):
716             f.write('% .20f     % .20f     % .20f\n' %(Uof_north[t,k,i],Vcorr_north[t,k,i],
Wof_north[t,k,i]))
717             #f.write('% .20f     % .20f     % .20f\n' %(0,0,0))
718
719     f.write('\n\n\n')
720     f.write('//
***** //')
721     f.close()
722
723     # TURBULENCE KINETIC ENERGY
724     f = open('../..//constant/boundaryData/north/%i/k' %(tt),'w')
725
726     f.write('// Data on points\n')
727     f.write('%i\n' %(nz*(nig-2)))
728     f.write('\n\n')
729     f.write('// k north boundary\n')
730
731     for k in range(0,nz):
732         for i in range(0,nig-2):
733             f.write('% .8f\n' %(kof_north[t,k,i]))
734
735     f.write('\n\n\n')
736     f.write('//
***** //')
737     f.close()
738
739     """#####
740     ### SOUTH"""

```

```

741 exist = os.path.exists('../..../constant/boundaryData/south/%i' %(tt))
742 if not exist:
743     os.mkdir('../..../constant/boundaryData/south/%i' %(tt))
744
745 # VELOCITY
746 f = open('../..../constant/boundaryData/south/%i/U' %(tt), 'w')
747
748 f.write('// Data on points\n')
749 f.write('%i\n' %(nz*(nig-2)))
750 f.write('\n\n')
751 f.write('// velocity south boundary\n')
752
753 for k in range(0,nz):
754     for i in range(0,nig-2):
755         f.write('%.20f   %.20f   %.20f\n' %(Uof_south[t,k,i],Vcorr_south[t,k,i],
Wof_south[t,k,i]))
756         #f.write('%.20f   %.20f   %.20f\n' %(0,0,0))
757
758 f.write('\n\n\n')
759 f.write('//
***** //')
760 f.close()
761
762 # TURBULENCE KINETIC ENERGY
763 f = open('../..../constant/boundaryData/south/%i/k' %(tt), 'w')
764
765 f.write('// Data on points\n')
766 f.write('%i\n' %(nz*(nig-2)))
767 f.write('\n\n')
768 f.write('// k south boundary\n')
769
770 for k in range(0,nz):
771     for i in range(0,nig-2):
772         f.write('%.8f\n' %(kof_south[t,k,i]))
773
774 f.write('\n\n\n')
775 f.write('//
***** //')
776 f.close()
777
778 ""#####
779 ### SKY""
780 exist = os.path.exists('../..../constant/boundaryData/sky/%i' %(tt))
781 if not exist:
782     os.mkdir('../..../constant/boundaryData/sky/%i' %(tt))
783
784 # VELOCITY
785 f = open('../..../constant/boundaryData/sky/%i/U' %(tt), 'w')
786
787 f.write('// Data on points\n')
788 f.write('%i\n' %((nig-2)*(njg-2)))
789 f.write('\n\n')
790 f.write('// velocity sky boundary\n')
791
792 for i in range(0,nig-2):
793     for j in range(0,njg-2):
794         f.write('%.20f   %.20f   %.20f\n' %(Uof_top[t,i,j],Vof_top[t,i,j],
Wcorr_top[t,i,j]))
795         #f.write('%.20f   %.20f   %.20f\n' %(0,0,0))
796
797 f.write('\n\n\n')
798 f.write('//
***** //')
799 f.close()
800
801 # TURBULENCE KINETIC ENERGY
802 f = open('../..../constant/boundaryData/sky/%i/k' %(tt), 'w')
803
804 f.write('// Data on points\n')
805 f.write('%i\n' %((nig-2)*(njg-2)))
806 f.write('\n\n')
807 f.write('// k sky boundary\n')
808

```

```

809     for i in range(0,nig-2):
810         for j in range(0,njg-2):
811             f.write('%0.8f\n' %(kof_top[t,i,j]))
812
813     f.write('\n\n\n')
814     f.write('//
815     ***** //')
816     f.close()
817
818 print('-- Boundary data for velocity and turbulence kinetic energy written --\n')
819
820 ### CELL
821 #####
822 ### WRITE p file
823
824 pathp = ".././0/p"
825
826 if max(abs(sumf_west), abs(sumf_east), abs(sumf_north), abs(sumf_south), abs(sumf_top))
827     == abs(sumf_west):
828
829     print("Corrected Highest Flux is on West Boundary, writting p file ...")
830
831     f = open("%s" %pathp, "w")
832
833     f.write("/-----* C++
834     |=====|
835     | \\ / F ield | OpenFOAM: The Open Source CFD Toolbox
836     | \\ / O peration | Version: 2.1.1
837     | \\ / A nd | Web: www.OpenFOAM.org
838     | \\ / M anipulation |
839     |=====|
840     f.write("FoamFile\n")
841     f.write("{\n")
842     f.write("    version      2.0;\n")
843     f.write("    format        ascii;\n")
844     f.write("    class         volScalarField;\n")
845     f.write("    object        p;\n")
846     f.write("}\n")
847     f.write("// ***** //\n")
848     f.write("\n")
849     f.write("dimensions      [0 2 -2 0 0 0];\n")
850     f.write("\n")
851     f.write("internalField    uniform 0;\n")
852     f.write("\n")
853     f.write("boundaryField\n")
854     f.write("{\n")
855     f.write("    west\n") ##### WEST #####
856     f.write("    {\n")
857     f.write("        type      fixedValue;\n")
858     f.write("        value     uniform 0;\n")
859     f.write("    }\n")
860     f.write("\n")
861     f.write("    east\n") ##### EAST #####
862     f.write("    {\n")
863     f.write("        type      zeroGradient;\n")
864     f.write("    }\n")
865     f.write("\n")
866     f.write("    south\n") ##### SOUTH #####
867     f.write("    {\n")
868     f.write("        type      zeroGradient;\n")
869     f.write("    }\n")
870     f.write("\n")
871     f.write("    north\n") ##### NORTH #####
872     f.write("    {\n")

```

```

872 f.write("         type           zeroGradient;\n")
873 f.write("     }\n")
874 f.write("\n")
875 f.write("     ground\n") ##### GROUND #####
876 f.write("     {\n")
877 f.write("         type           zeroGradient;\n")
878 f.write("     }\n")
879 f.write("\n")
880 f.write("     sky\n") ##### SKY #####
881 f.write("     {\n")
882 f.write("         type           zeroGradient;\n")
883 f.write("     }\n")
884 f.write("}\n")
885 f.write("\n")
886 f.write("//
***** //\n")
887
888 f.close()
889
890 if max(abs(sumf_west), abs(sumf_east), abs(sumf_north), abs(sumf_south), abs(sumf_top))
    == abs(sumf_east):
891
892     print("Corrected Highest Flux is on East Boundary, writting p file ...")
893
894     f = open("%s" %pathp, "w")
895
896     f.write("/*-----*- C++
-----*\ \n")
897 f.write("| ===== |
| \n")
898 f.write("| \\ / F ield | OpenFOAM: The Open Source CFD Toolbox
| \n")
899 f.write("| \\ / O peration | Version: 2.1.1
| \n")
900 f.write("| \\ / A nd | Web: www.OpenFOAM.org
| \n")
901 f.write("| \\ / M anipulation |
| \n")
902 f.write("
/*-----*/ \n")
903 f.write("FoamFile\n")
904 f.write("{\n")
905 f.write("     version      2.0;\n")
906 f.write("     format        ascii;\n")
907 f.write("     class         volScalarField;\n")
908 f.write("     object        p;\n")
909 f.write("}\n")
910 f.write("// * * * * *
* //\n")
911 f.write("\n")
912 f.write("dimensions      [0 2 -2 0 0 0];\n")
913 f.write("\n")
914 f.write("internalField    uniform 0;\n")
915 f.write("\n")
916 f.write("boundaryField\n")
917 f.write("{\n")
918 f.write("     west\n") ##### WEST #####
919 f.write("     {\n")
920 f.write("         type           zeroGradient;\n")
921 f.write("     }\n")
922 f.write("\n")
923 f.write("     east\n") ##### EAST #####
924 f.write("     {\n")
925 f.write("         type           fixedValue;\n")
926 f.write("         value          uniform 0;\n")
927 f.write("     }\n")
928 f.write("\n")
929 f.write("     south\n") ##### SOUTH #####
930 f.write("     {\n")
931 f.write("         type           zeroGradient;\n")
932 f.write("     }\n")
933 f.write("\n")
934 f.write("     north\n") ##### NORTH #####

```

```

935 f.write("    {\n")
936 f.write("        type          zeroGradient;\n")
937 f.write("    }\n")
938 f.write("\n")
939 f.write("    ground\n") ##### GROUND #####
940 f.write("    {\n")
941 f.write("        type          zeroGradient;\n")
942 f.write("    }\n")
943 f.write("\n")
944 f.write("    sky\n") ##### SKY #####
945 f.write("    {\n")
946 f.write("        type          zeroGradient;\n")
947 f.write("    }\n")
948 f.write("}\n")
949 f.write("\n")
950 f.write("//
***** /\n")

951
952 f.close()
953
954 if max(abs(sumf_west), abs(sumf_east), abs(sumf_north), abs(sumf_south), abs(sumf_top))
    == abs(sumf_south):
955
956     print("Corrected Highest Flux is on South Boundary, writing p file ...")
957
958     f = open("%s" %pathp, "w")
959
960     f.write("/*-----*- C++
961     f.write("-----*\ \n")
962     f.write("| ===== |
963     f.write("| \\ / F ield | OpenFOAM: The Open Source CFD Toolbox
964     f.write("| \\ / O peration | Version: 2.1.1
965     f.write("| \\ / A nd | Web: www.OpenFOAM.org
966     f.write("
967     f.write("FoamFile\n")
968     f.write("{\n")
969     f.write("    version      2.0;\n")
970     f.write("    format        ascii;\n")
971     f.write("    class         volScalarField;\n")
972     f.write("    object        p;\n")
973     f.write("}\n")
974     f.write("// * * * * *
* /\n")
975     f.write("\n")
976     f.write("dimensions      [0 2 -2 0 0 0];\n")
977     f.write("\n")
978     f.write("internalField      uniform 0;\n")
979     f.write("\n")
980     f.write("boundaryField\n")
981     f.write("{\n")
982     f.write("    west\n") ##### WEST #####
983     f.write("    {\n")
984     f.write("        type          zeroGradient;\n")
985     f.write("    }\n")
986     f.write("\n")
987     f.write("    east\n") ##### EAST #####
988     f.write("    {\n")
989     f.write("        type          zeroGradient;\n")
990     f.write("    }\n")
991     f.write("\n")
992     f.write("    south\n") ##### SOUTH #####
993     f.write("    {\n")
994     f.write("        type          fixedValue;\n")
995     f.write("        value         uniform 0;\n")
996     f.write("    }\n")
997     f.write("\n")

```

```

998 f.write("    north\n") ##### NORTH #####
999 f.write("    {\n")
1000 f.write("        type                zeroGradient;\n")
1001 f.write("    }\n")
1002 f.write("\n")
1003 f.write("    ground\n") ##### GROUND #####
1004 f.write("    {\n")
1005 f.write("        type                zeroGradient;\n")
1006 f.write("    }\n")
1007 f.write("\n")
1008 f.write("    sky\n") ##### SKY #####
1009 f.write("    {\n")
1010 f.write("        type                zeroGradient;\n")
1011 f.write("    }\n")
1012 f.write("}\n")
1013 f.write("\n")
1014 f.write("//
***** //\n")
1015
1016 f.close()
1017
1018 if max(abs(sumf_west), abs(sumf_east), abs(sumf_north), abs(sumf_south), abs(sumf_top))
    == abs(sumf_north):
1019
1020     print("Corrected Highest Flux is on North Boundary, writing p file ...")
1021
1022     f = open("%s" %pathp, "w")
1023
1024     f.write("/*------*- C++
*------*\ \n")
1025     f.write("| ===== |
| \n")
1026     f.write("| \\ \\ / F i e l d | OpenFOAM: The Open Source CFD Toolbox
| \n")
1027     f.write("| \\ \\ / O p e r a t i o n | Version: 2.1.1
| \n")
1028     f.write("| \\ \\ / A n d | Web: www.OpenFOAM.org
| \n")
1029     f.write("| \\ \\ / M a n i p u l a t i o n |
| \n")
1030     f.write("
*------*/ \n")
1031     f.write("FoamFile\n")
1032     f.write("{\n")
1033     f.write("    version    2.0;\n")
1034     f.write("    format     ascii;\n")
1035     f.write("    class      volScalarField;\n")
1036     f.write("    object     p;\n")
1037     f.write("}\n")
1038     f.write("// * * * * *
* //\n")
1039     f.write("\n")
1040     f.write("dimensions    [0 2 -2 0 0 0 0];\n")
1041     f.write("\n")
1042     f.write("internalField  uniform 0;\n")
1043     f.write("\n")
1044     f.write("boundaryField\n")
1045     f.write("{\n")
1046     f.write("    west\n") ##### WEST #####
1047     f.write("    {\n")
1048     f.write("        type                zeroGradient;\n")
1049     f.write("    }\n")
1050     f.write("\n")
1051     f.write("    east\n") ##### EAST #####
1052     f.write("    {\n")
1053     f.write("        type                zeroGradient;\n")
1054     f.write("    }\n")
1055     f.write("\n")
1056     f.write("    south\n") ##### SOUTH #####
1057     f.write("    {\n")
1058     f.write("        type                zeroGradient;\n")
1059     f.write("    }\n")
1060     f.write("\n")

```

```

1061 f.write("    north\n") ##### NORTH #####
1062 f.write("    {\n")
1063 f.write("        type          fixedValue;\n")
1064 f.write("        value          uniform 0;\n")
1065 f.write("    }\n")
1066 f.write("\n")
1067 f.write("    ground\n") ##### GROUND #####
1068 f.write("    {\n")
1069 f.write("        type          zeroGradient;\n")
1070 f.write("    }\n")
1071 f.write("\n")
1072 f.write("    sky\n") ##### SKY #####
1073 f.write("    {\n")
1074 f.write("        type          zeroGradient;\n")
1075 f.write("    }\n")
1076 f.write("}\n")
1077 f.write("\n")
1078 f.write("//
***** //\n")
1079
1080 f.close()
1081
1082 if max(abs(sumf_west), abs(sumf_east), abs(sumf_north), abs(sumf_south), abs(sumf_top))
    == abs(sumf_top):
1083
1084     print("Corrected Highest Flux is on Sky Boundary, writting p file ...")
1085
1086     f = open("%s" %pathp, "w")
1087
1088     f.write("/*-----*- C++
-----*\ \n")
1089     f.write("| ===== |
| \n")
1090     f.write("| \\ / F ield | OpenFOAM: The Open Source CFD Toolbox
| \n")
1091     f.write("| \\ / O peration | Version: 2.1.1
| \n")
1092     f.write("| \\ / A nd | Web: www.OpenFOAM.org
| \n")
1093     f.write("| \\ / M anipulation |
| \n")
1094     f.write("
-----*/ \n")
1095     f.write("FoamFile\n")
1096     f.write("{\n")
1097     f.write("    version      2.0;\n")
1098     f.write("    format      ascii;\n")
1099     f.write("    class      volScalarField;\n")
1100     f.write("    object     p;\n")
1101     f.write("}\n")
1102     f.write("// * * * * *
* //\n")
1103     f.write("\n")
1104     f.write("dimensions      [0 2 -2 0 0 0];\n")
1105     f.write("\n")
1106     f.write("internalField    uniform 0;\n")
1107     f.write("\n")
1108     f.write("boundaryField\n")
1109     f.write("{\n")
1110     f.write("    west\n") ##### WEST #####
1111     f.write("    {\n")
1112     f.write("        type          zeroGradient;\n")
1113     f.write("    }\n")
1114     f.write("\n")
1115     f.write("    east\n") ##### EAST #####
1116     f.write("    {\n")
1117     f.write("        type          zeroGradient;\n")
1118     f.write("    }\n")
1119     f.write("\n")
1120     f.write("    south\n") ##### SOUTH #####
1121     f.write("    {\n")
1122     f.write("        type          zeroGradient;\n")
1123     f.write("    }\n")

```

```
1124 f.write("\n")
1125 f.write("    north\n") ##### NORTH #####
1126 f.write("    {\n")
1127 f.write("        type          zeroGradient;\n")
1128 f.write("    }\n")
1129 f.write("\n")
1130 f.write("    ground\n") ##### GROUND #####
1131 f.write("    {\n")
1132 f.write("        type          zeroGradient;\n")
1133 f.write("    }\n")
1134 f.write("\n")
1135 f.write("    sky\n") ##### SKY #####
1136 f.write("    {\n")
1137 f.write("        type          fixedValue;\n")
1138 f.write("        value         uniform 0;\n")
1139 f.write("    }\n")
1140 f.write("}\n")
1141 f.write("\n")
1142 f.write("//
***** //\n")
1143
1144 f.close()
1145
1146 timer_stop = time.time()
1147
1148 print("\nExecution Terminated.")
1149 print('Code total run time: %.2f s' %(timer_stop-timer_start))
1150
1151 # %%
```

D Mapas de topografia e rugosidade

D.1 Mapa de Topografia

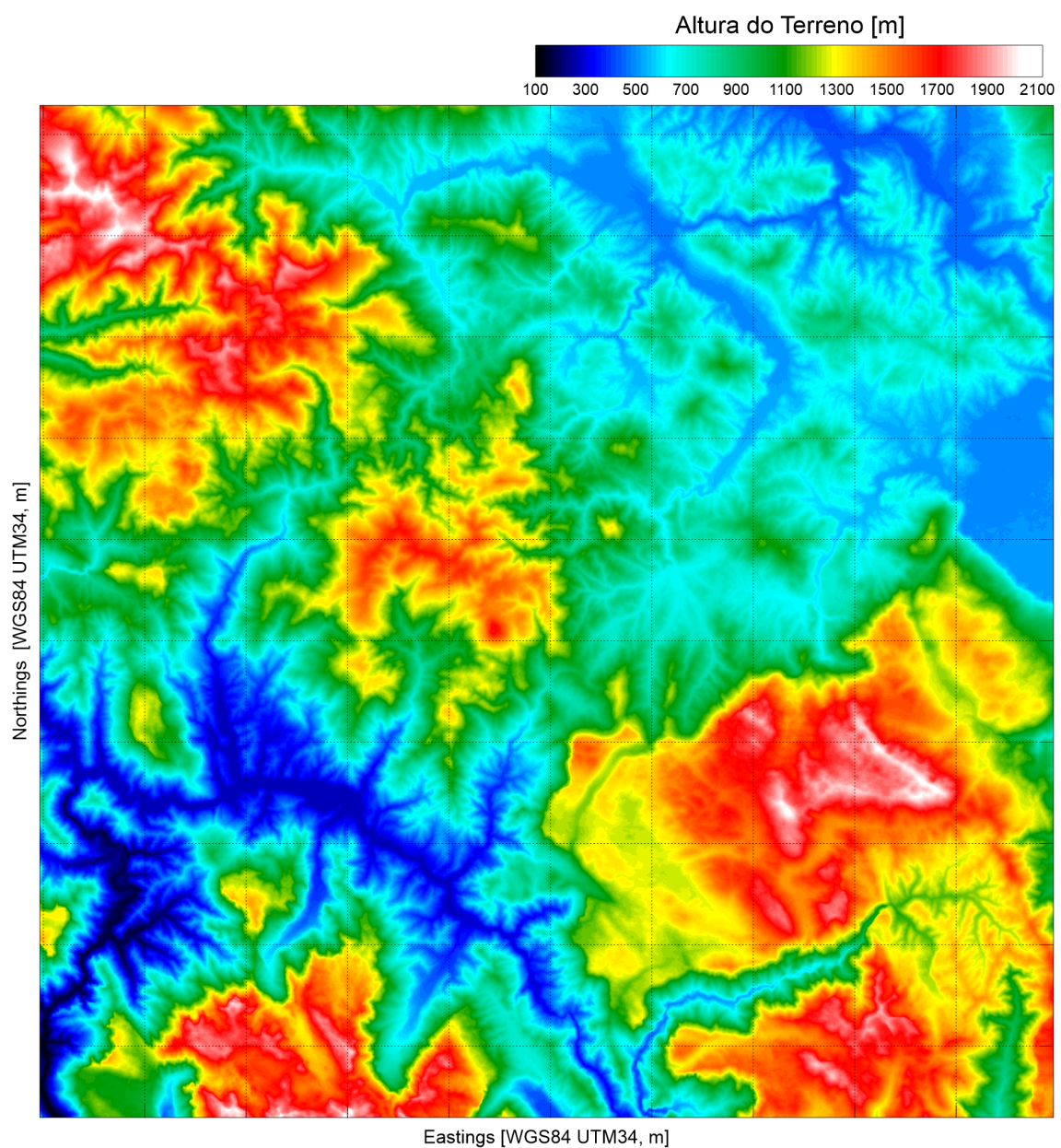


Figura D.1 – Mapa de topografia topo.dat

D.2 Mapa de Rugosidade



Figura D.2 – Mapa de rugosidade roug.dat

